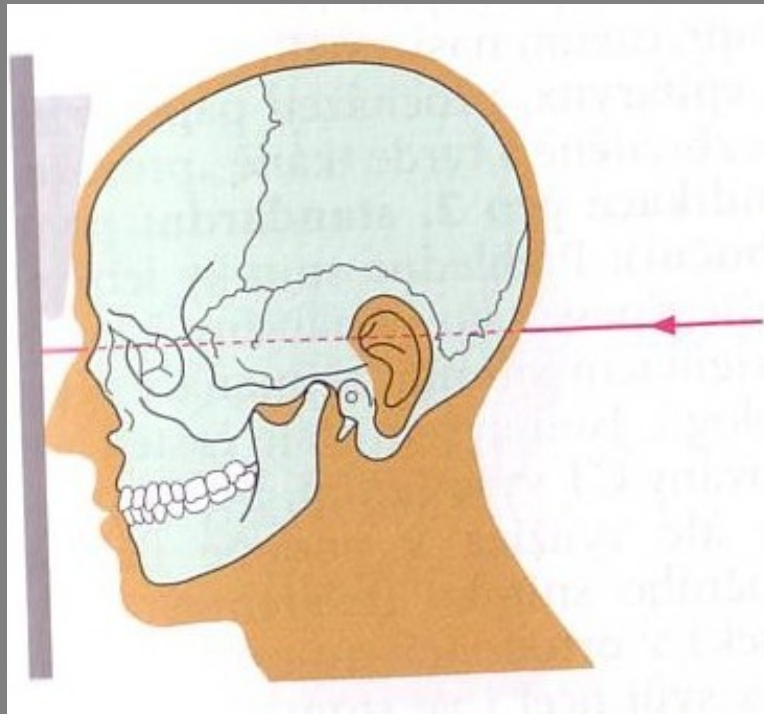


RTG zubů

Projekce + anatomie

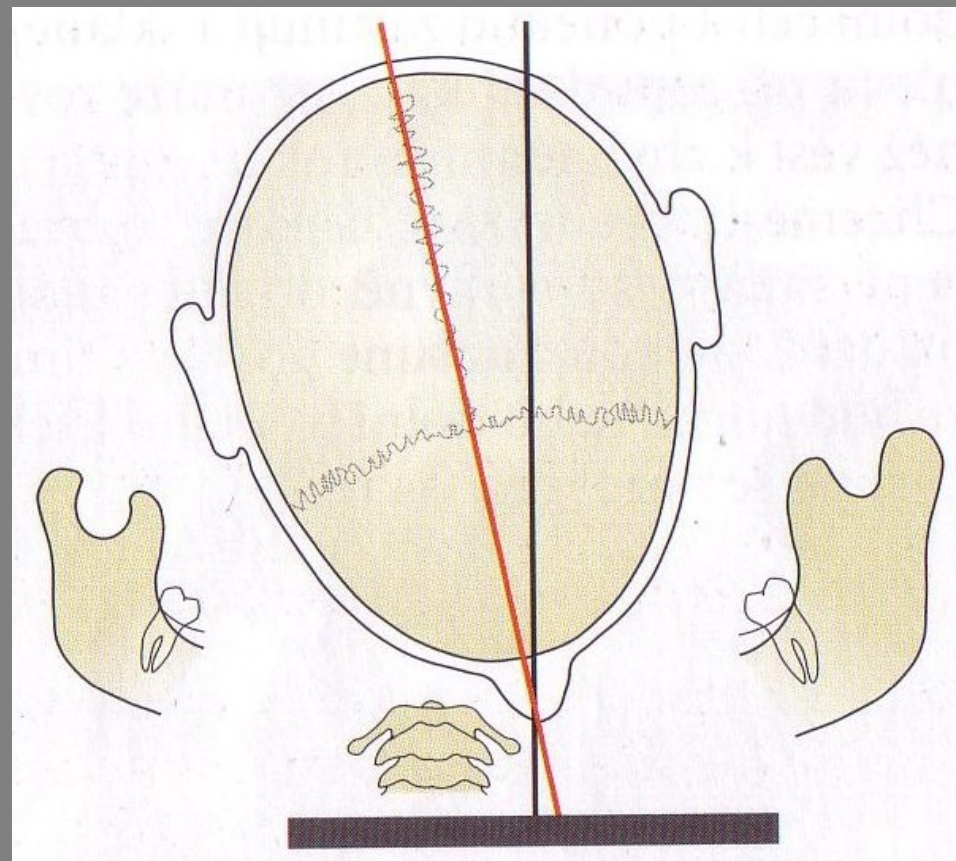
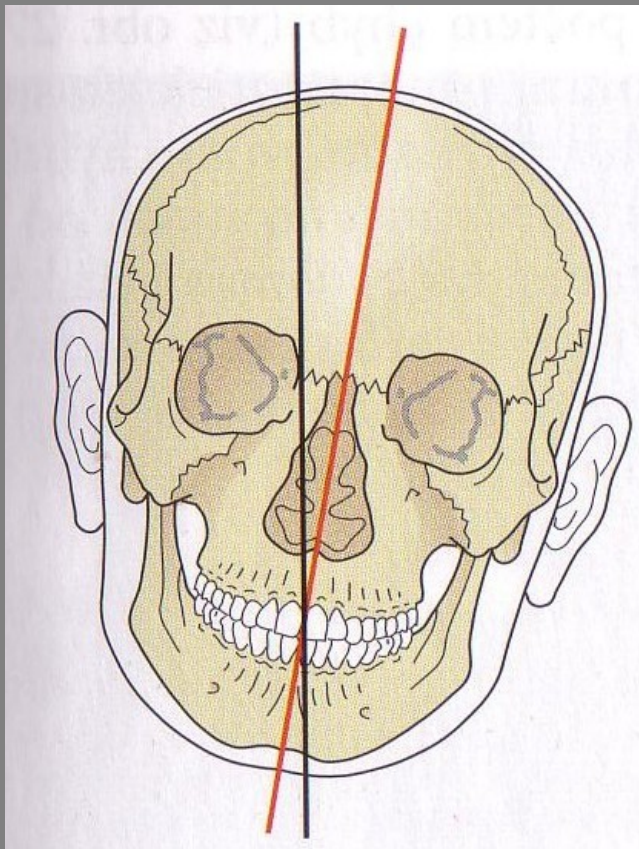
Lebka – zadopřední a bočná



- nos a čelo se dotýká kazety
- paprsek prochází protuber. occipitalis kolmo ke kazetě.

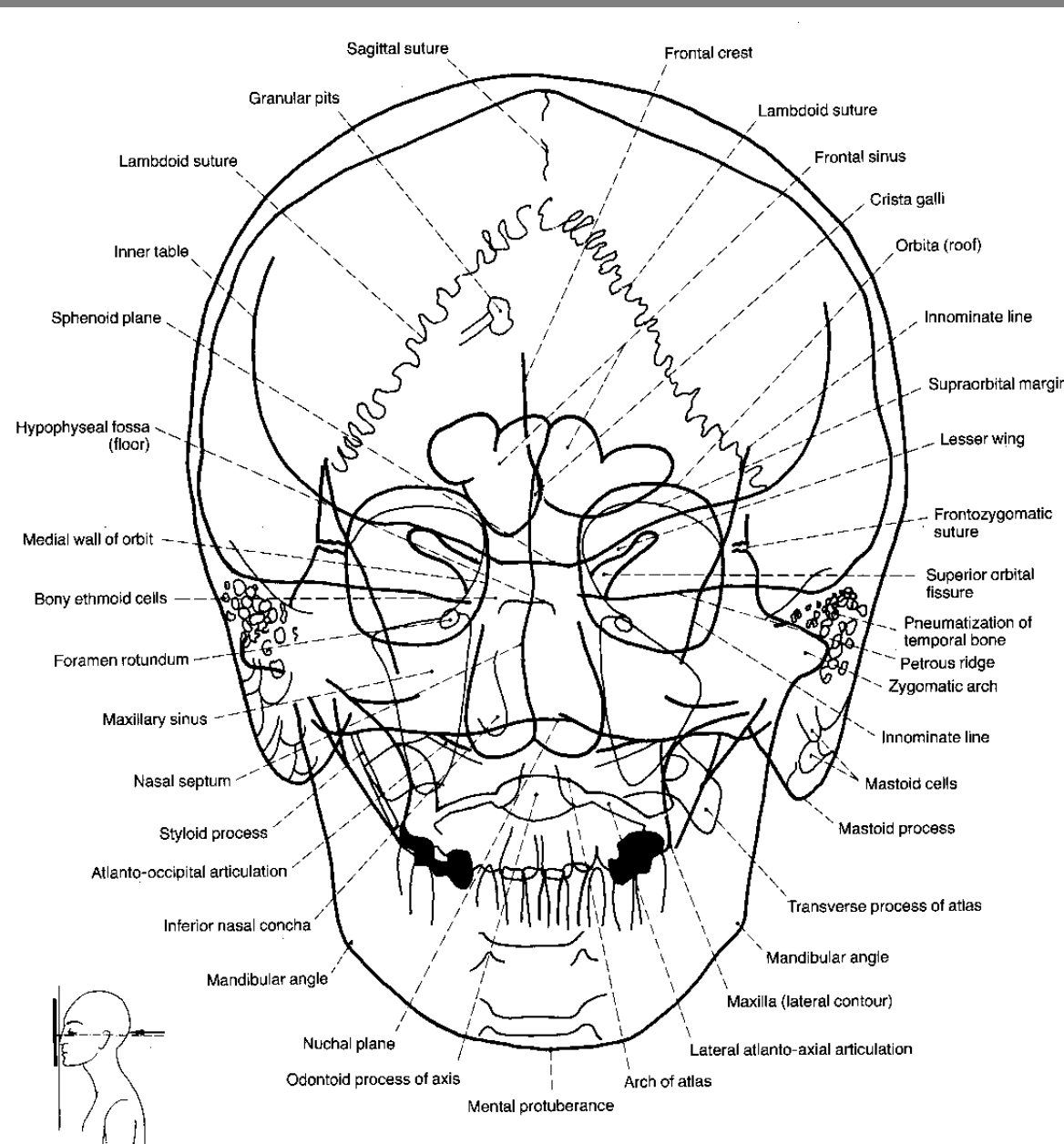
Lebka – zadopřední a bočná

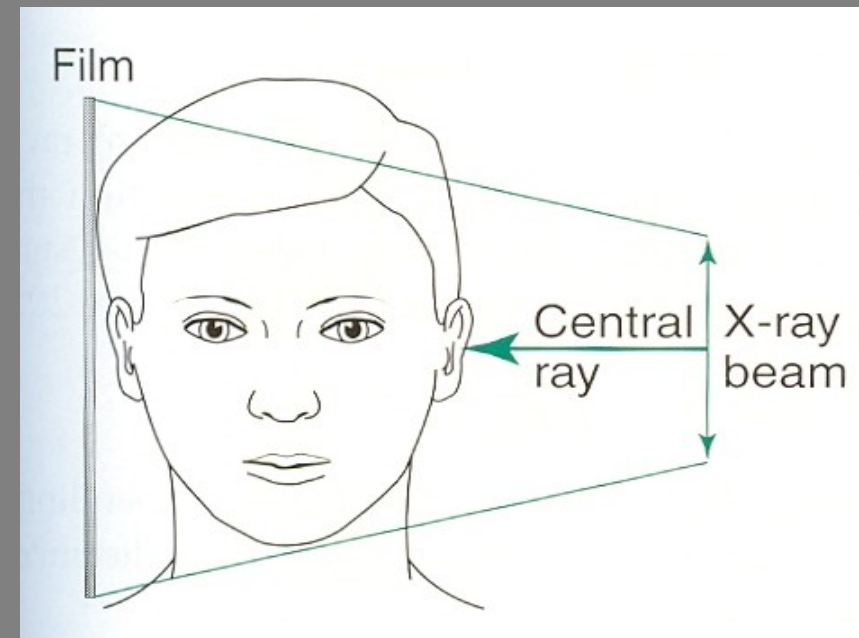
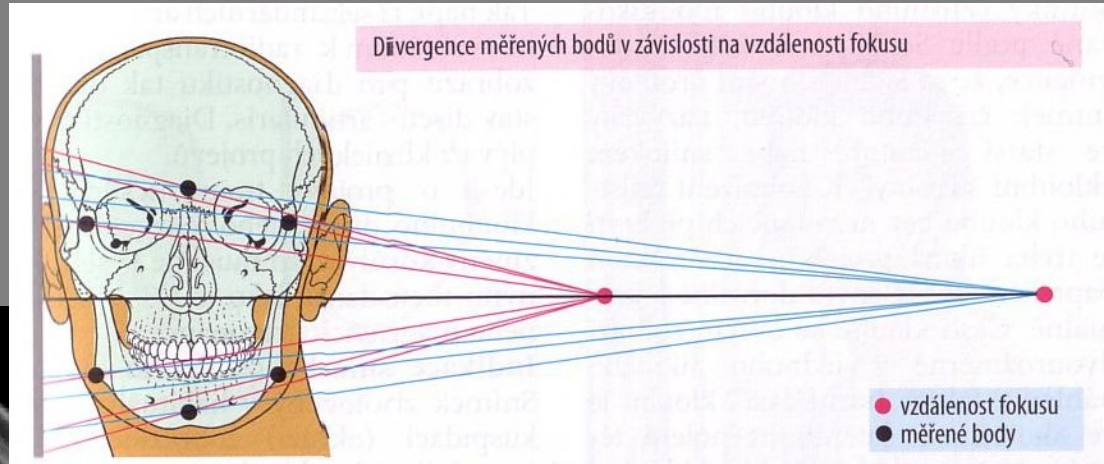
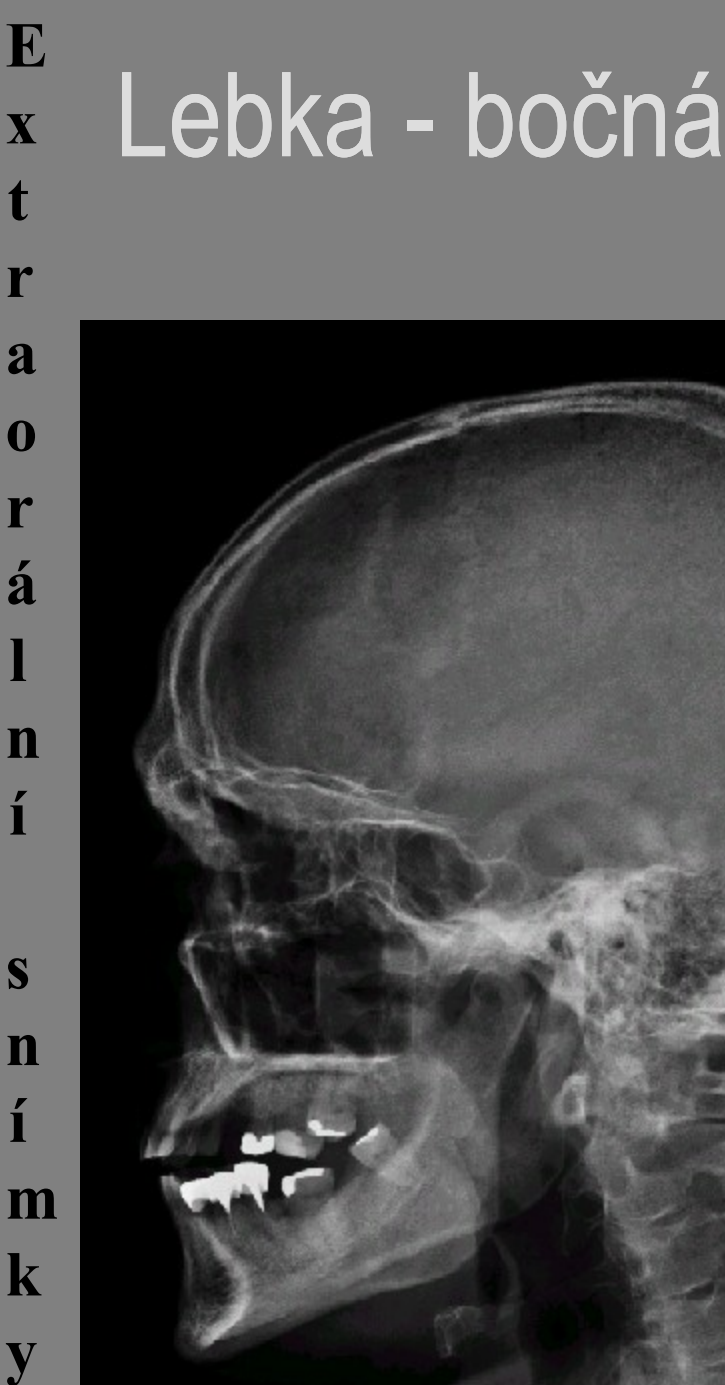
- centrace



Lebka – zadopřední a bočná

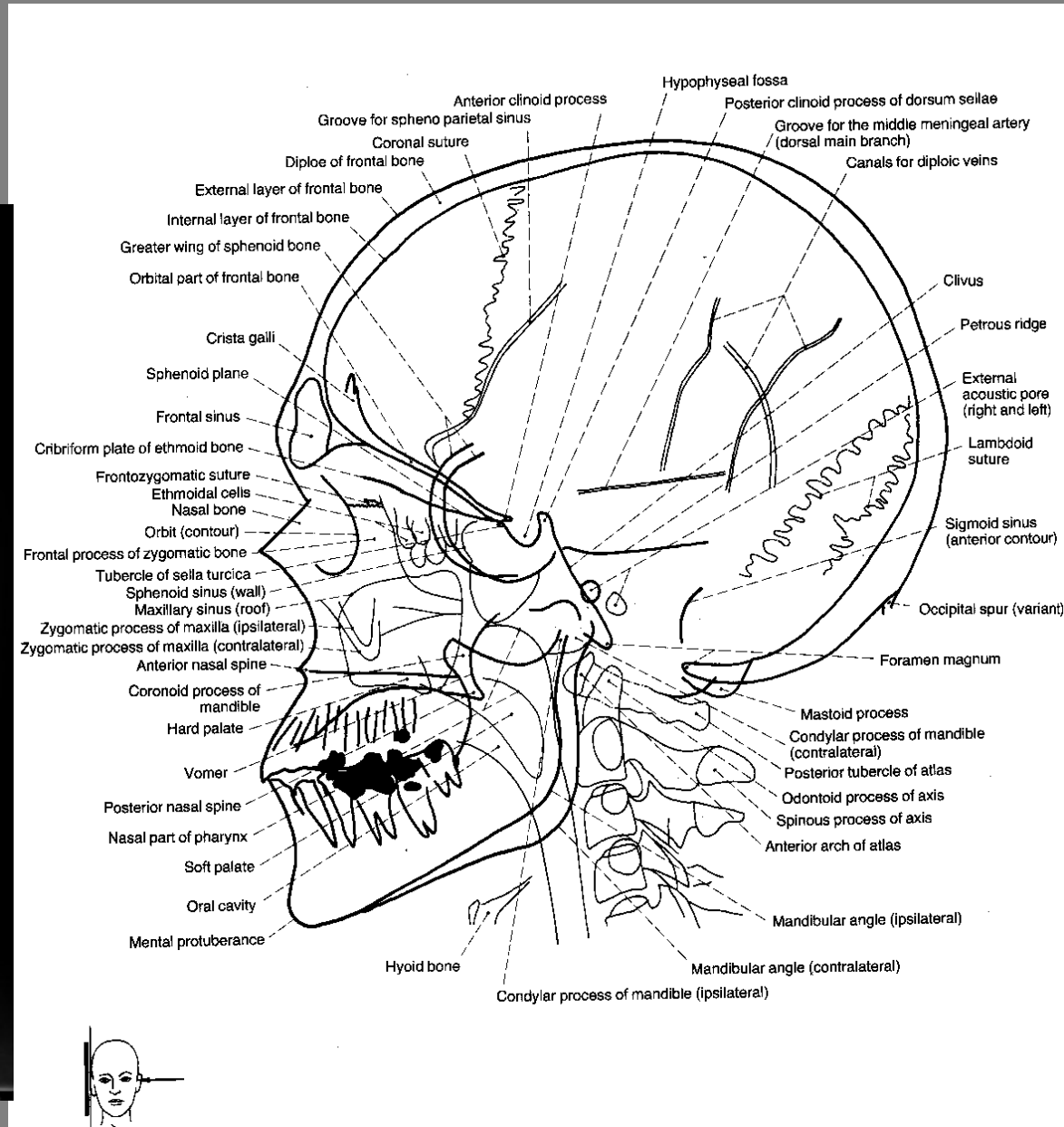
R





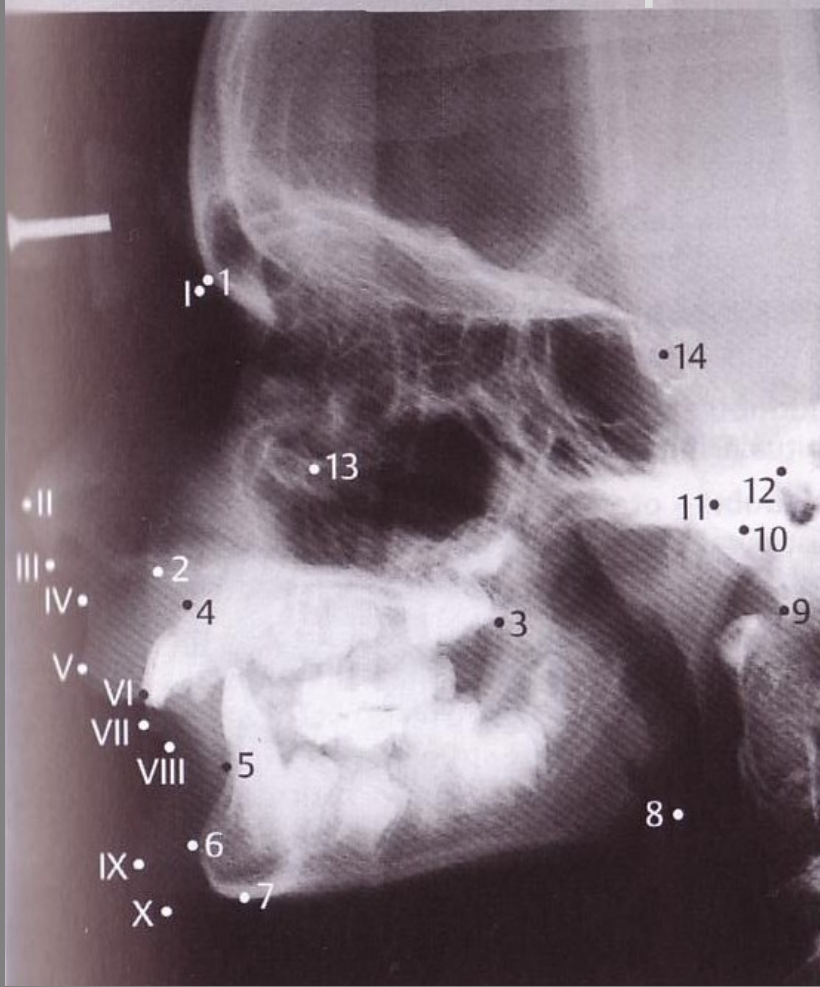
- centrální paprsek skrze acustický meatus
- kolmo ke kazetě

Lebka - bočná



Lebka – bočná

- centrace na splanchnokranium



Skeletální body:

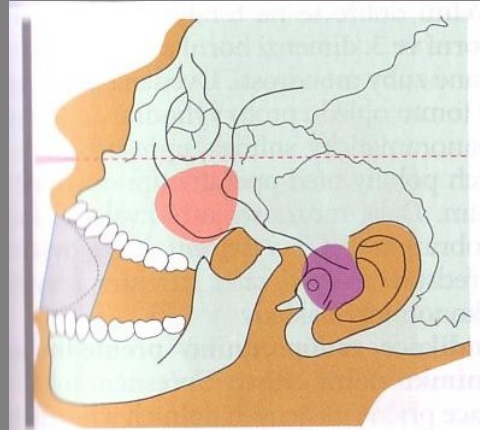
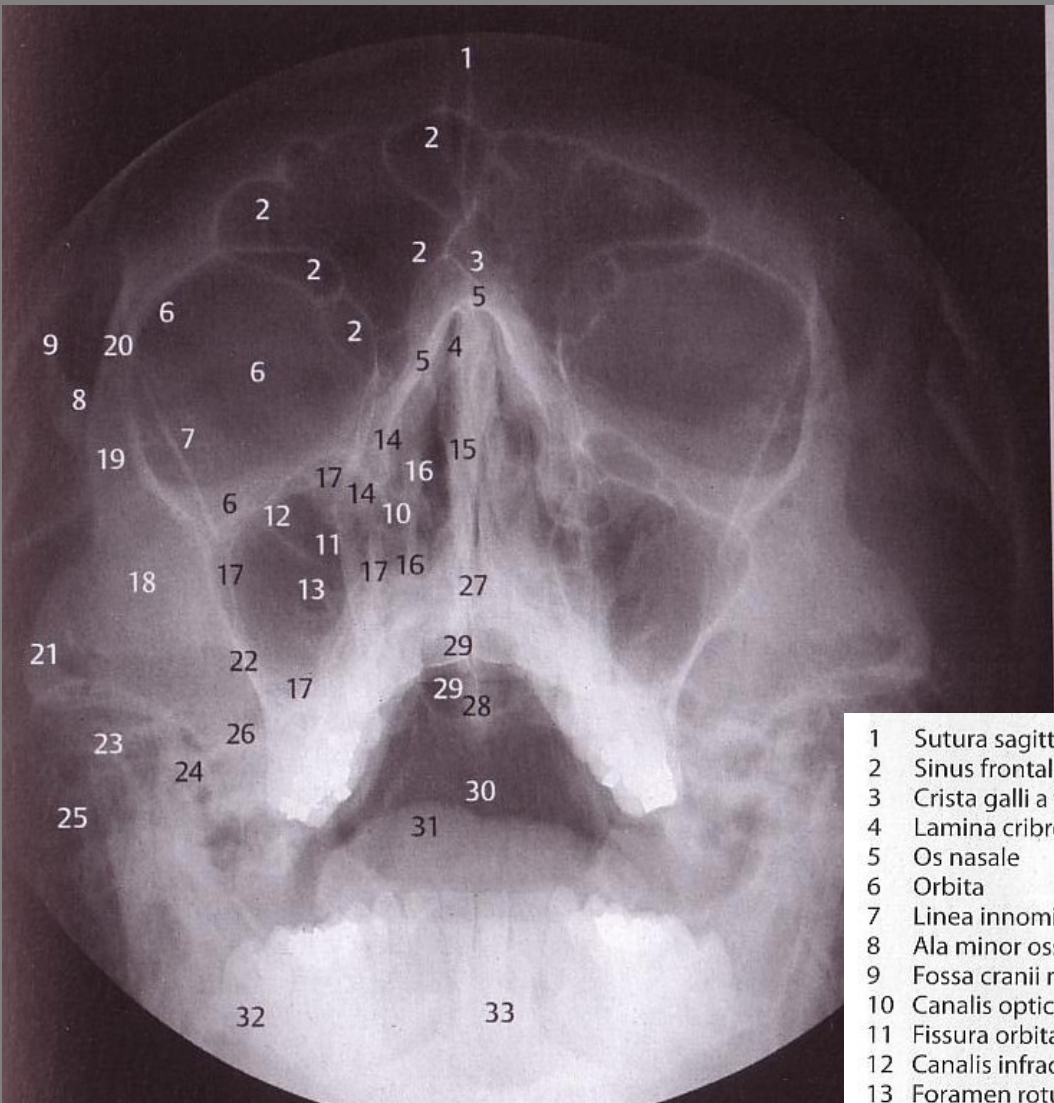
- 1 Nasion
- 2 Spina nasalis anterior
- 3 Spina nasalis posterior
- 4 Bod A
- 5 Bod B
- 6 Pogonion
- 7 Menton
- 8 Gonion
- 9 Basion
- 10 Articulare
- 11 Condylion
- 12 Porion
- 13 Orbitale

14 Sella, střed

Body na měkkých tkáních:

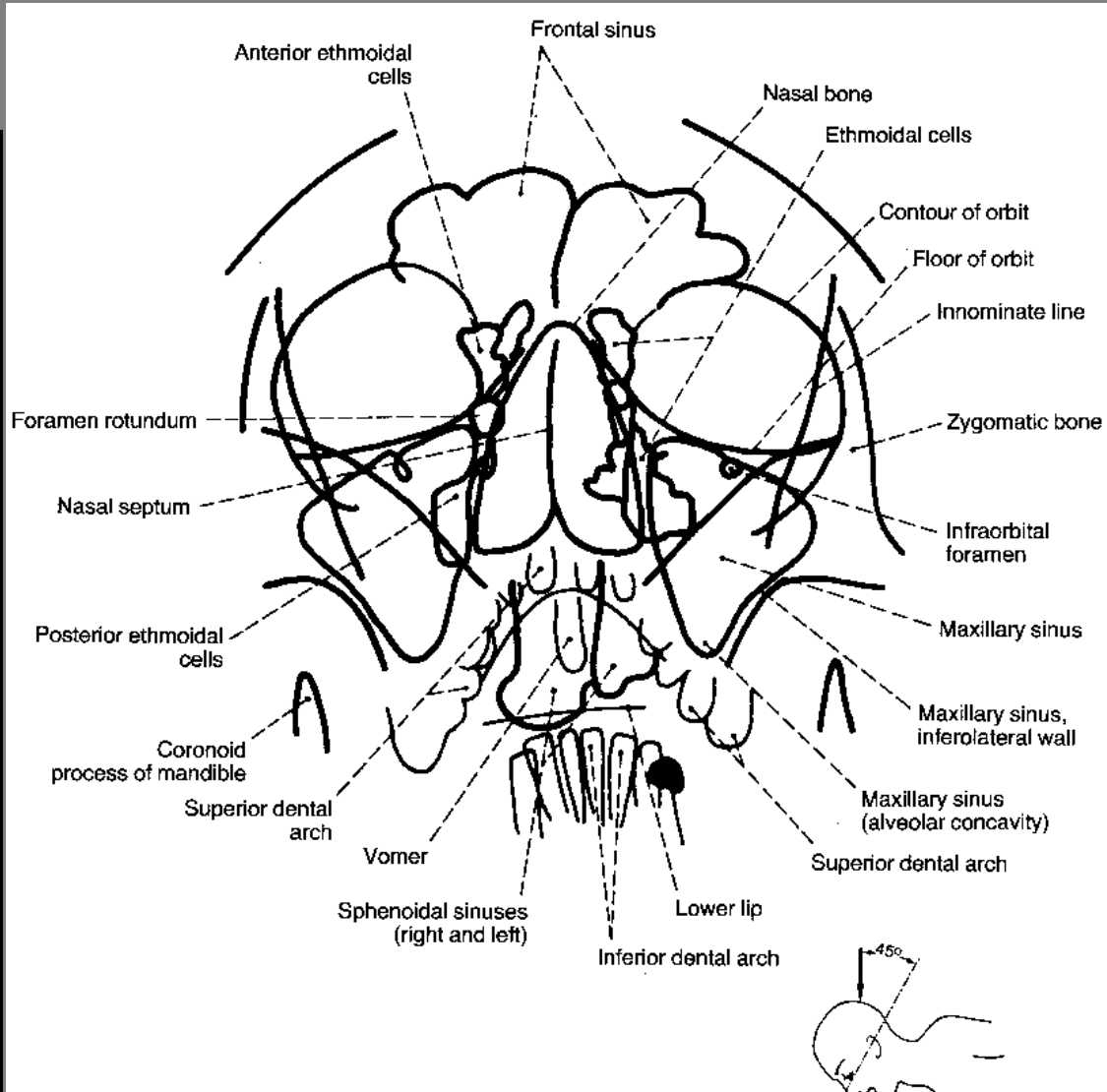
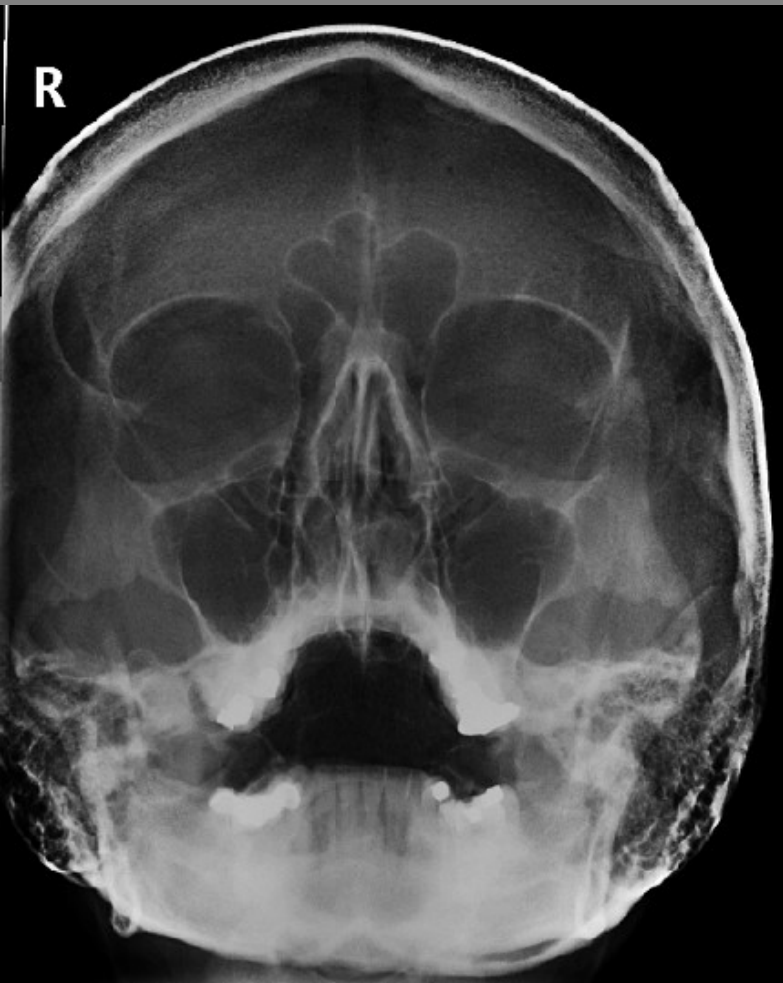
- | | |
|------|------------------|
| I | Kožní nasion |
| II | Špička nosu |
| III | Subnasale |
| IV | Subspinale |
| V | Labrale superius |
| VI | Stomion |
| VII | Labrale inferius |
| VIII | Submentale |
| IX | Kožní pogonion |
| X | Kožní gnathion |

Lebka - poloaxiální



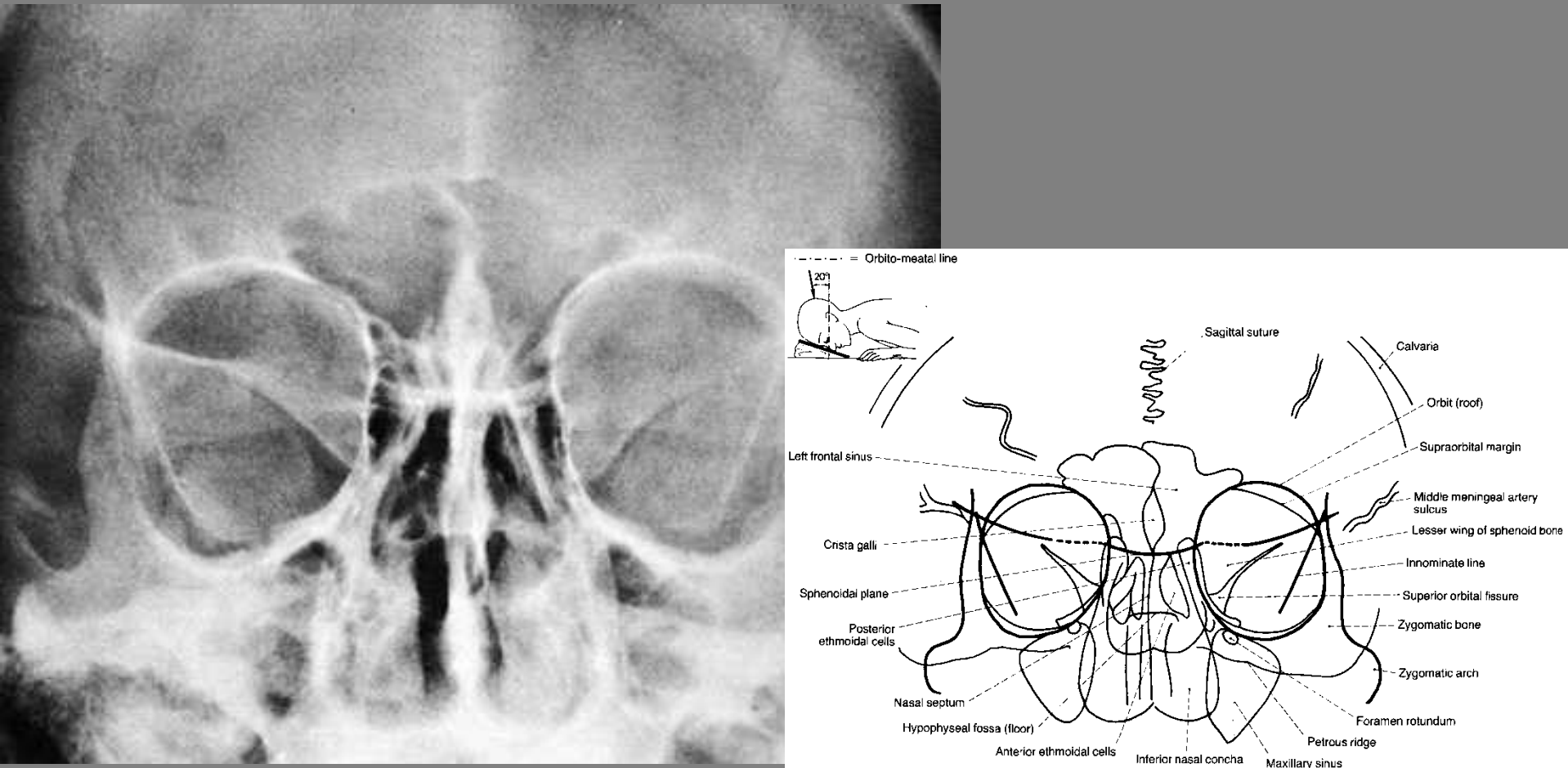
- | | |
|--|--|
| 1 Sutura sagittalis
2 Sinus frontalis se septy
3 Crista galli a falk cerebri
4 Lamina cribrosa ossis ethmoidalis
5 Os nasale
6 Orbita
7 Linea innominata (allae majores)
8 Ala minor ossis sphenoidalis
9 Fossa cranii media (ohraničení)
10 Canalis opticus
11 Fissura orbitalis superior
12 Canalis infraorbitalis
13 Foramen rotundum
14 Labyrinthus ethmoidalis
15 Septum nasi osseum
16 Conchae nasales
17 Sinus maxillaris | 18 Os zygomaticum
19 Processus frontalis ossis zygomatici
20 Sutura zygomaticofrontalis
21 Arcus zygomaticus
22 Crista zygomaticoalveolaris
23 Processus condylaris mandibulae
24 Processus muscularis (coronoideus) mandibulae
25 Celullae mastoideae
26 Pars petrosa ossis temporalis
27 Spina nasalis anterior
28 Spina nasalis posterior
29 Spina sphenoidalis
30 Pars basilaris ossis occipitalis
31 Dorsum linguae
32 Massa lateralis atlantis
33 Dens axis (epistrophei) |
|--|--|

Paranazální siny - Watersova

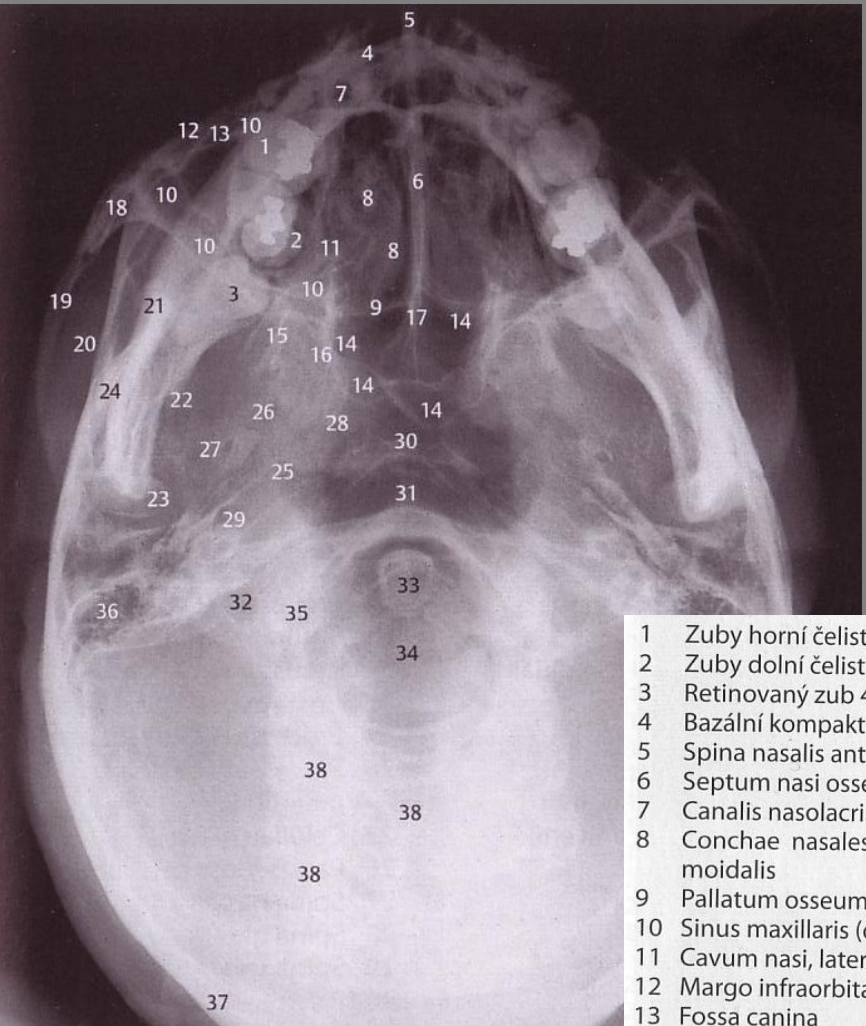


Orbity - zadopřední

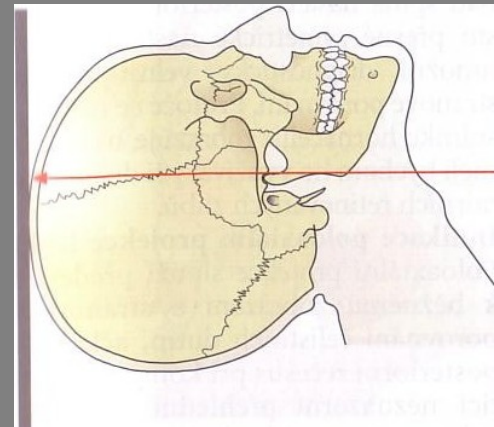
- http://rtg.misto.cz/_MAIL_/hlava/09.jpg



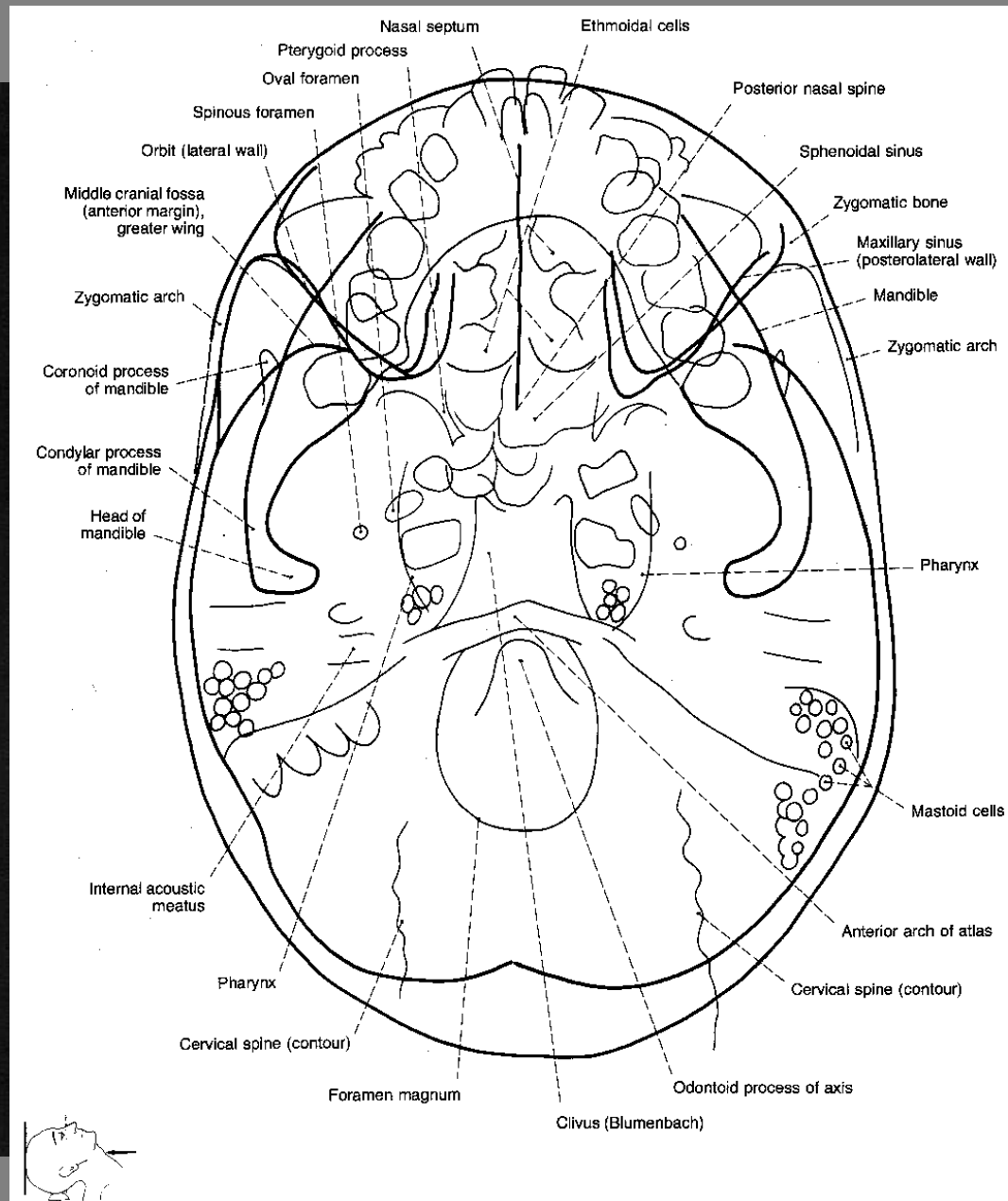
Lebka – axiální



- | | | | |
|----|--|----|--|
| 1 | Zuby horní čelisti | 19 | Arcus zygomaticus |
| 2 | Zuby dolní čelisti | 20 | Fossa temporalis |
| 3 | Retinovaný zub 48 | 21 | Processus muscularis (coroneidus) mandibulae |
| 4 | Bazální kompakta mandibuly | 22 | Lingula |
| 5 | Spina nasalis anterior | 23 | Condylus mandibulae |
| 6 | Septum nasi osseum | 24 | Angulus mandibulae |
| 7 | Canalis nasolacrimalis | 25 | Sutura coronalis |
| 8 | Conchae nasales et labyrinthus ethmoidalis | 26 | Foramen ovale |
| 9 | Pallatum osseum (dorzální hranice) | 27 | Foramen spinosum |
| 10 | Sinus maxillaris (ohraničení) | 28 | Foramen lacerum |
| 11 | Cavum nasi, laterální stěna | 29 | Canalis caroticus |
| 12 | Margo infraorbitalis | 30 | Dorsum sellae |
| 13 | Fossa canina | 31 | Tuberculum anterius atlantis |
| 14 | Sinus sphenoidalis | 32 | Foramen transversarium atlantis |
| 15 | Processus pterygoideus, lamina lateralis | 33 | Dens axis (epistrophei) |
| 16 | Processus pterygoideus, lamina media lis | 34 | Foramen magnum |
| 17 | Spina nasalis posterior | 35 | Condylus occipitalis |
| 18 | Os zygomaticum | 36 | Celullae mastoideae |
| | | 37 | Os occipitale |
| | | 38 | Obratle krční páteře |

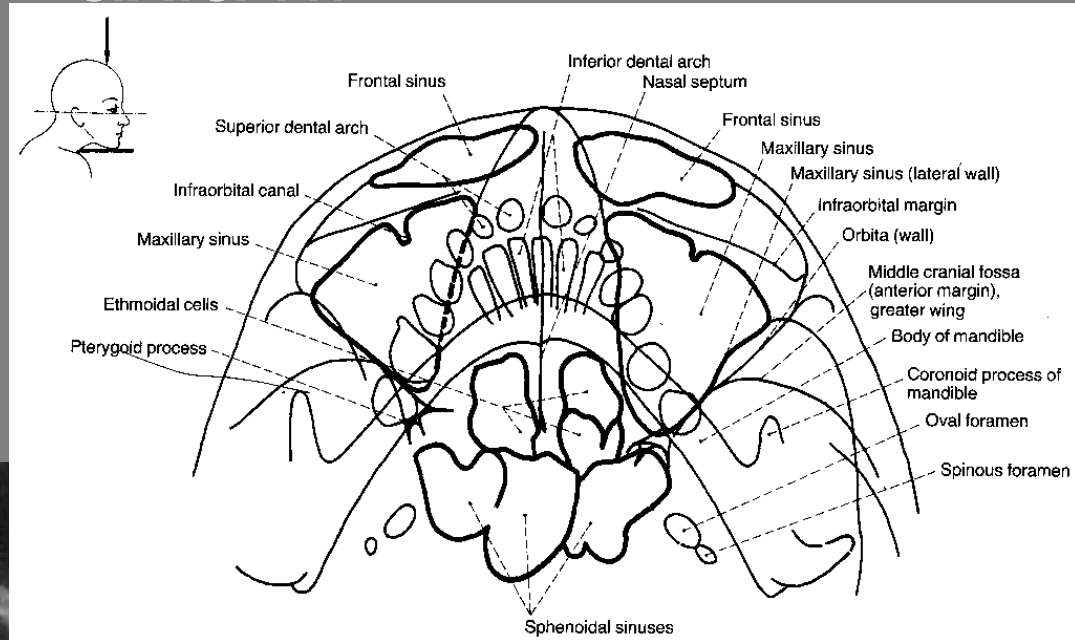


Lebka - axiální



- http://rtg.misto.cz/_MAIL_/hlava/04.jpg

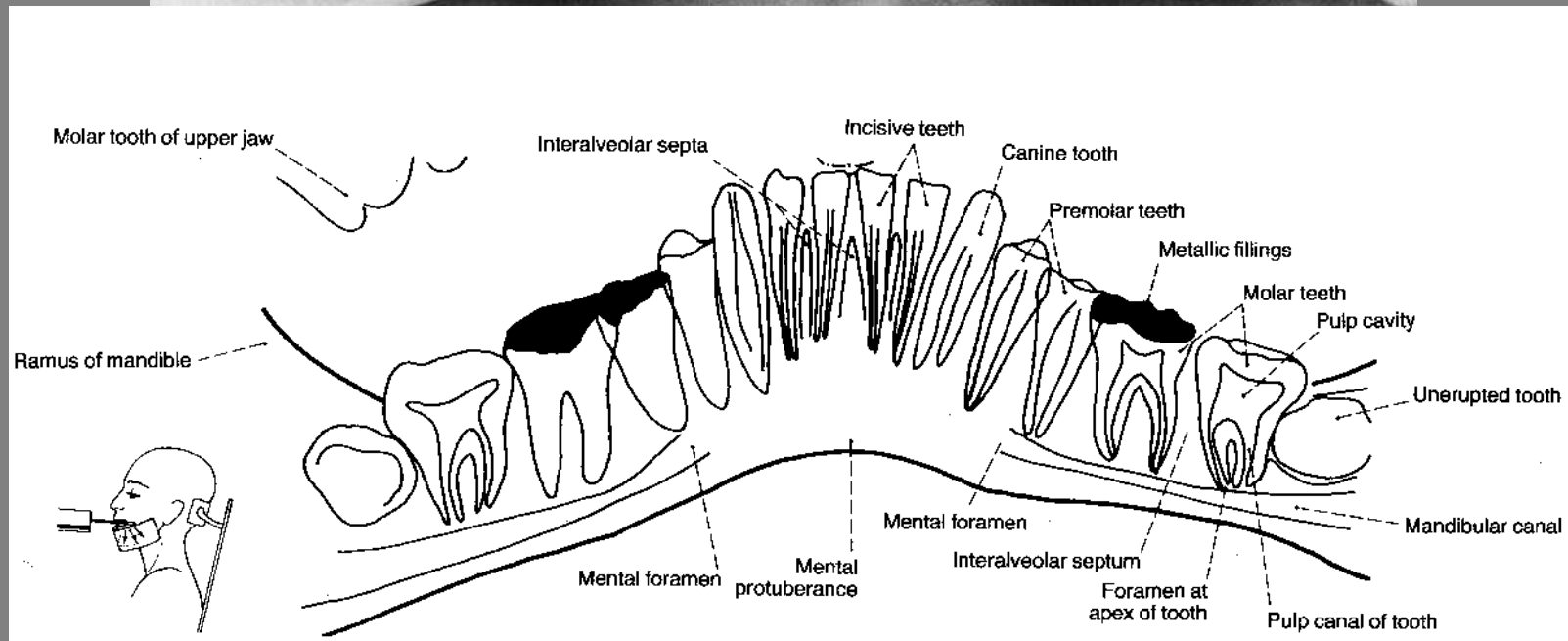
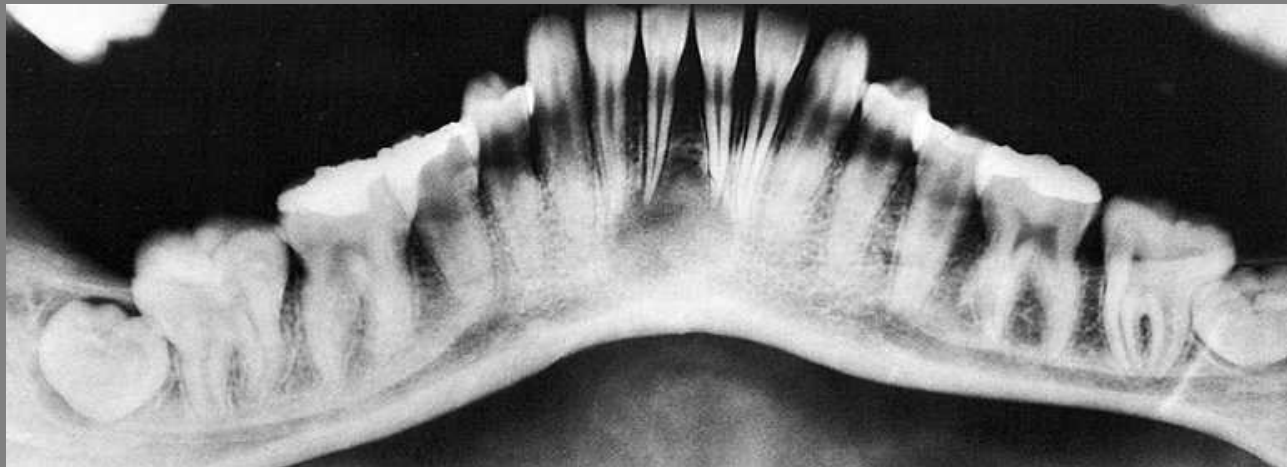
Paranazální siny - axiální



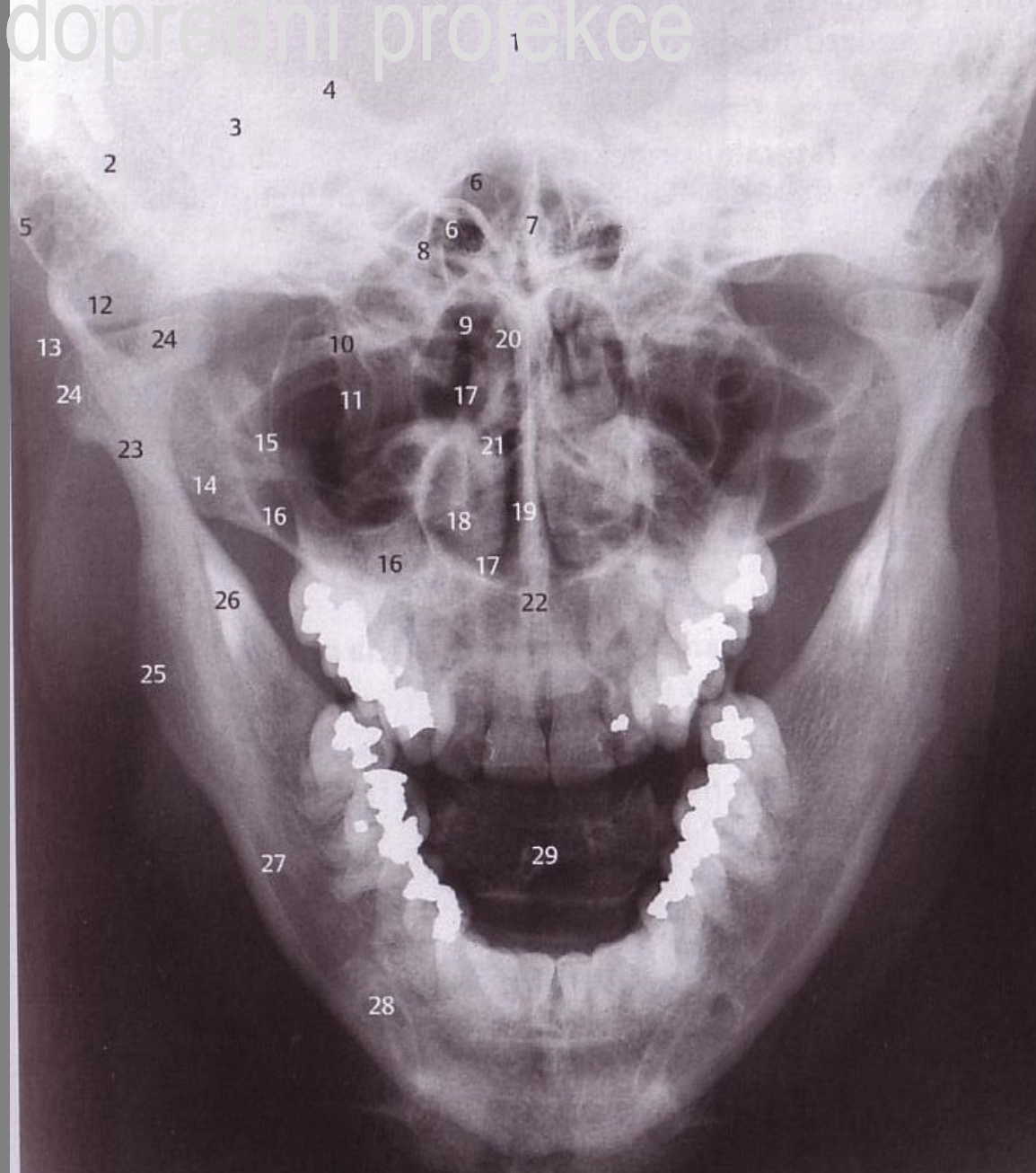
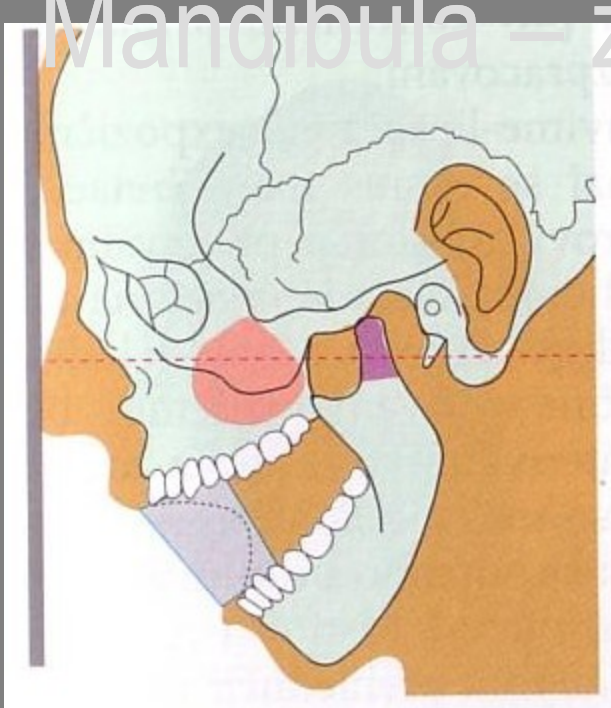
- http://rtg.misto.cz/_MAIL_/hlava/08.jpg

Dolní čelist - panoramatická

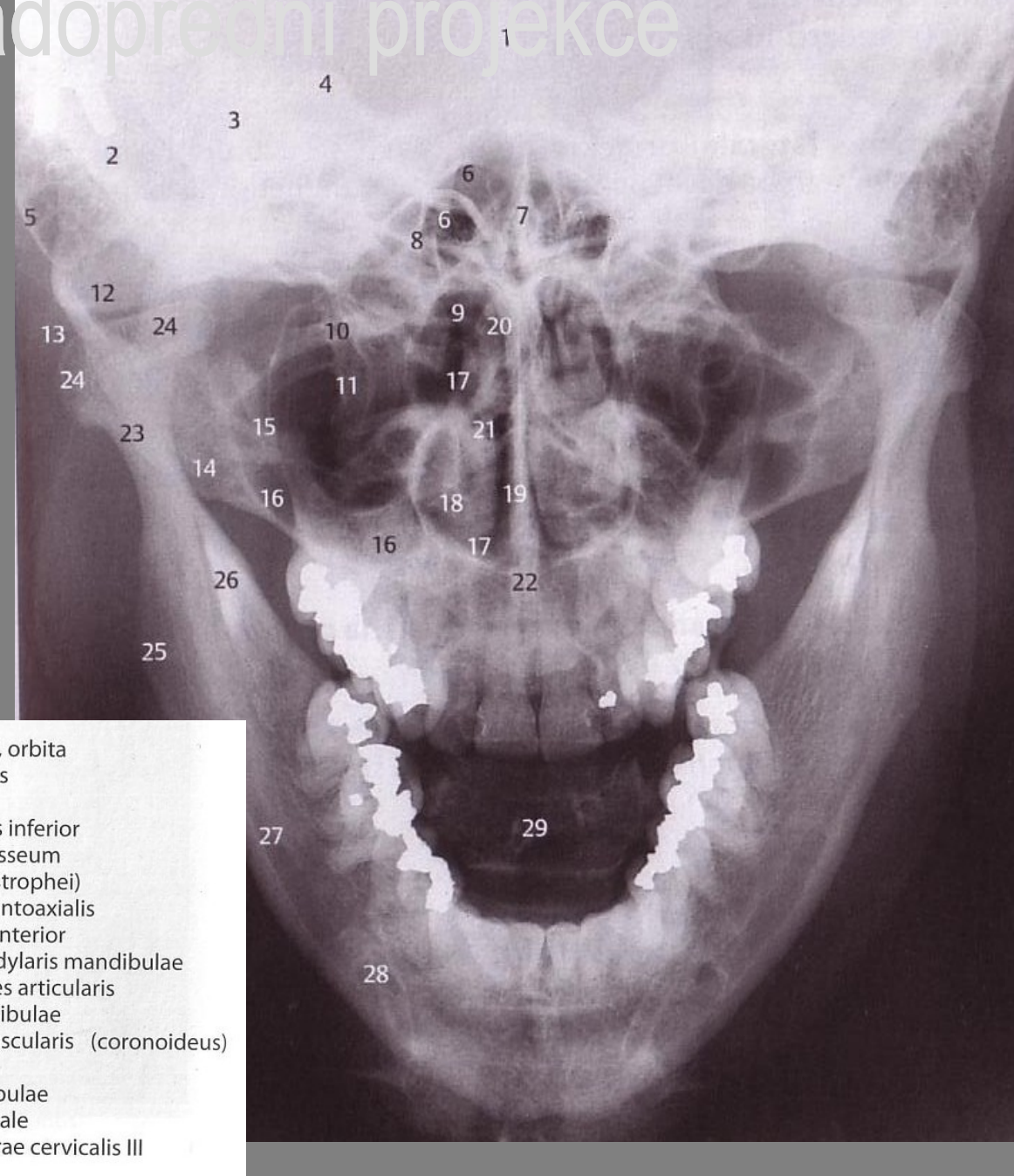
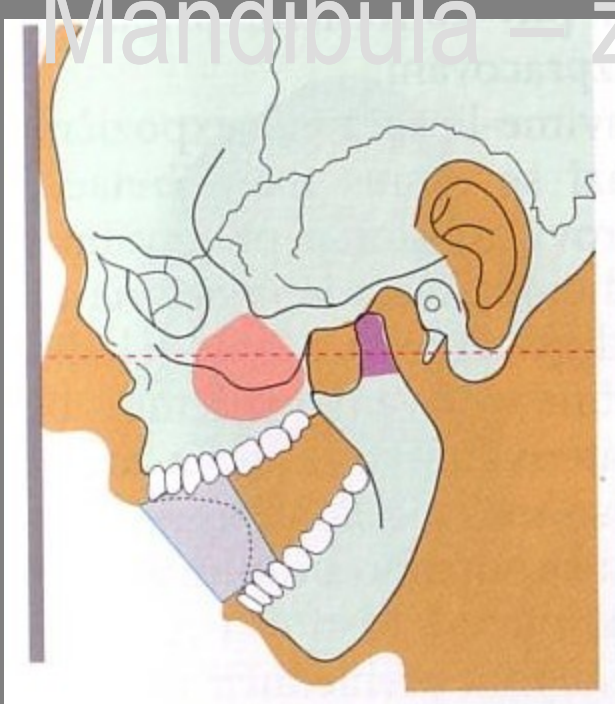
- http://rtg.misto.cz/_MAIL_/hlava/15.jpg



Mandibula – zadopřední projekce

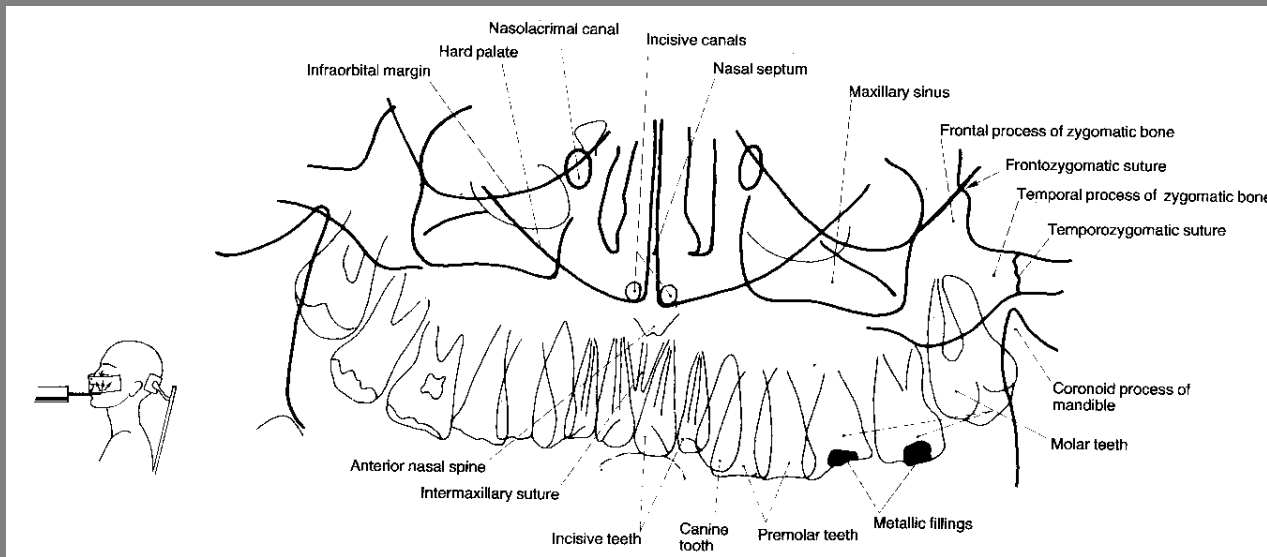
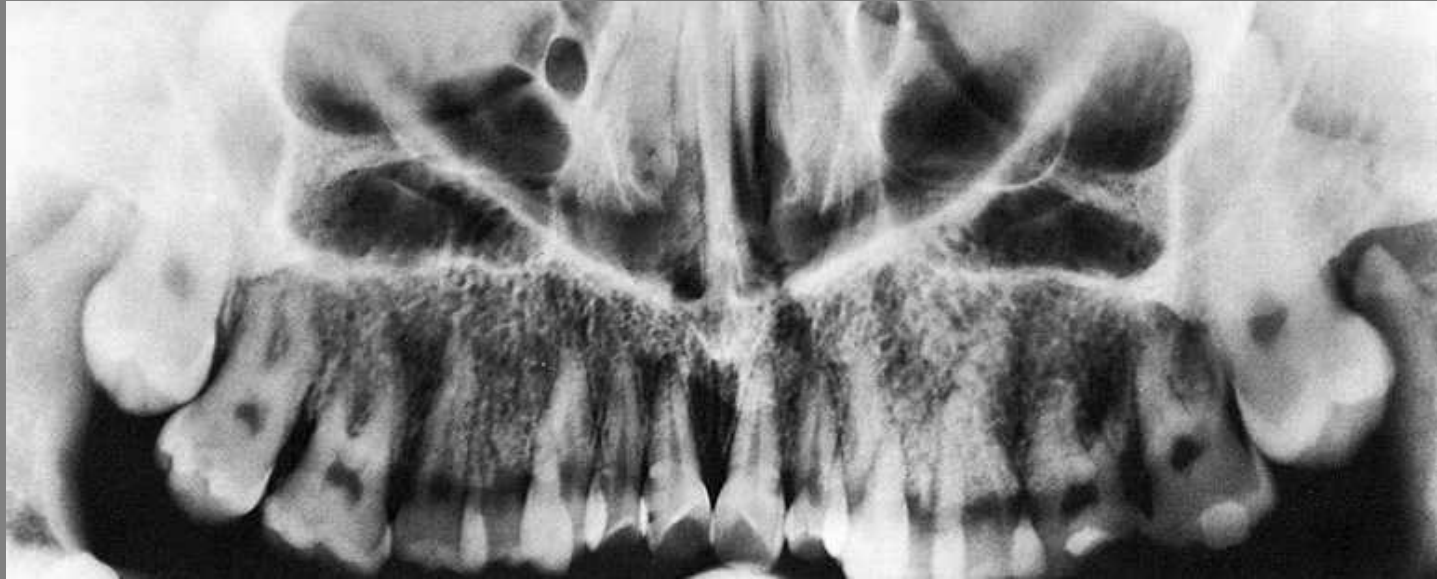


Mandibula – zadopřední projekce



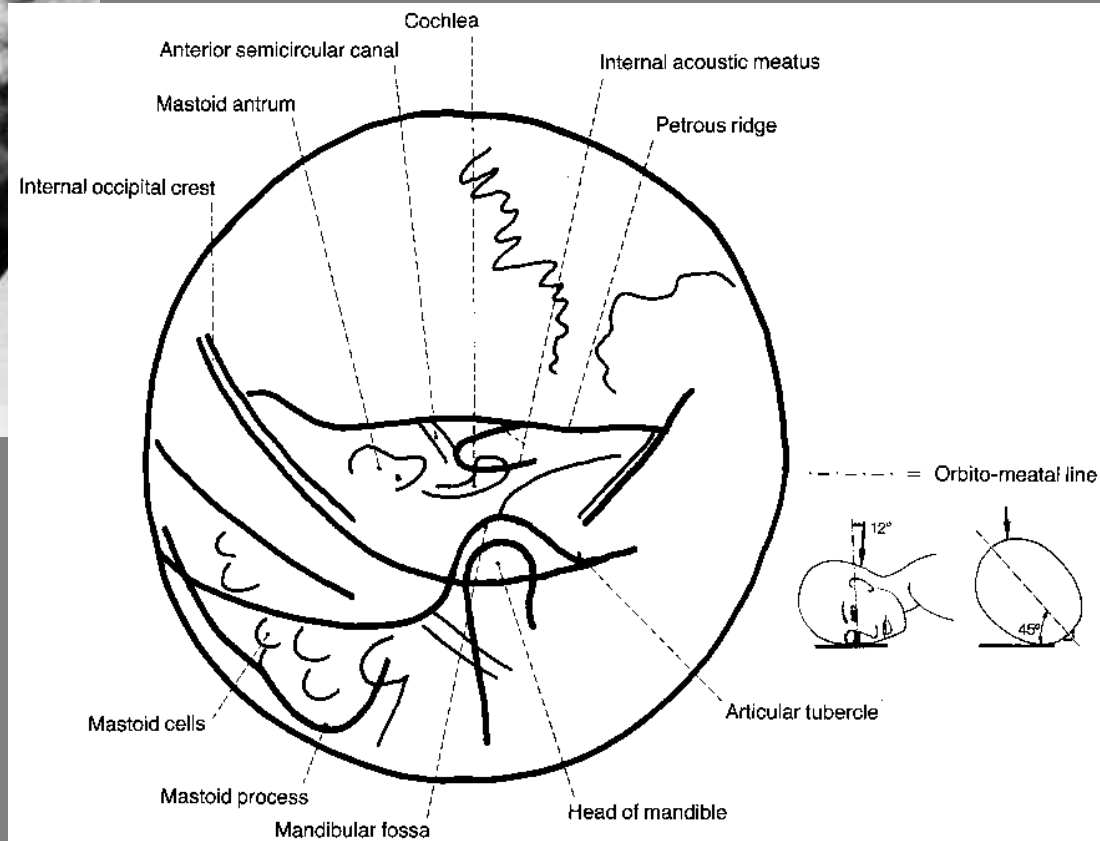
- | | |
|--|--|
| 1 Crista frontalis | 15 Margo inferior, orbita |
| 2 Squama ossis temporalis | 16 Sinus maxillaris |
| 3 Pars petrosa ossis temporalis | 17 Cavum nasi |
| 4 Eminentia arcuata | 18 Concha nasalis inferior |
| 5 Processus mastoideus ossis temporalis | 19 Septum nasi osseum |
| 6 Sinus sphenoidalisch v superpozici s částí sinus frontalis | 20 Dens axis (epistrophei) |
| 7 Crista galli | 21 Articulatio atlantoaxialis |
| 8 Planum sphenoidale | 22 Spina nasalis anterior |
| 9 Articulatio atlantooccipitalis | 23 Processus condylaris mandibulae |
| 10 Processus transversum atlantis | 24 Kondylus, facies articularis |
| 11 Processus pterygoideus ossis sphenoidalis | 25 Angulus mandibulae |
| 12 Eminentia articularis | 26 Processus muscularis (coronoideus) mandibulae |
| 13 Arcus zygomaticus | 27 Canalis mandibulae |
| 14 Os zygomaticum | 28 Foramen mentale |
| | 29 Corpus vertebrae cervicalis III |

Horní čelist - panoramatická



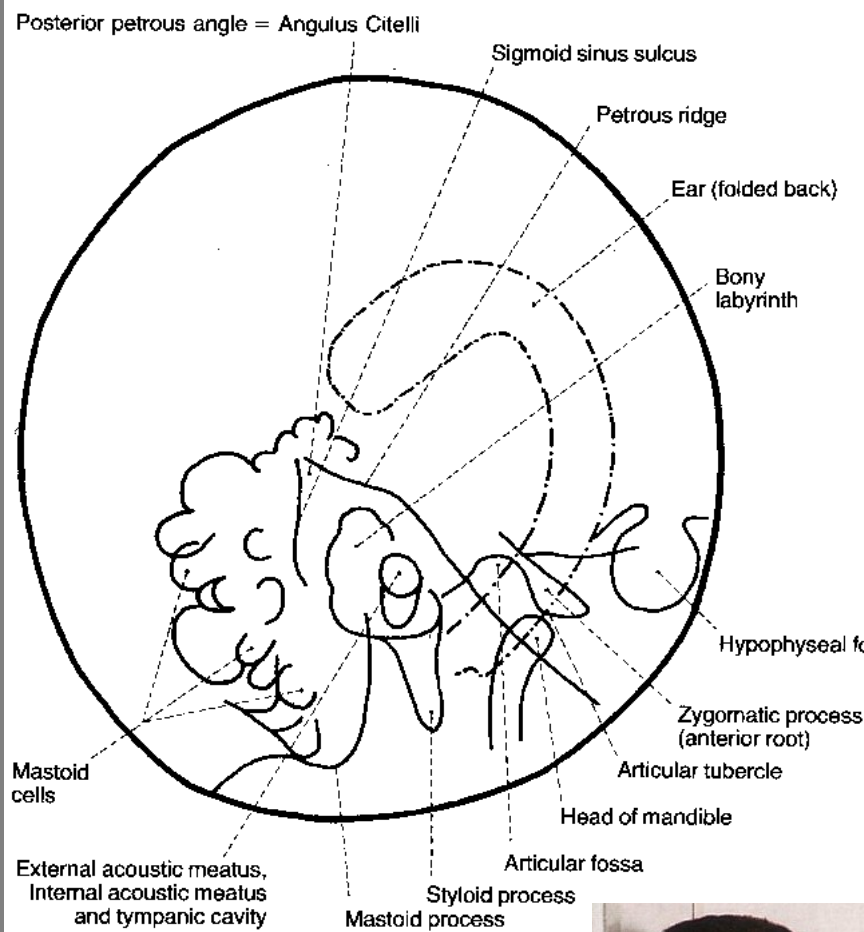
Os temporale – Stenvers - semisagitální

- http://rtg.misto.cz/_MAIL_/hlava/11.jpg

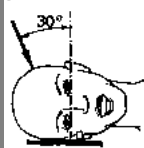


Os temporae

Schüller - semilaterální



http://rtg.misto.cz/_MAIL_/hlava/12.jpg

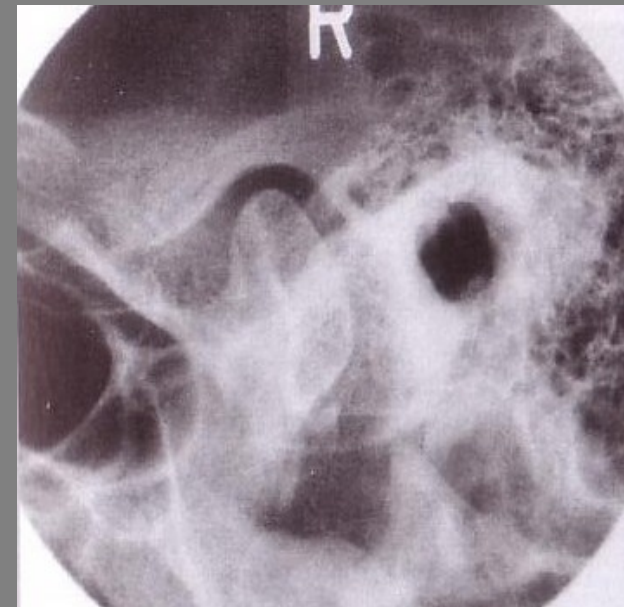
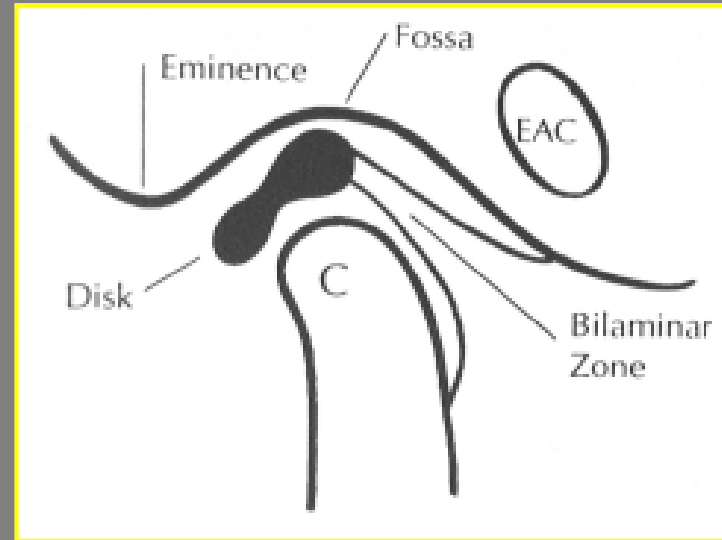


----- = Orbito-meatal line



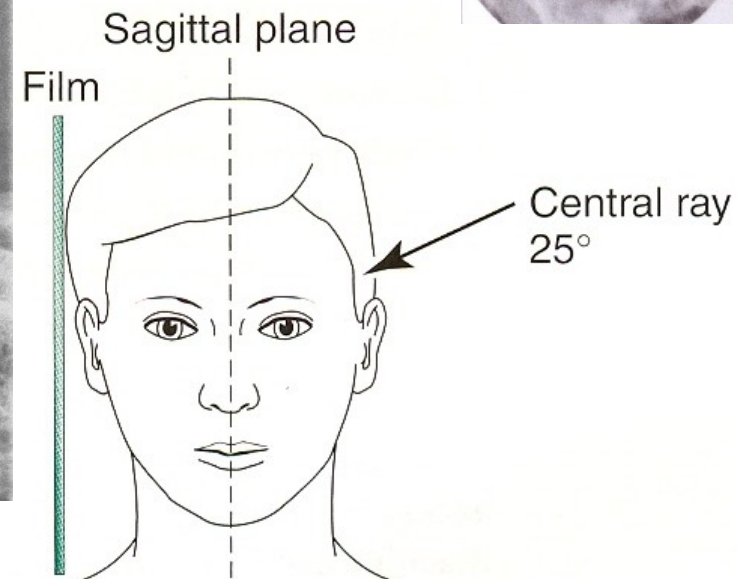
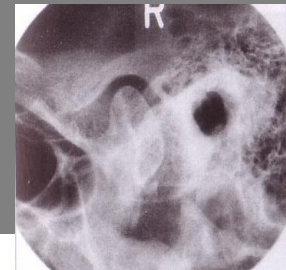
Temporomandibulární kloub - TMJ

- Intracapsulální patologie = diskopatie
- Bikonávní disk, fibrokartilózní struktura, kraniální/kaudální kompartment TMJ
- Správná pozice disku ochraňuje kloub
- Diskopatie =
 - dislokace disku
 - ✓ s/bez repozice
 - ✓ adheze



TMJ - temporomandibular joint

Temporomandibulární skloubení - TMJ

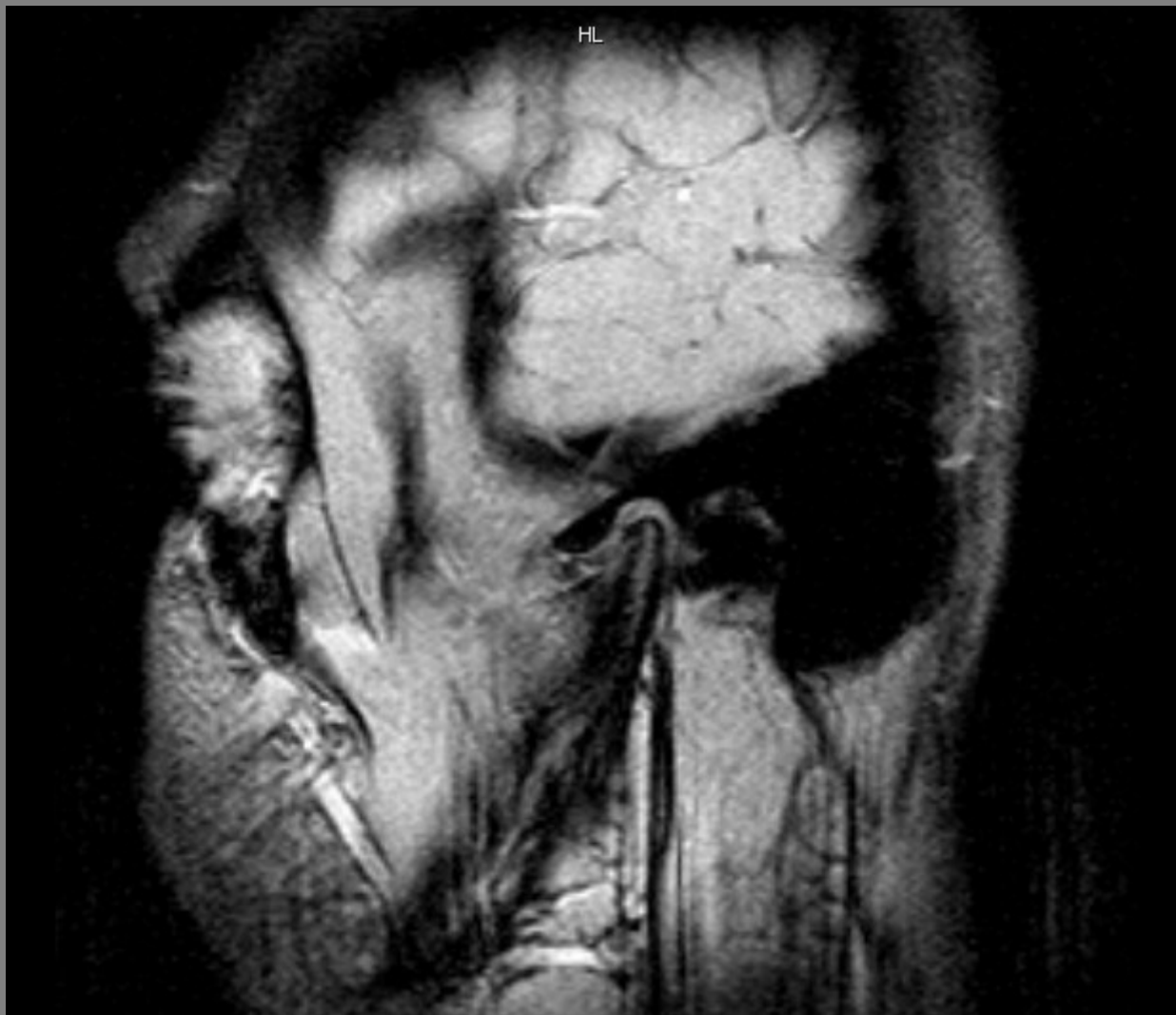


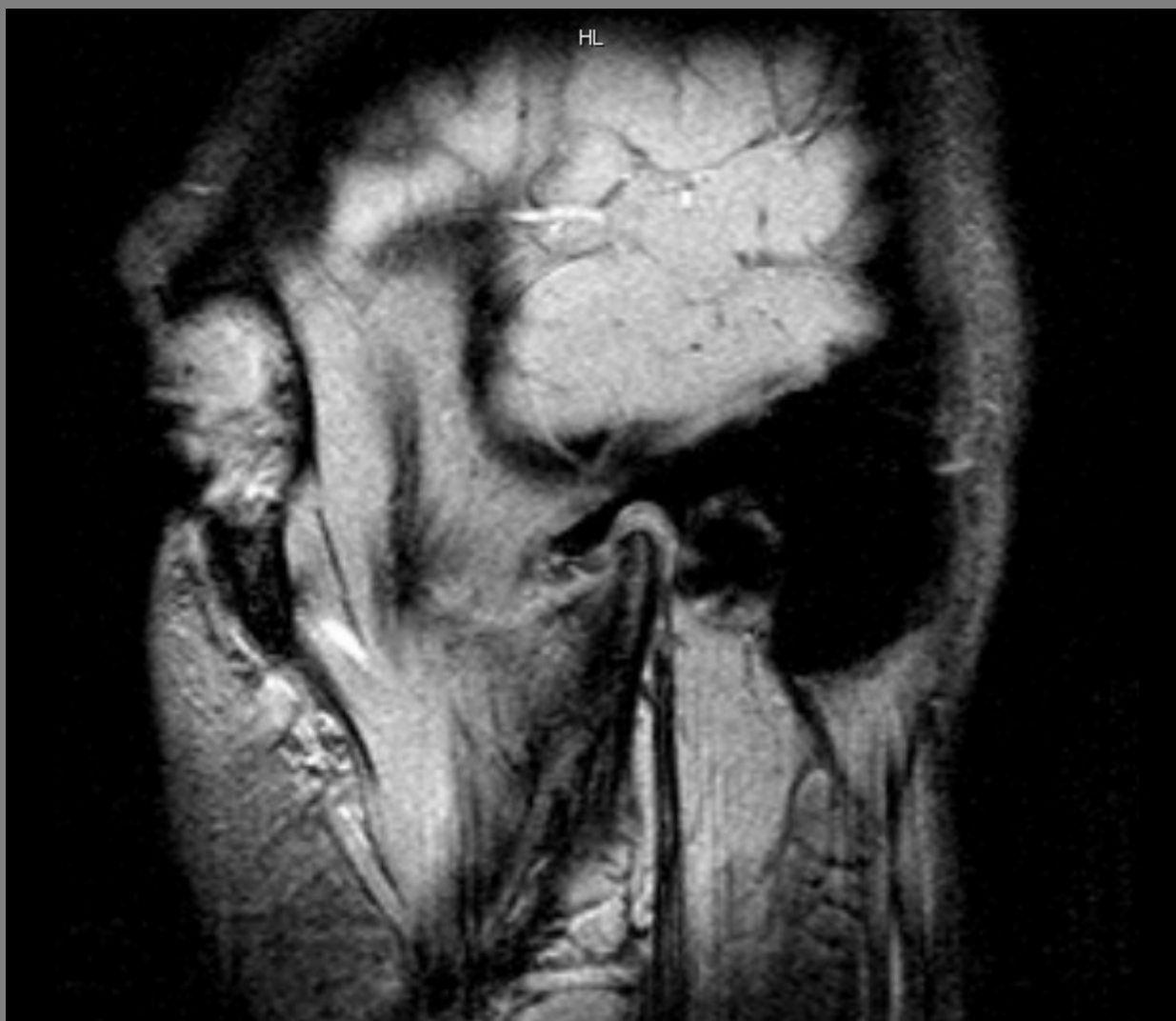
serial radiogram TMJ

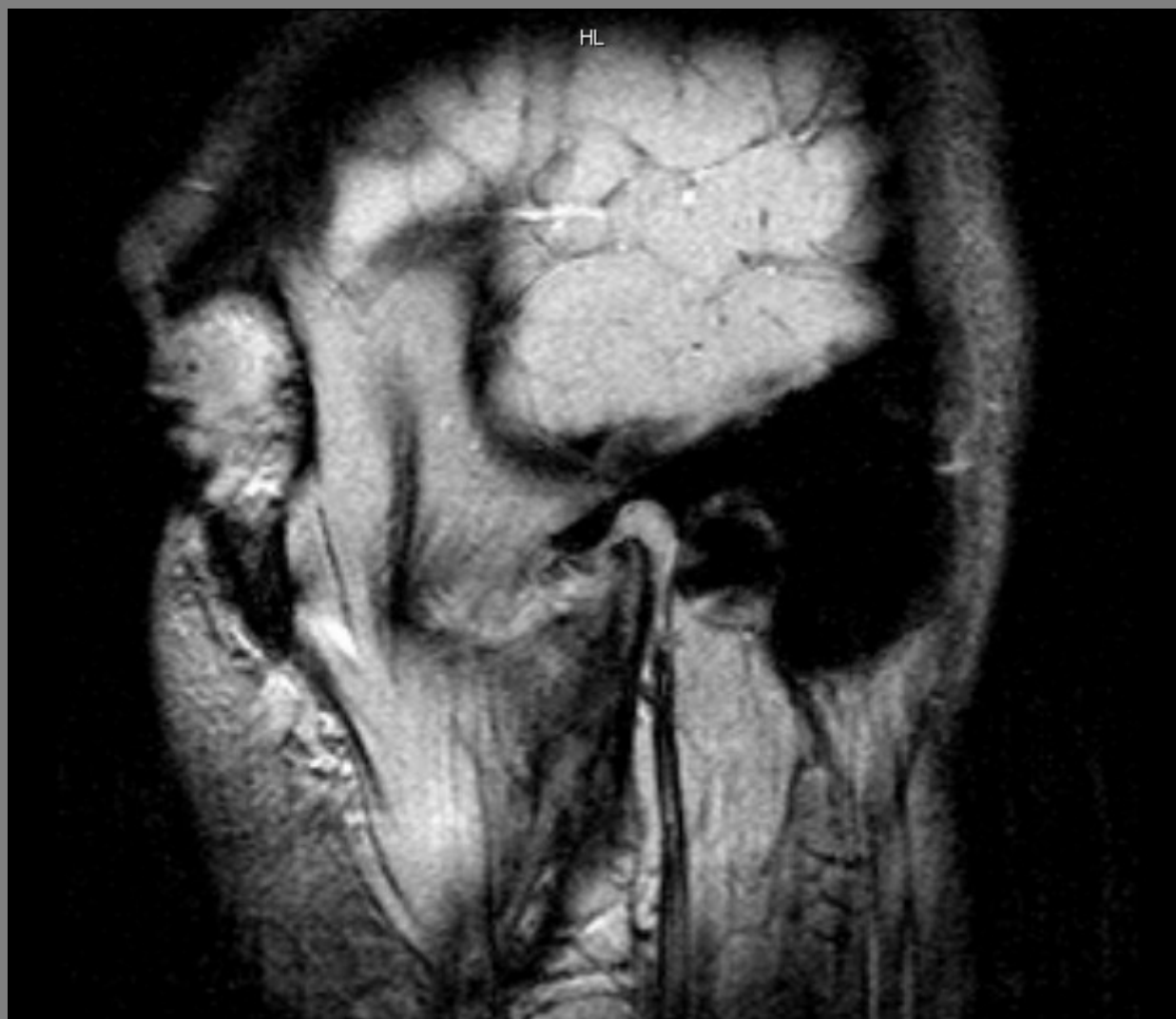
- x-ray paprsek prochází +25° vertikálně do středu filmu
- vstupuje 6-7cm nad meatus acusticus.

- mandibul. kondylus
- fossa glenoidalis
- zavřená/otevřená ústa

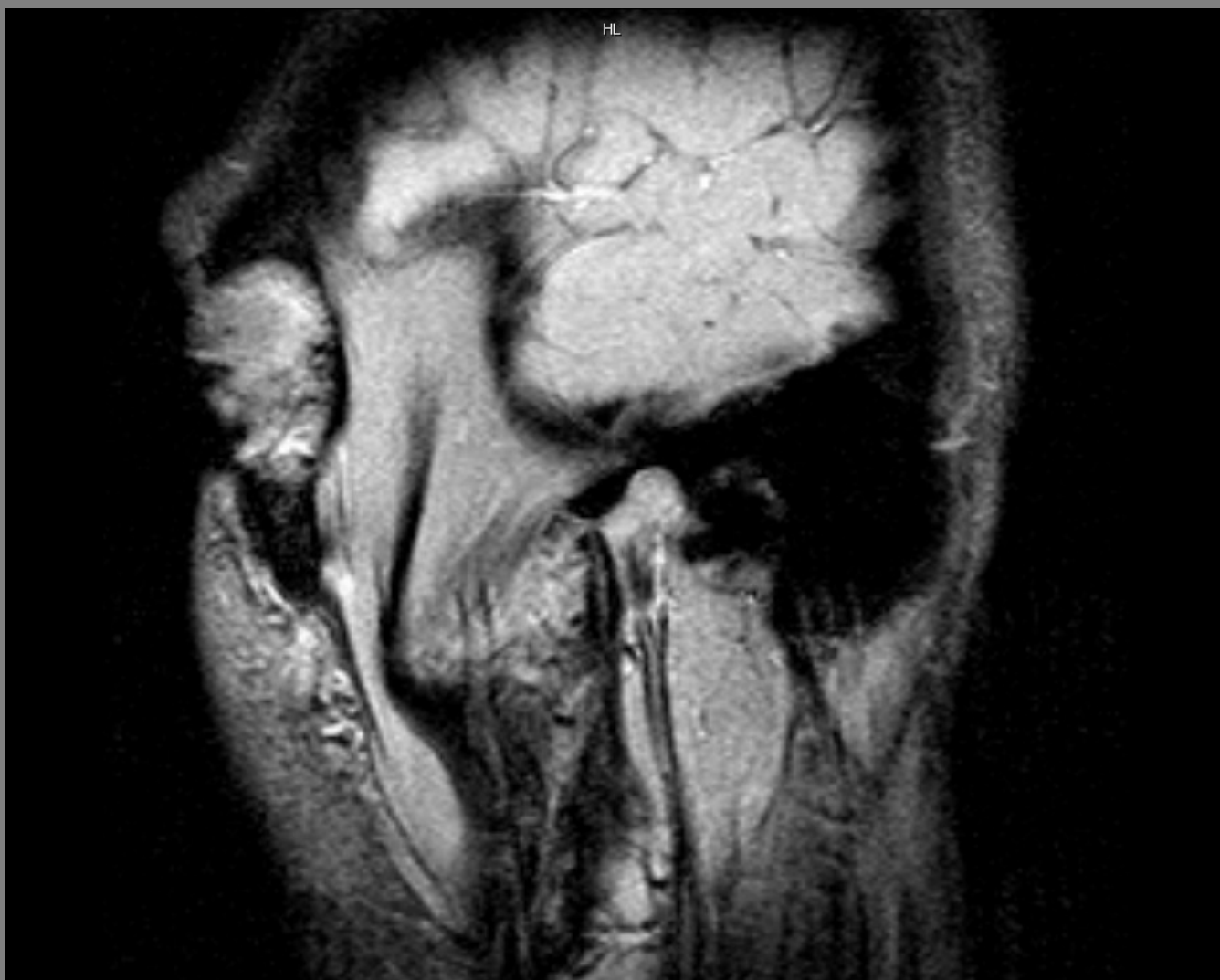
MRI - TMJ

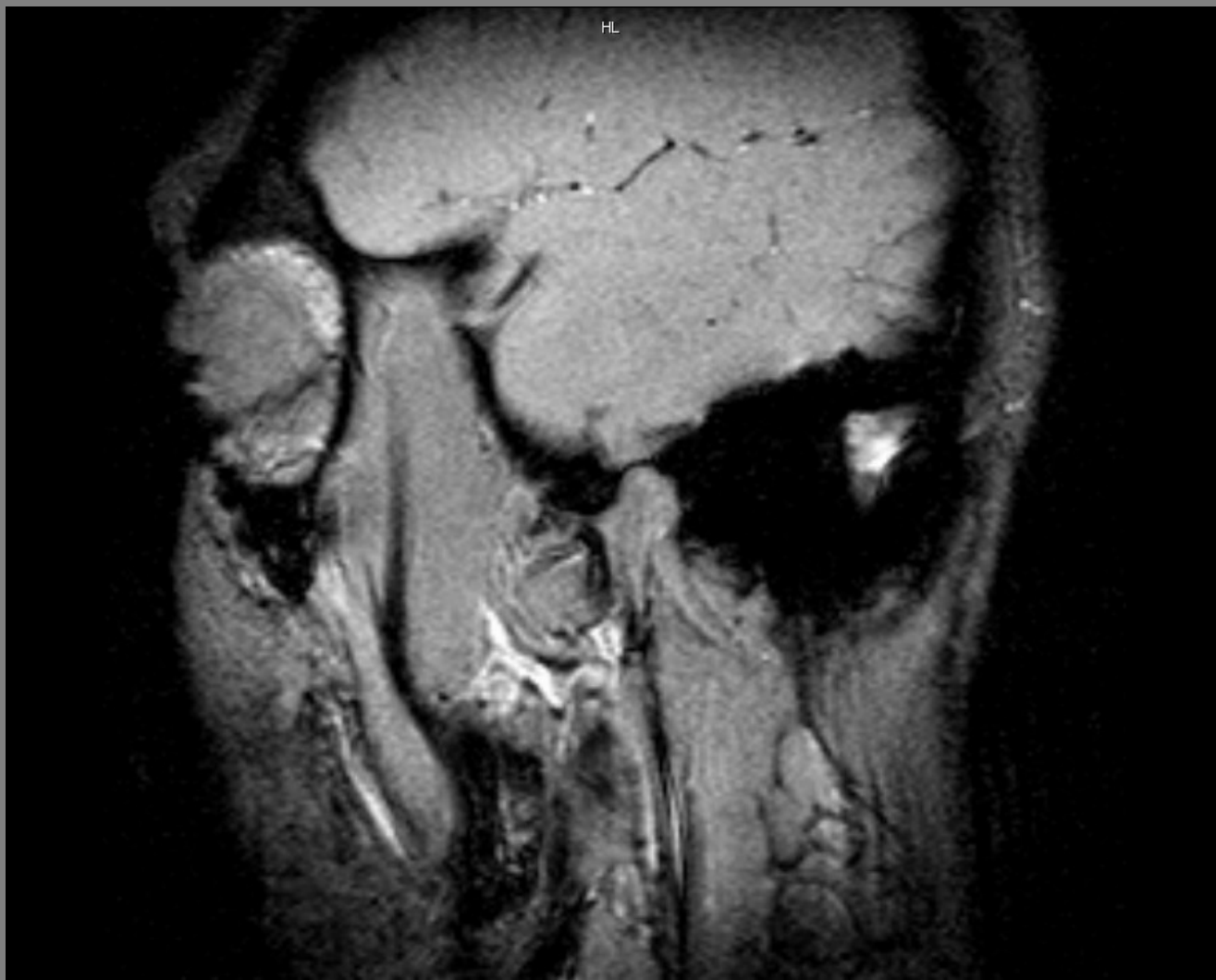


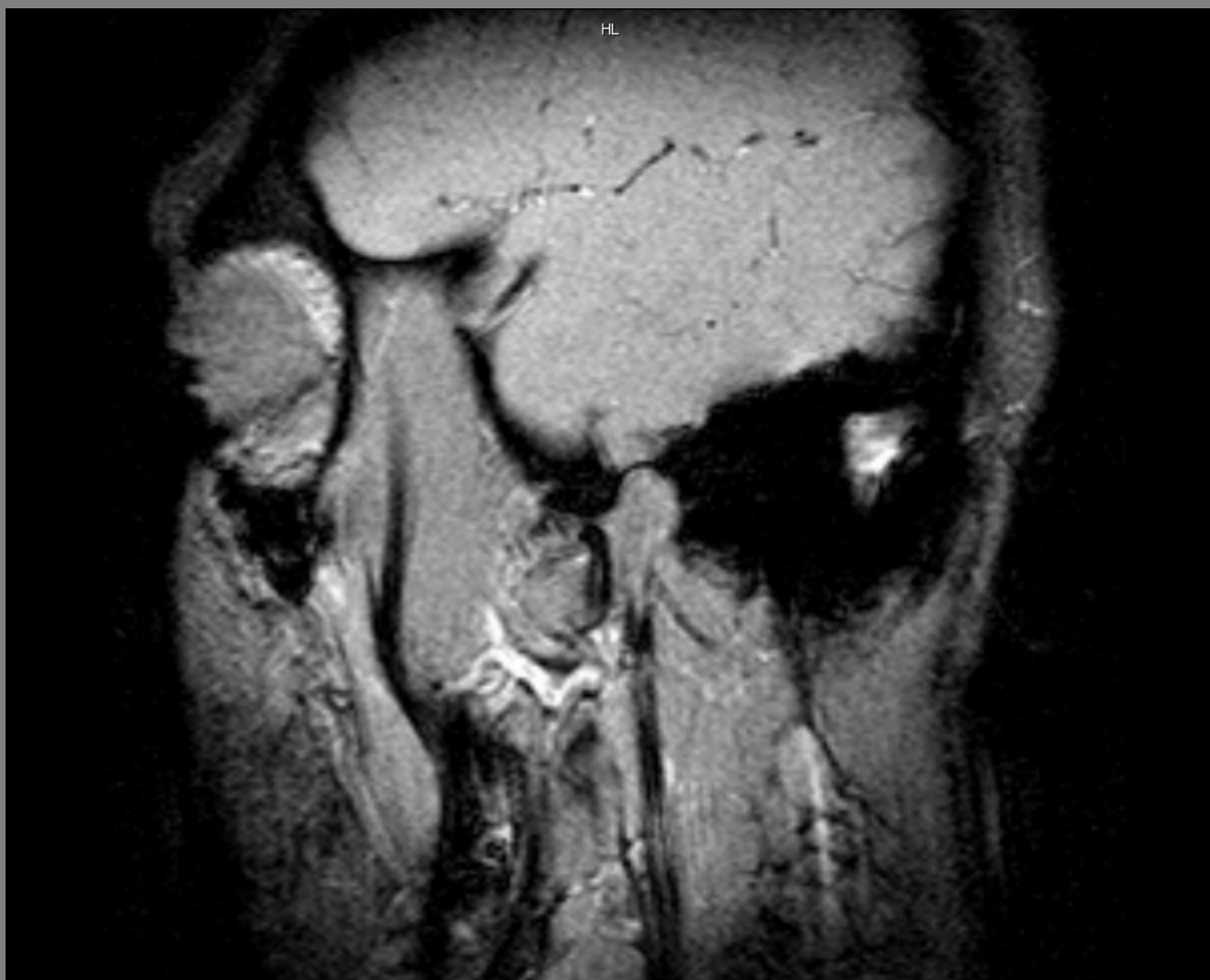


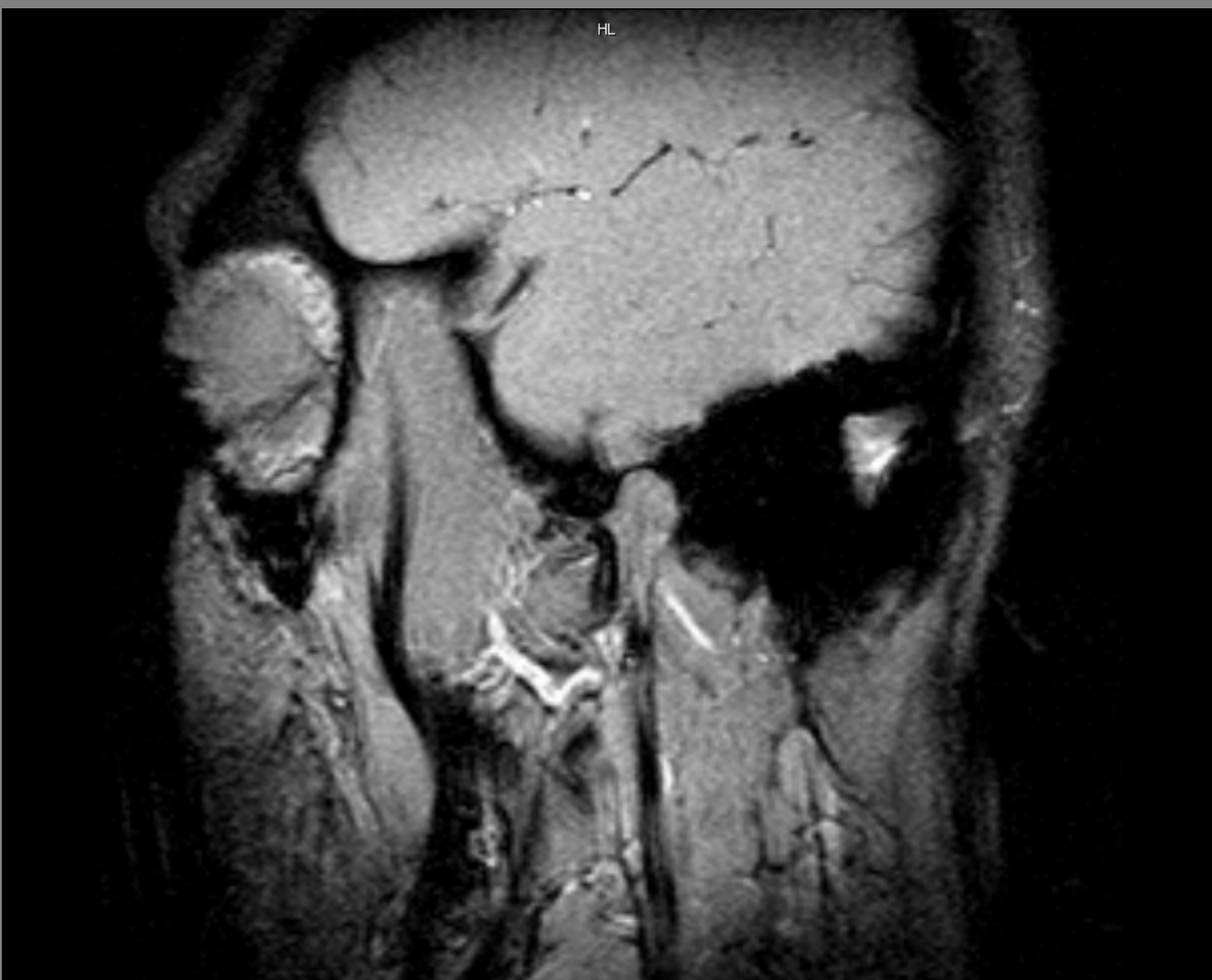


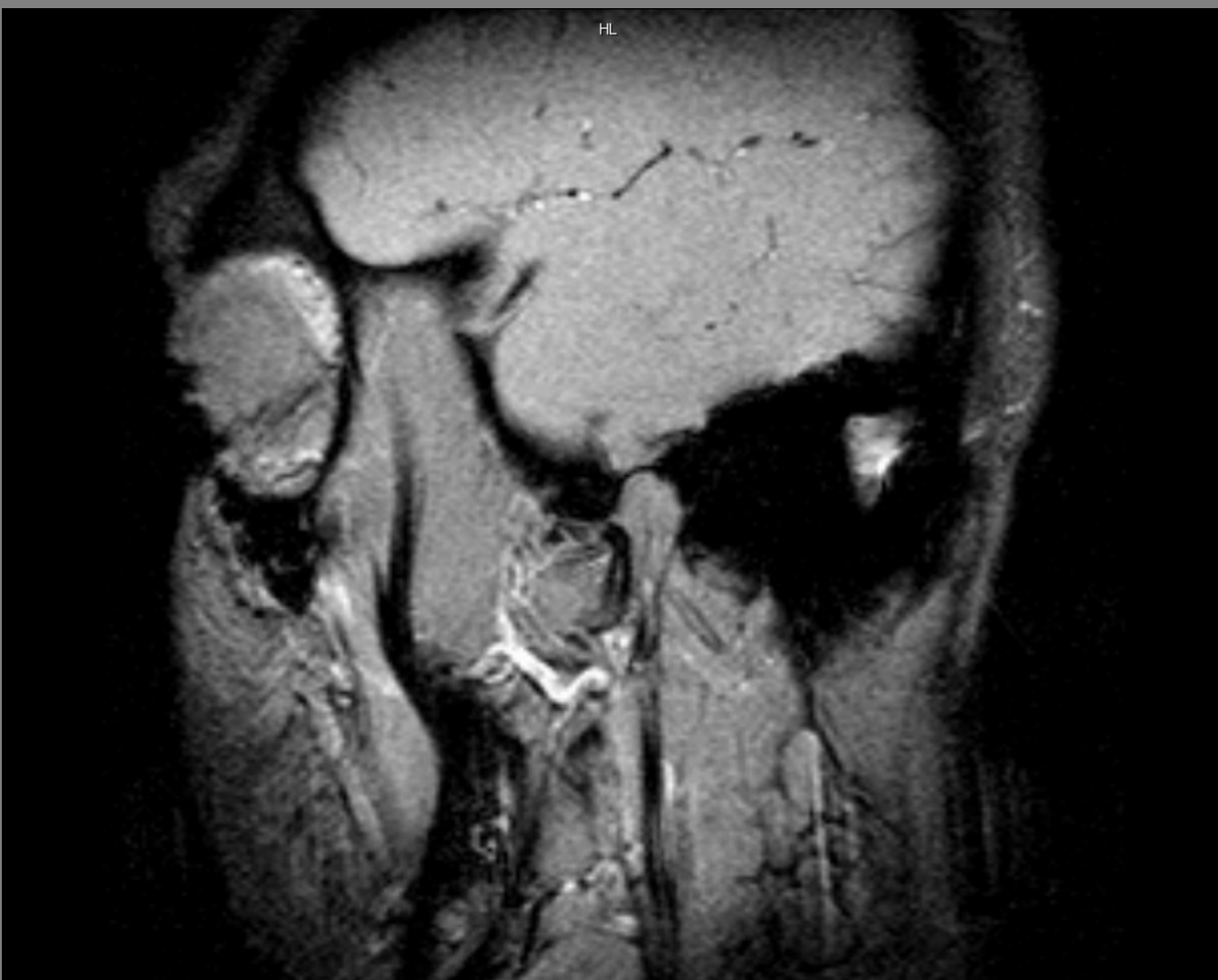


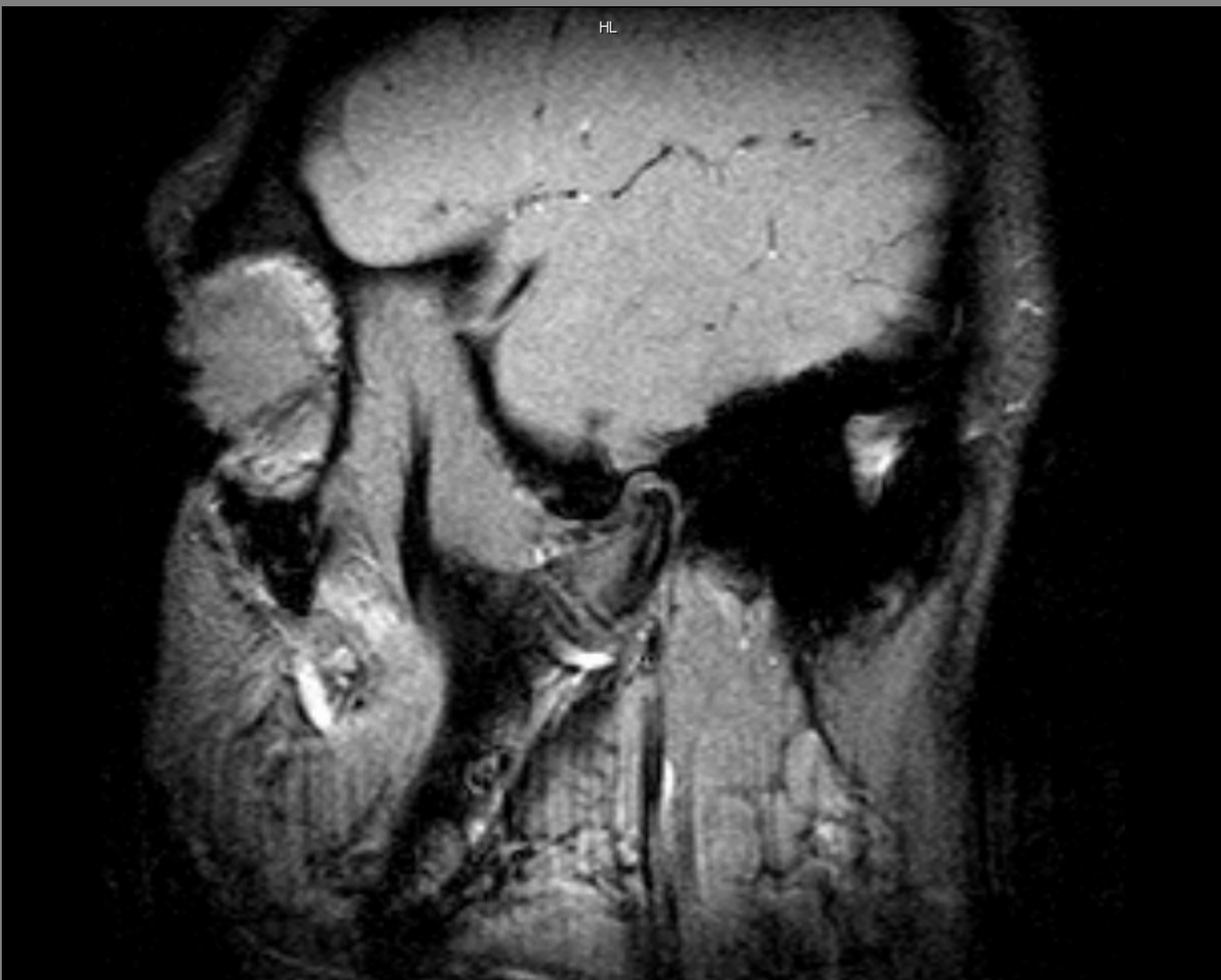












HL

Sono - TMJ

Map 3

170dB/C 4

Persist Off^{ATL}

2D Opt:FSCT

Fr Rate:Surv

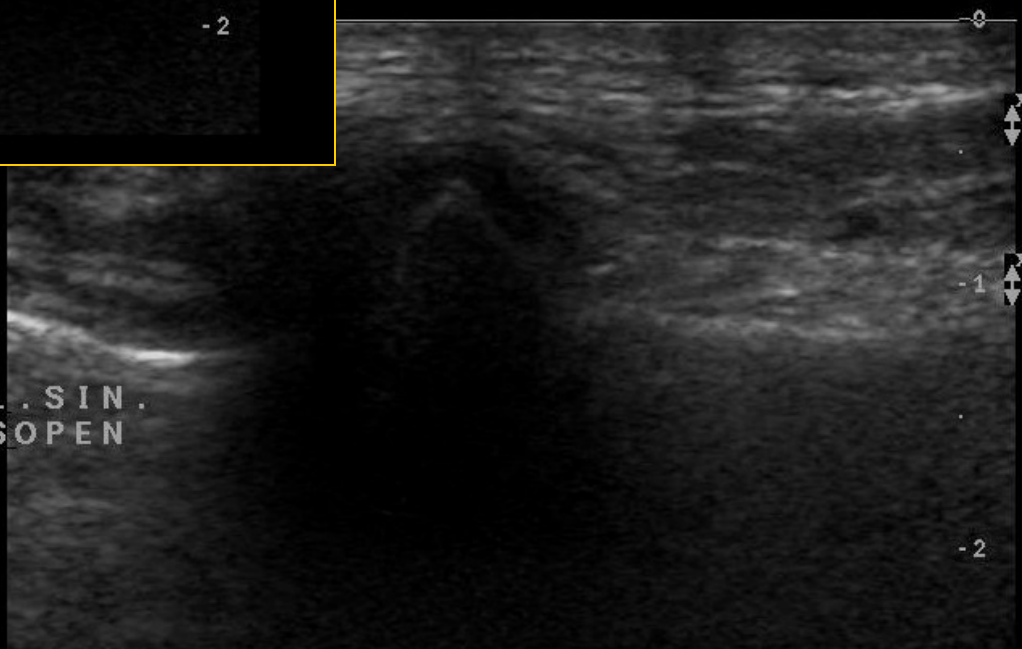
SonoCT®

XRes™



XRes™

TMJ L. SIN.
TRANSOPEN



Intraorální snímky

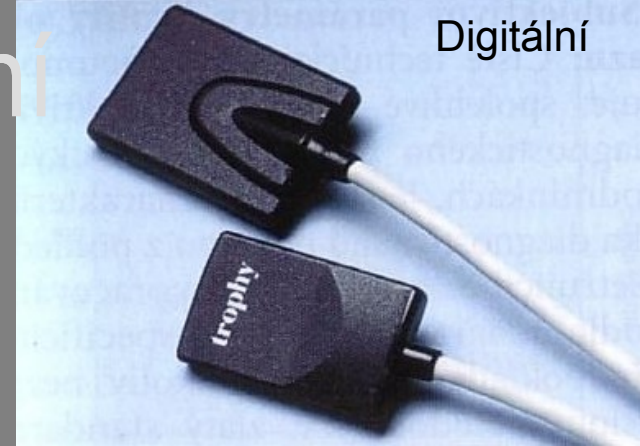
Intraorální RTG přístroj

- napětí rentgenky U
 - 50-90 kV
- filtrace primárního svazku
 - 1,5 mm Al pro U menší než 70 kV
 - 2,5 mm Al pro U větší než 70 kV
- tubus
 - délka tubusu 10-30 cm
 - materiál tubusu: umělá hmota
 - funkce: vymezení vzdálenosti ohnisko-kůže (min. 10 cm)
- velikost pole na konci tubusu
 - je dána vymezením svazku výstupním okénkem, průměru kruhového pole do 6 cm



Filmy pro intraorální zobrazení

- konvenční/digitální
- dentální filmy
- světlotěsnost, vodotěsnost



plastový obal

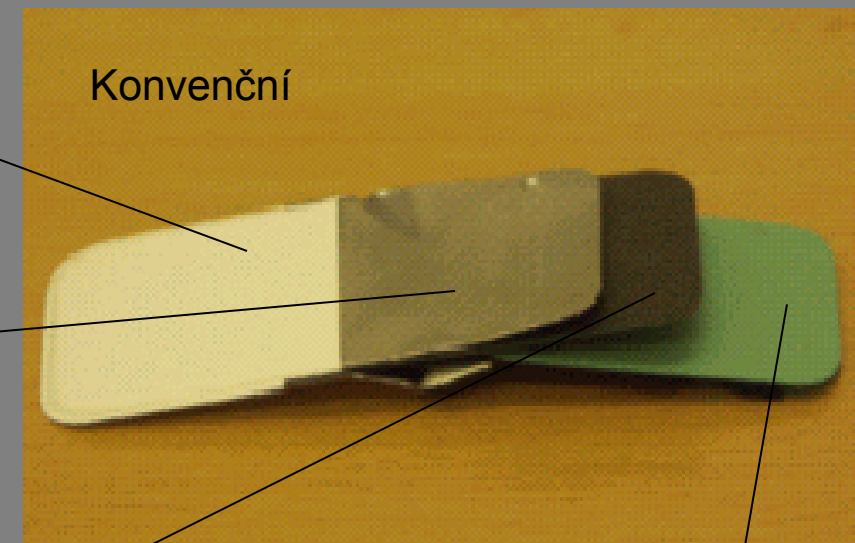
Konvenční

Pb filtr na zadní straně

–zamezuje vniku neostrostí z reexpozice rozptýleným zářením

papírový obal kryjící obě strany filmu

film



I n t. r a o r á l n í s n í m k y Filmy pro intraorální zobrazení



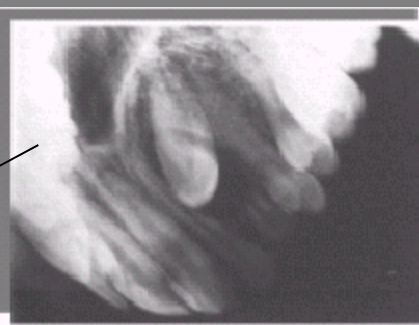
klasický 31x41 mm



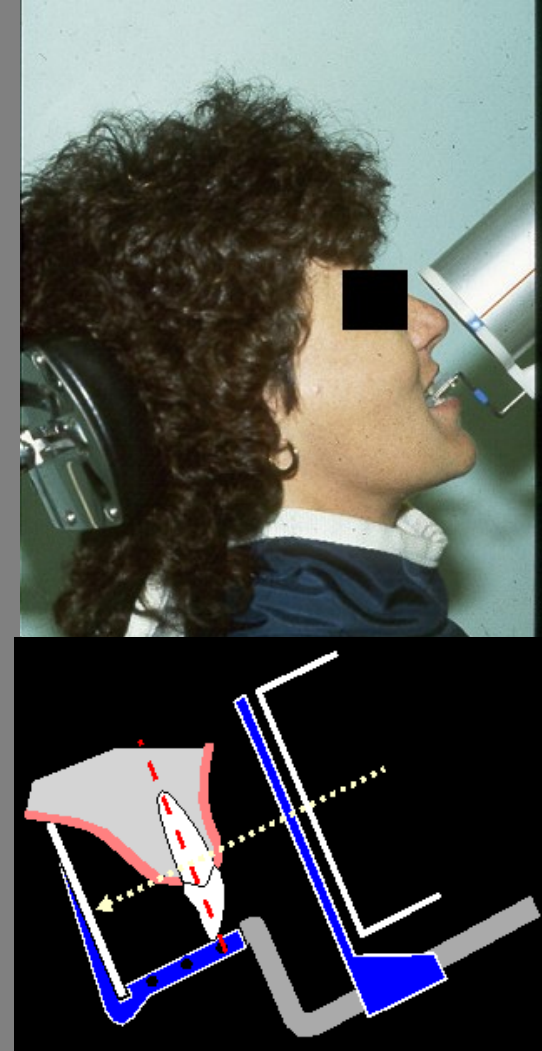
dětský 22x35 mm



speciální 27x54 mm

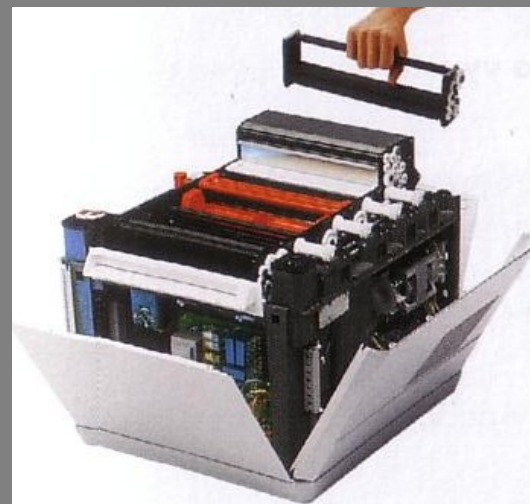
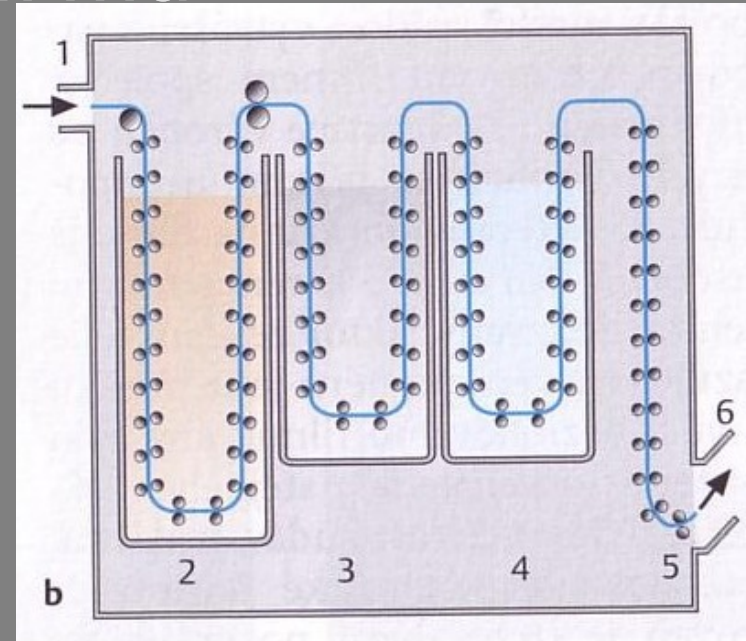


speciální 57x76mm

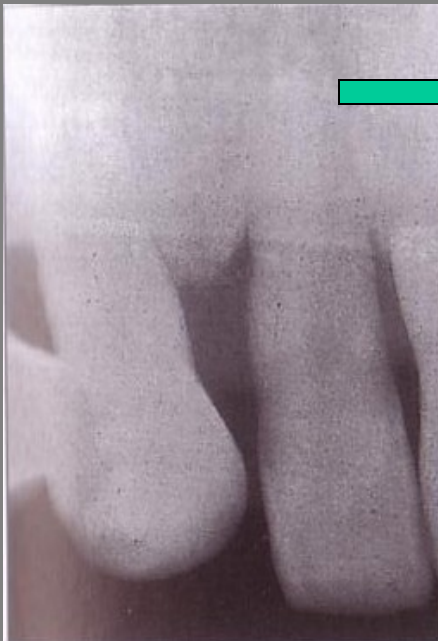


obal filmu přesahuje jeho vlastní formát na každé straně o 1 mm

Konvenční zpracování filmu



Artefakty - konvenční zpracování filmu



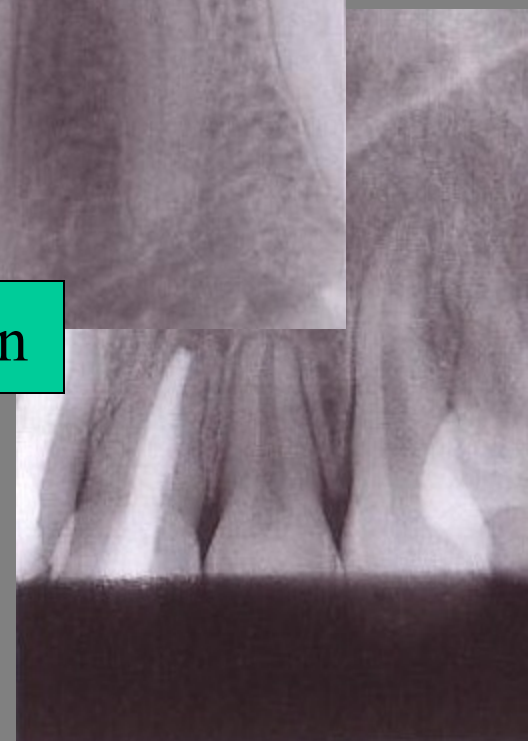
chladné chemikálie
film je hrubě zrnitý



správná teplota



málo vylolávacích tekutin

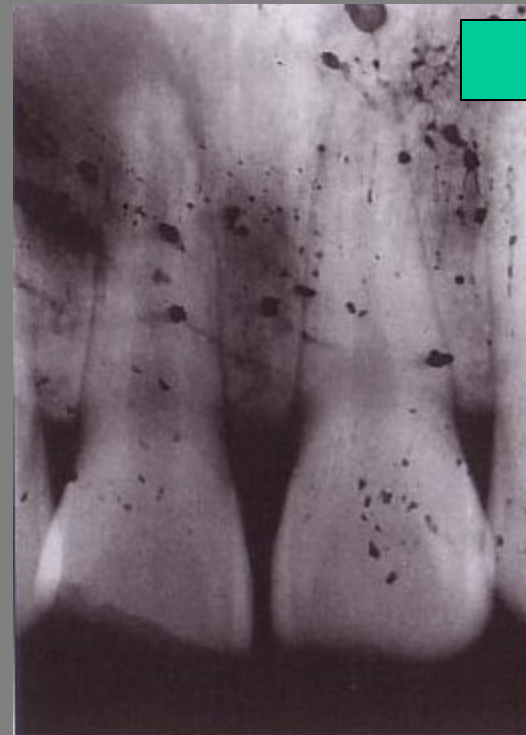


Artefakty - konvenční zpracování filmu

příliš rychlé výjmutí filmu z obalu



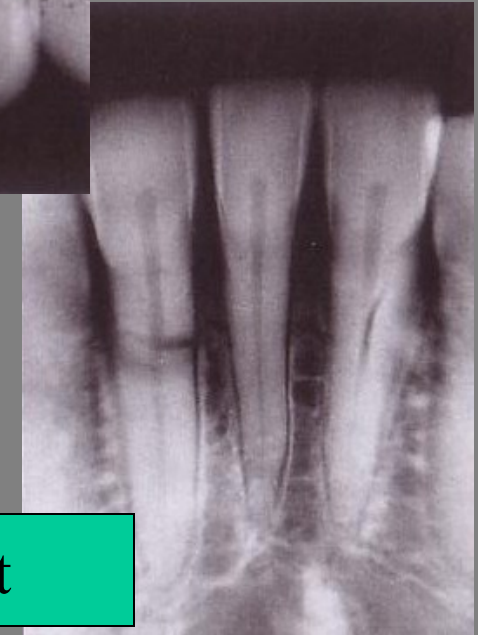
vývojka



nečistoty



kapka vody

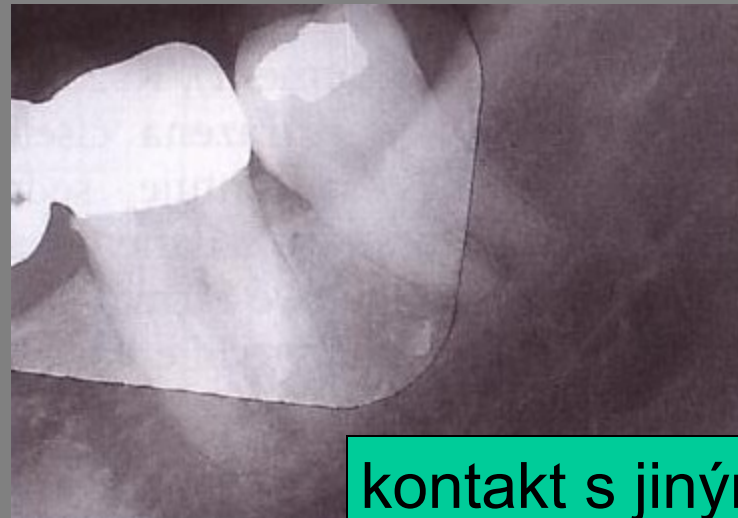


nehet

Artefakty - konvenční zpracování filmu



prst



kontakt s jiným filmem

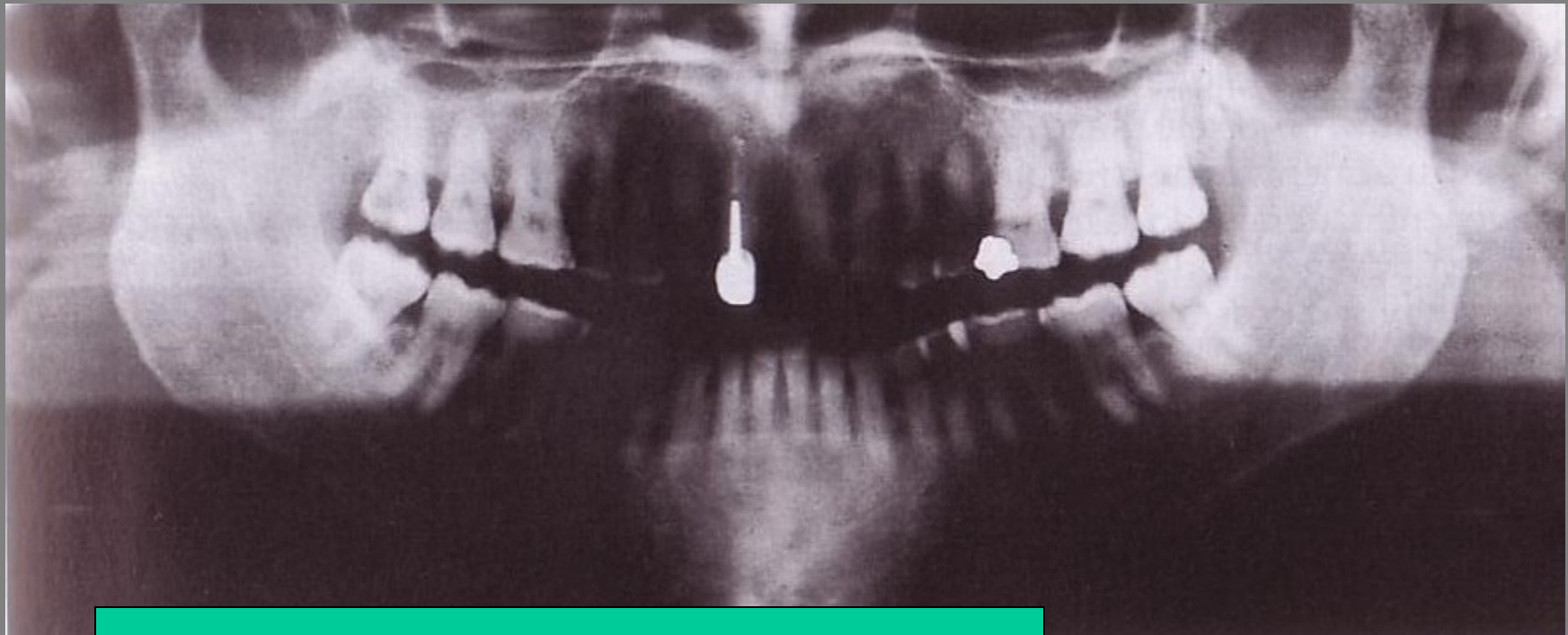


vysoká teplota při vyvolávání



rozlámání emulzní vrstvy

Artefakty - konvenční zpracování filmu



„prošlý“ kazetový film, tmavé závoje,
obraz je šedočerný, nízký kontrast

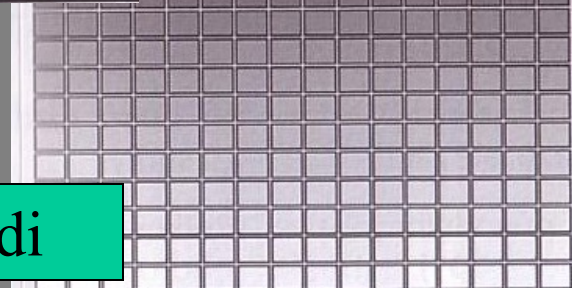
Digitální zobrazení - výhody

- bezfilmový provoz
- pohodlné prohlížení a zálohování snímků - **teleradiologie**
- opakované snímkování bez výměny nosiče či nutnosti použít nový film
- menší expozice záření ?

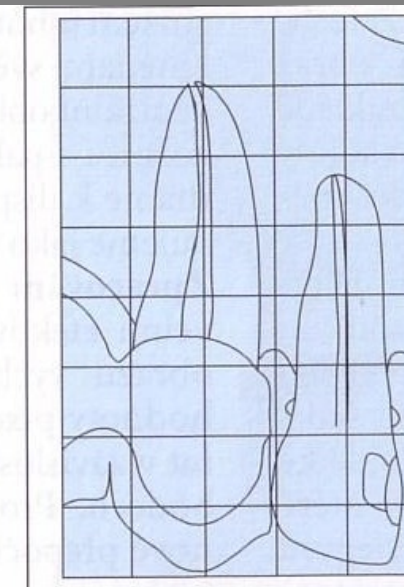
Digitální zobrazení



256 stupňů šedi

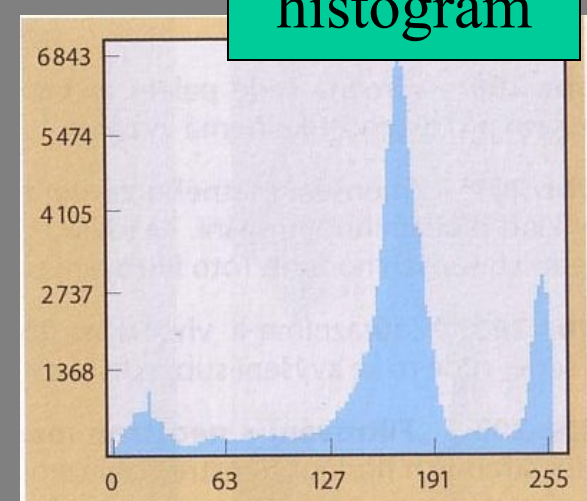


neexistence přechodových odstínů



5	5	5	5	4
4	4	4	5	5
4	5	5	5	4
3	4	5	5	5
7	5	4	5	3
7	7	7	5	7
2	5	6	5	0
0	0	0	0	0

histogram



Základní typy radiogramů

Periapikální snímek



Panoramatický
snímek



Bitewings –

rentgen přiléhajících zubních
korunek

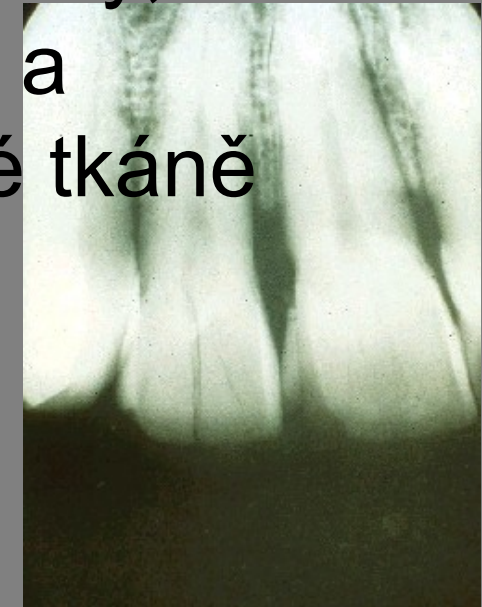


(Univ. Manitoba, 2005)

Intra-orální radiografie



- Film či detektor je exponovaný v ústech pacienta
- Zobrazení malé arey, tzn. několik zubů a přilehlé podpůrné tkáně

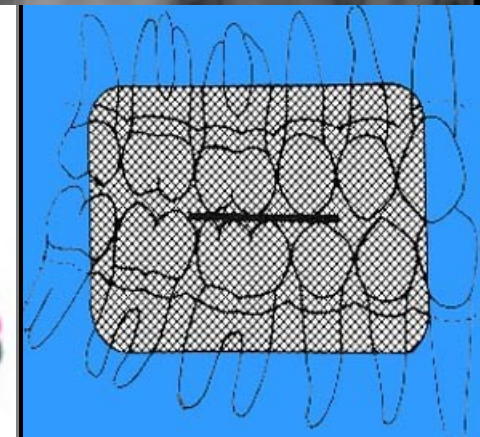
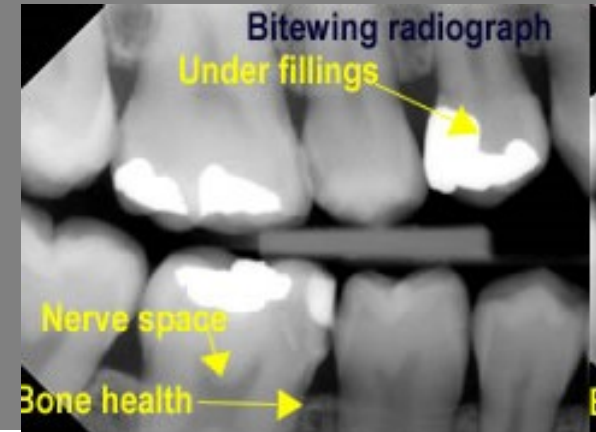


Bitewing

Zubní RTG znázorňující současně korunky horní i dolní čelisti.

Indikace, vyšetření:

- léze v oblasti okluzní linie
 - kazy
 - ztráty zubů
- hodnocení periodontálního stavu



Periapikální snímky:

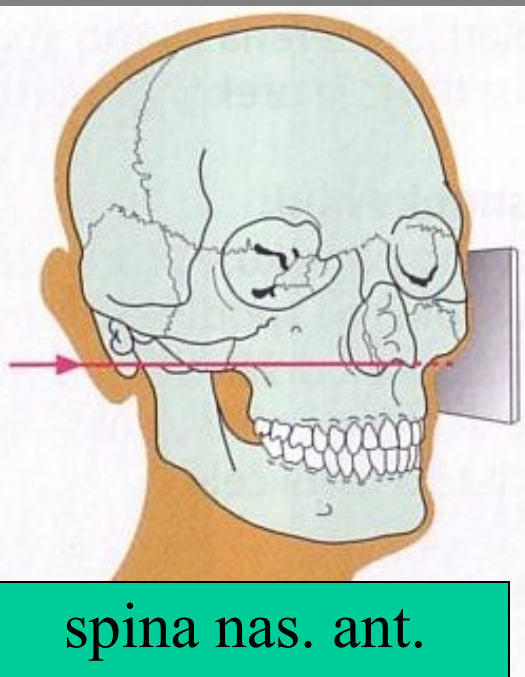
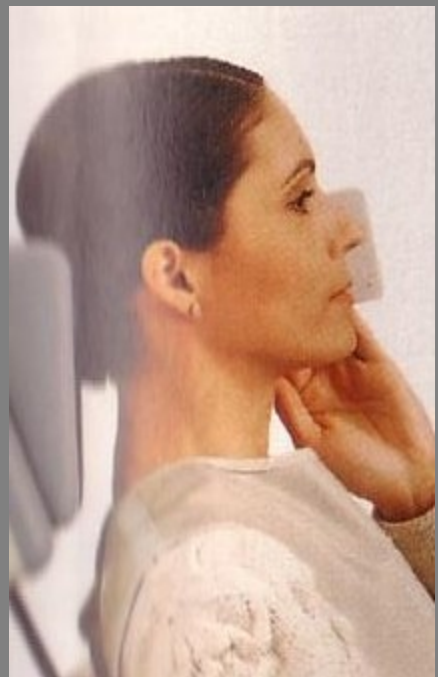
Indikace:

- apikální infekce, zánět
- trauma
 - zuba
 - přiléhlé kosti alveolu
- patol. radixu
- ortodoncie
 - diagnostika
 - plánování
 - léčba
 - sledování

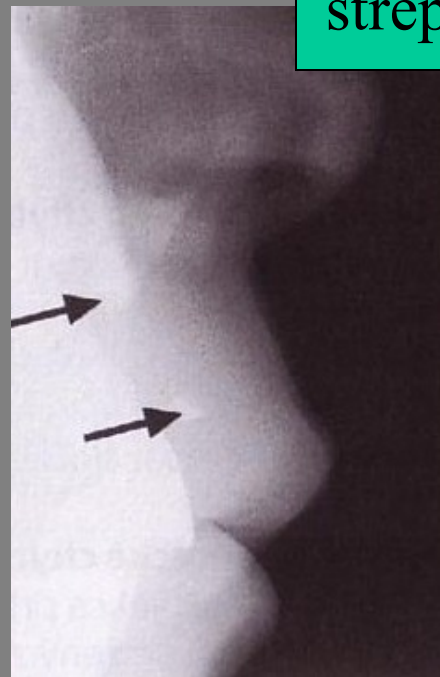


Extraorální snímky

Extraorální bočný snímek horního frontálního úseku



spina nas. ant.
kolmo na film

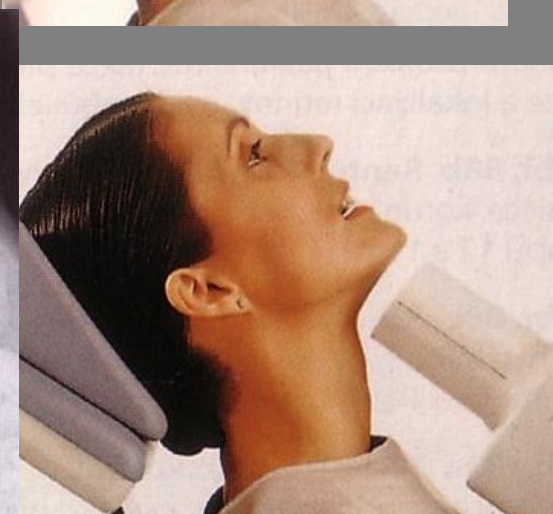
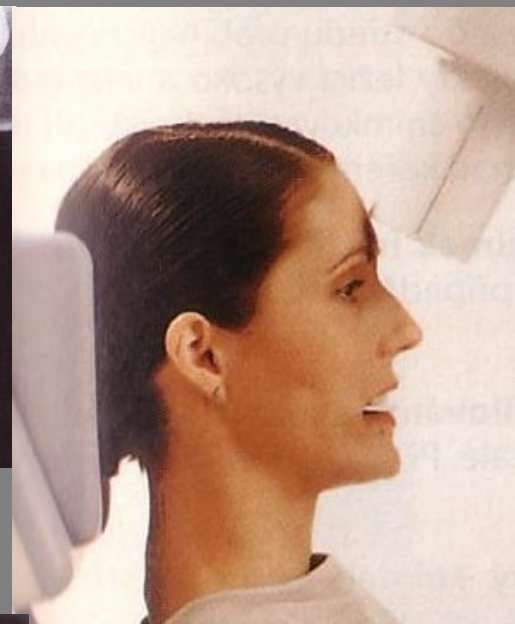
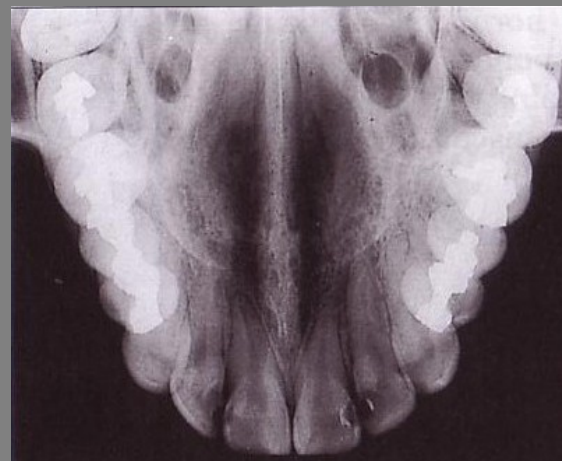


střepiny skla

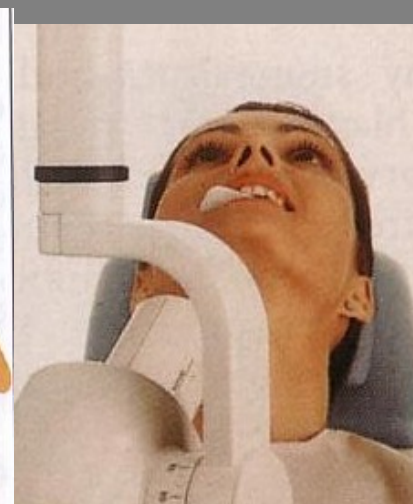
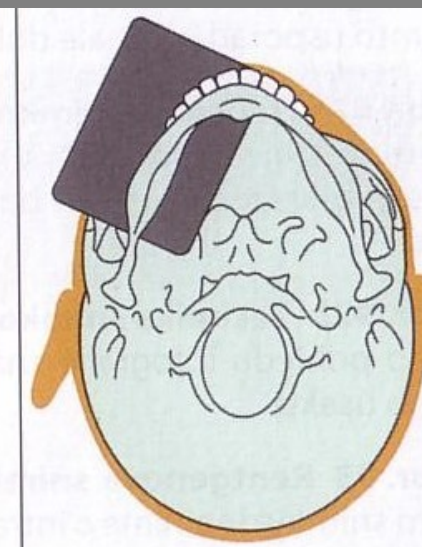
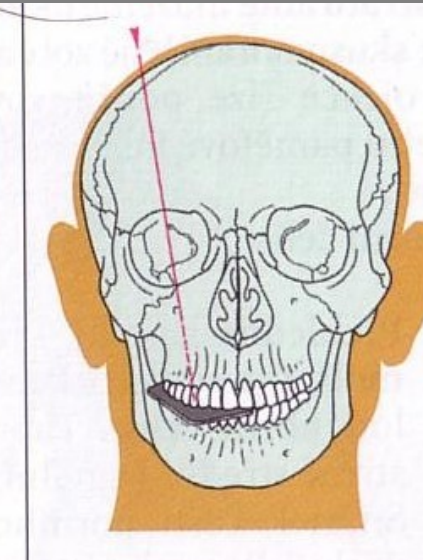
- zobrazení kůstek nosu při zranění obličeje
- cizích těles

I
n
t
r
a
o
r
á
l
n
í
s
n
í
m
k
y

Okluzní snímek horní a dolní čelisti

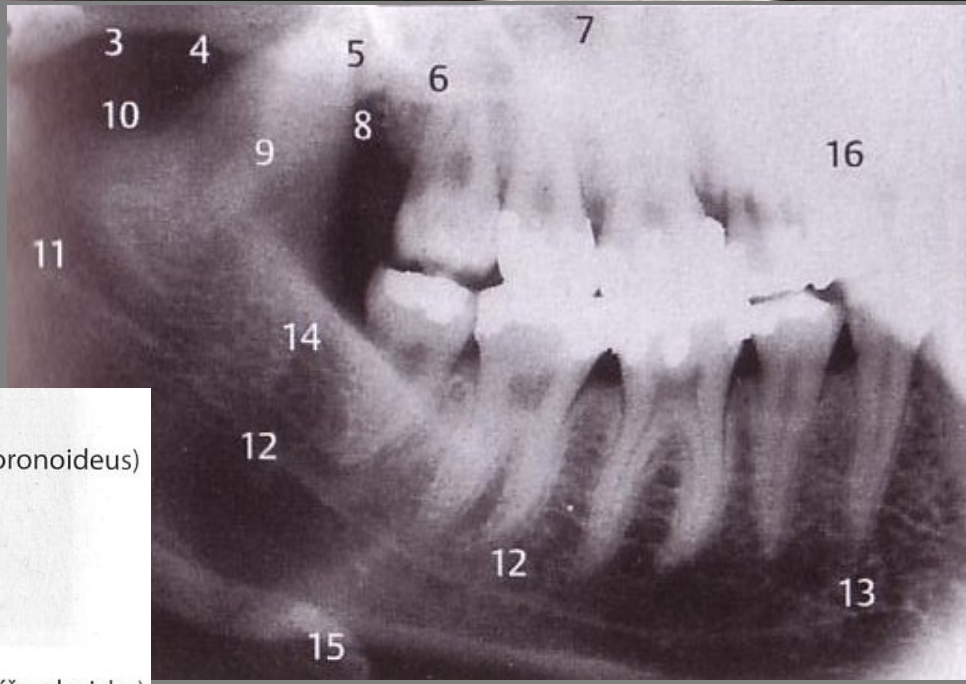
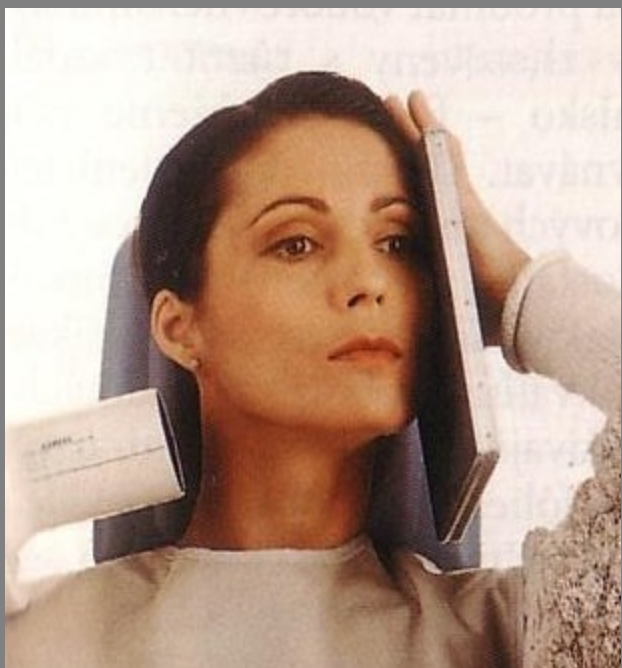


Poloprofilový snímek horní a dolní čelisti



I
n
t
r
a
o
r
á
l
n
í
s
n
í
m
k
y

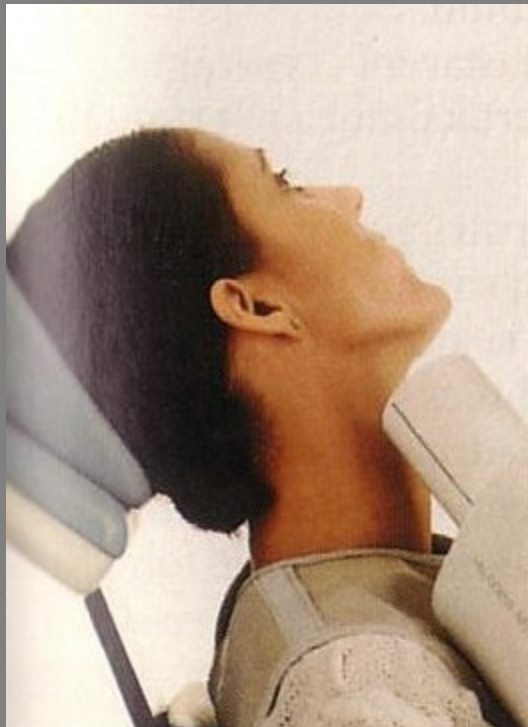
Dolní čelist – laterální projekce



- | | |
|---|---------------------------------------|
| 1 Kondylus | 9 Processus muscularis (coronoideus) |
| 2 Eminentia articularis | 10 Incisura semilunaris |
| 3 Arcus zygomaticus | 11 Lingula |
| 4 Sutura zygomaticoalveolaris | 12 Canalis mandibulae |
| 5 Processus pterygoideus ossis sphenoidalis | 13 Foramen mentale |
| 6 Os zygomaticum | 14 Crista temporalis |
| 7 Sinus maxillaris | 15 Os hyoideum |
| 8 Tuber maxillae | 16 Angulus mandibulae (blíže ohnisku) |

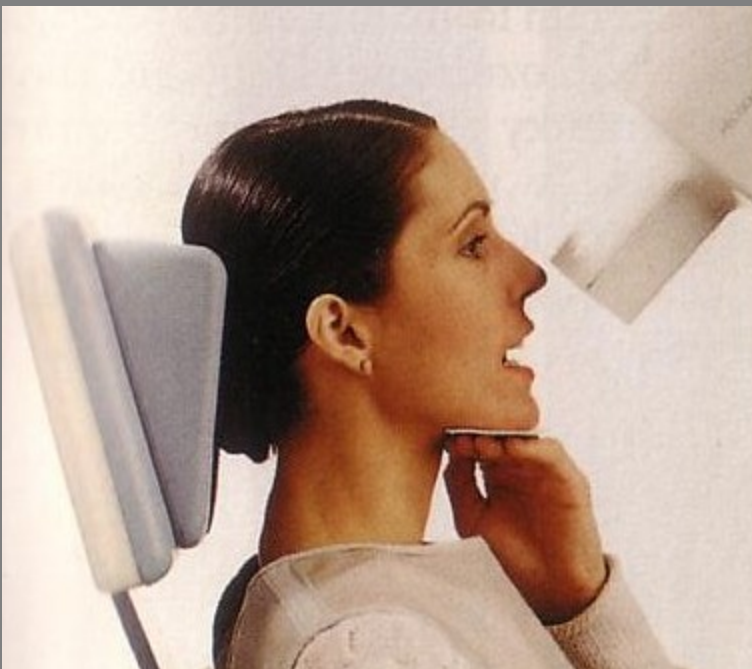
E
x
t
r
a
o
r
á
l
n
í
s
n
í
m
k
y

Dolní zub moudrosti



- hlava skloněná na zdravou stranu, zakloněná
- paprsek prochází zubem moudrosti směrem nahoru a dopředu a dopadá na film, který je na tváři odvrácené strany

Snímkování brady



- horizontálně uložený film
- zobrazení brady bez zubů

Extraorální snímky

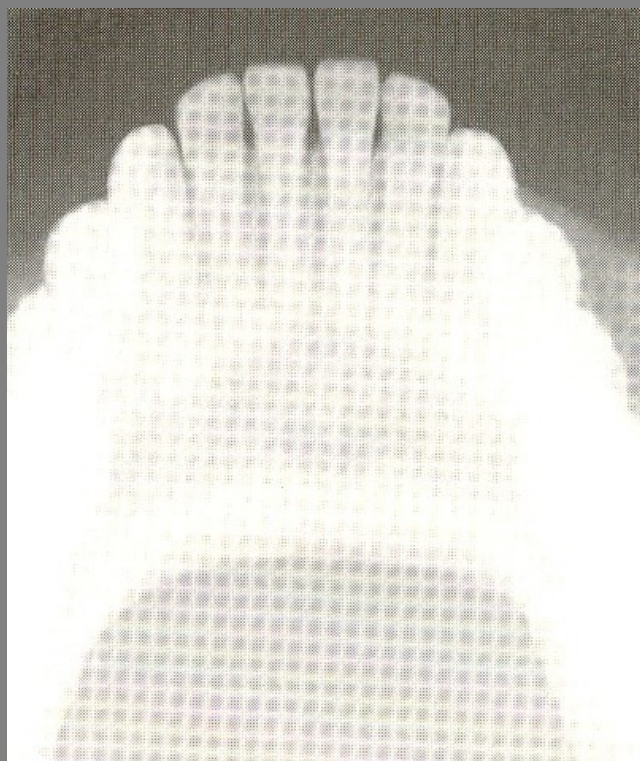
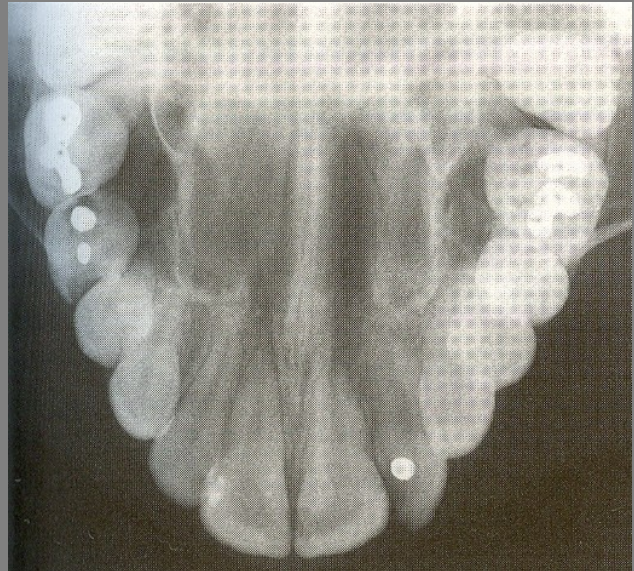
Okluzní snímky:

Snímky oblouku maxily/mandibuly

včetně zubů, periodontál. ligament,
alveolální a přilehlé kosti

Indikace:

- vývoj zubů – monitoring
- nadpočetné zuby
- zaklíněné zuby
- patologie špatně zobrazitelná na
intraorálních snímcích
- kontury bukální a linguální části skeletu
patra
- nelze-li provést intraorální snímek
 - limitace otevření úst
 - nespolupracující pacienti (děti)



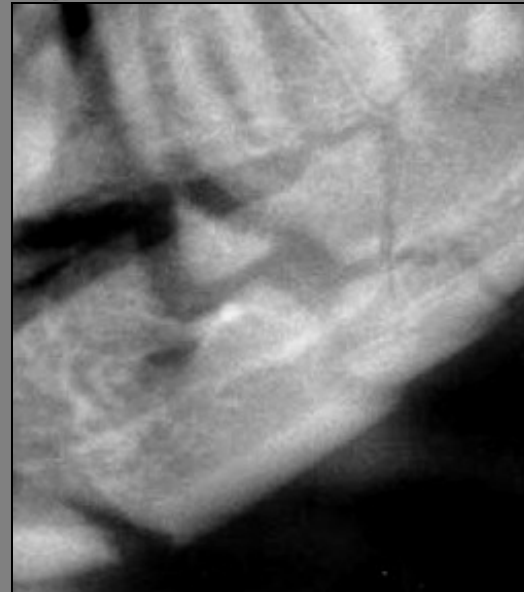
Ortopantomografie - OPG

- umožňuje na jednom RTG snímku plné znázornění:
- čelistí
- zubů
- kloubů
- aleveolárních recesů čelistních dutin



OPG - indikace

- Hodnotí se:
 - zuby moudrosti
 - TMJ
 - maxilární sinus
 - fraktury a jiné patologie skeletu čelistí
 - ortodoncie



Ortopantomografie - OPG

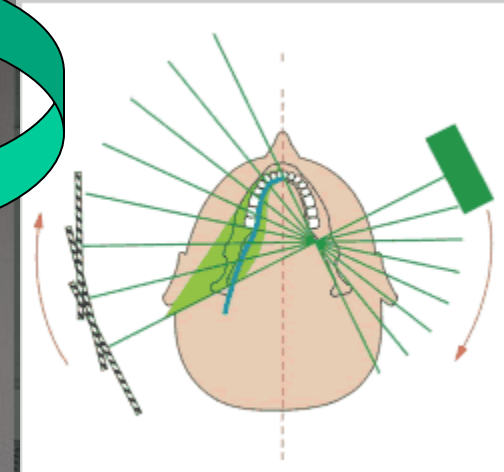
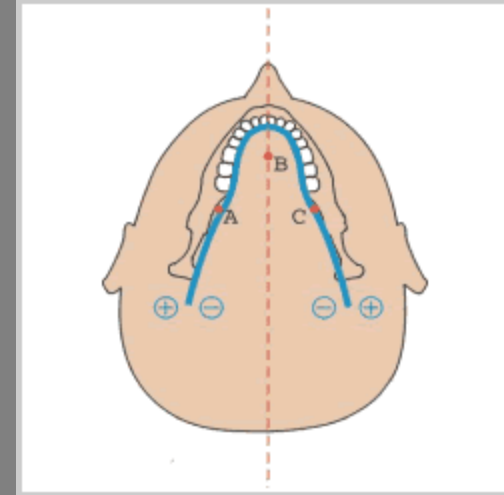
- komfort
- není nadměrné ozáření
- lepší než tradiční intraorální rtg status (dg. série snímků)



OPG - princip

O
r
t
o
p
a
n
t
o
m
o
g
r
a
f
i
e

- Rentgenka rotuje při expozici kolem hlavy pacienta po takové dráze, aby se vrstva zobrazení promítala do tvaru ideálního zubního oblouku. V těsné blízkosti zubního oblouku se nacházejí tři rotační centra.
- Bodem A a C procházejí rentgenové paprsky při zobrazení laterálních úseků čelistí, bodem B při zobrazení frontálního úseku čelisti.
- Vše je naprogramováno tak, aby se při správném nastavení hlavy pacienta a zvolení odpovídajícího tvaru čelisti (dětská, dospělá, úzká, široká) vrstva zobrazení kryla s rovinou proloženou zubními oblouky. Rentgenový obraz na snímku se jeví jako ostrý



OPG – důležité faktory

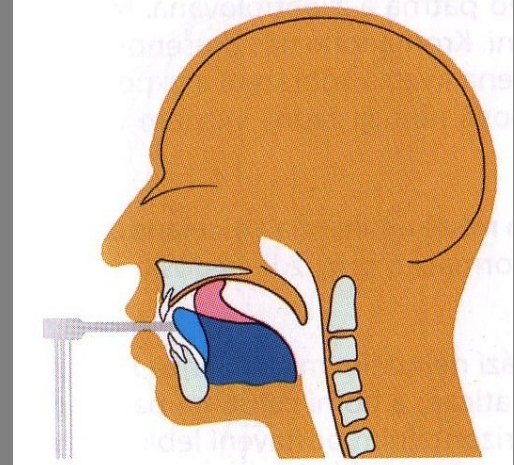
- **tloušťka vrstvy**
 - od 9 mm frontálně, do 20 mm TMJ
- možnost měření rozměrů
- užší vrstva = méně artefaktů, vyšší rtg dávka

Standardní snímek v normopozici

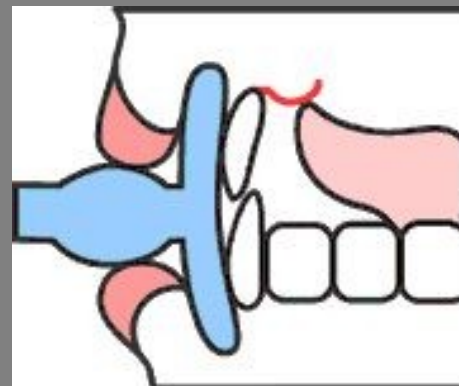
- vysvětlí se pacientovi jak vyšetření bude probíhat
- odstaní se vše kovové (náušnice, ..., snímatelné ortodontické aparáty, piercing)
- správné držení těla s volně spuštěnými rameny
- ochranný límec
- umístění pacienta s nataženým krkem do přístroje

Burn-out effect

- chybná poloha jazyka
 - rtg záření není oslabeno
- = „přeexpozice“ struktur



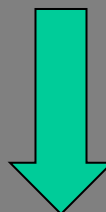
jazyk jako filtr



Burn-out effect

- **negativní kontrast vzduchu potlačí:**

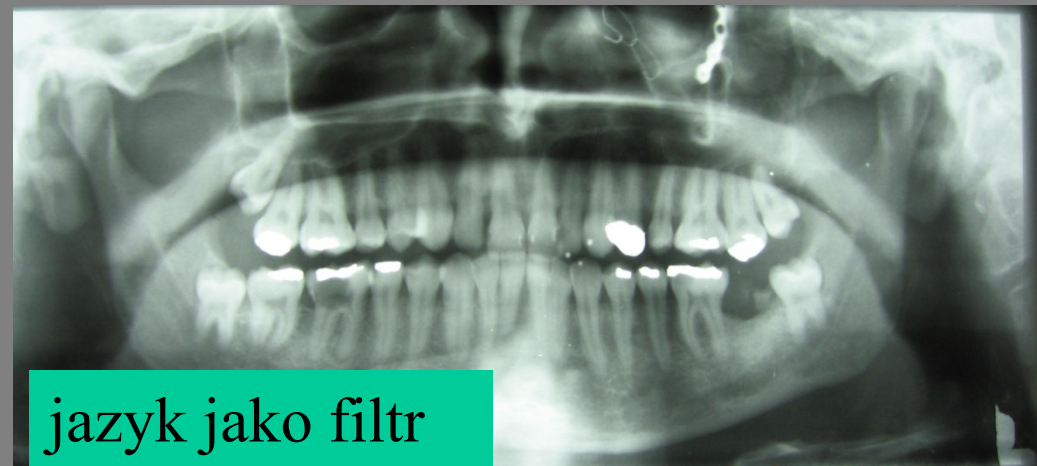
- kořeny zubů maxily
- struktury maxily
- hranice nosní dutiny a čelistních dutin



nelze hodnotit



„přesvícený snímek“



jazyk jako filtr

Dýchání

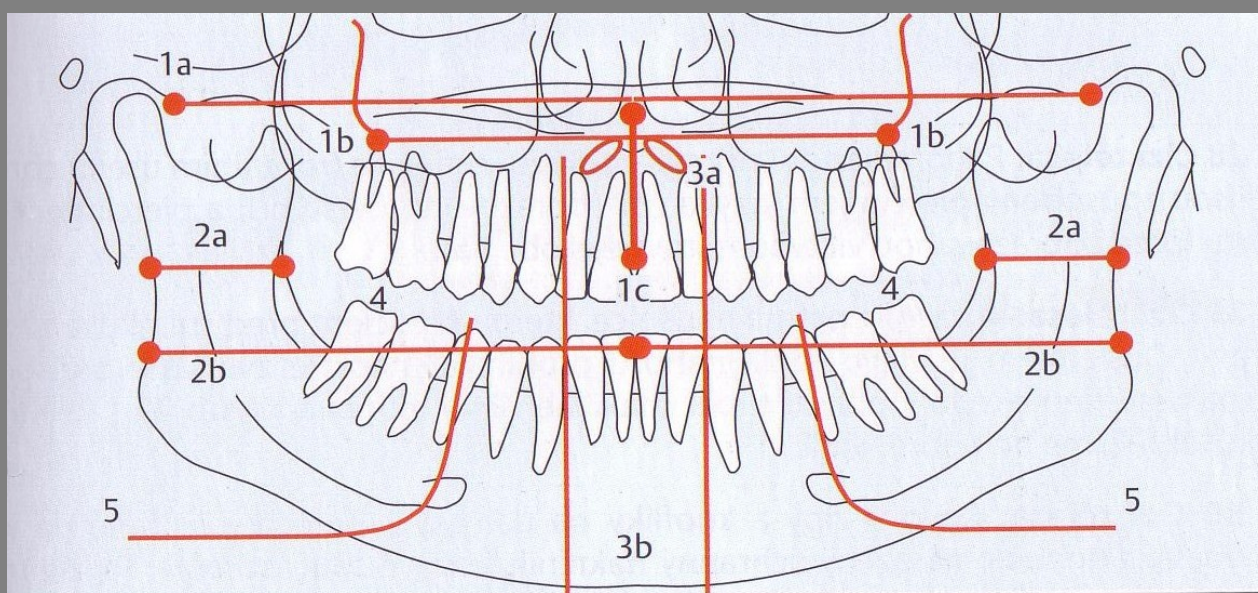
„nehýbejte se a během vyšetření klidně dýchejte“

- hluboký nádech a zadržení dechu
 - epifarynx naplněný vzduchem
 - špatná expozice laterálních částí snímku



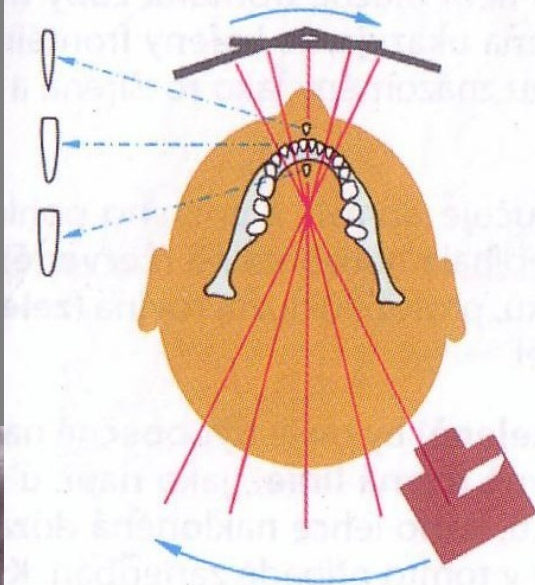
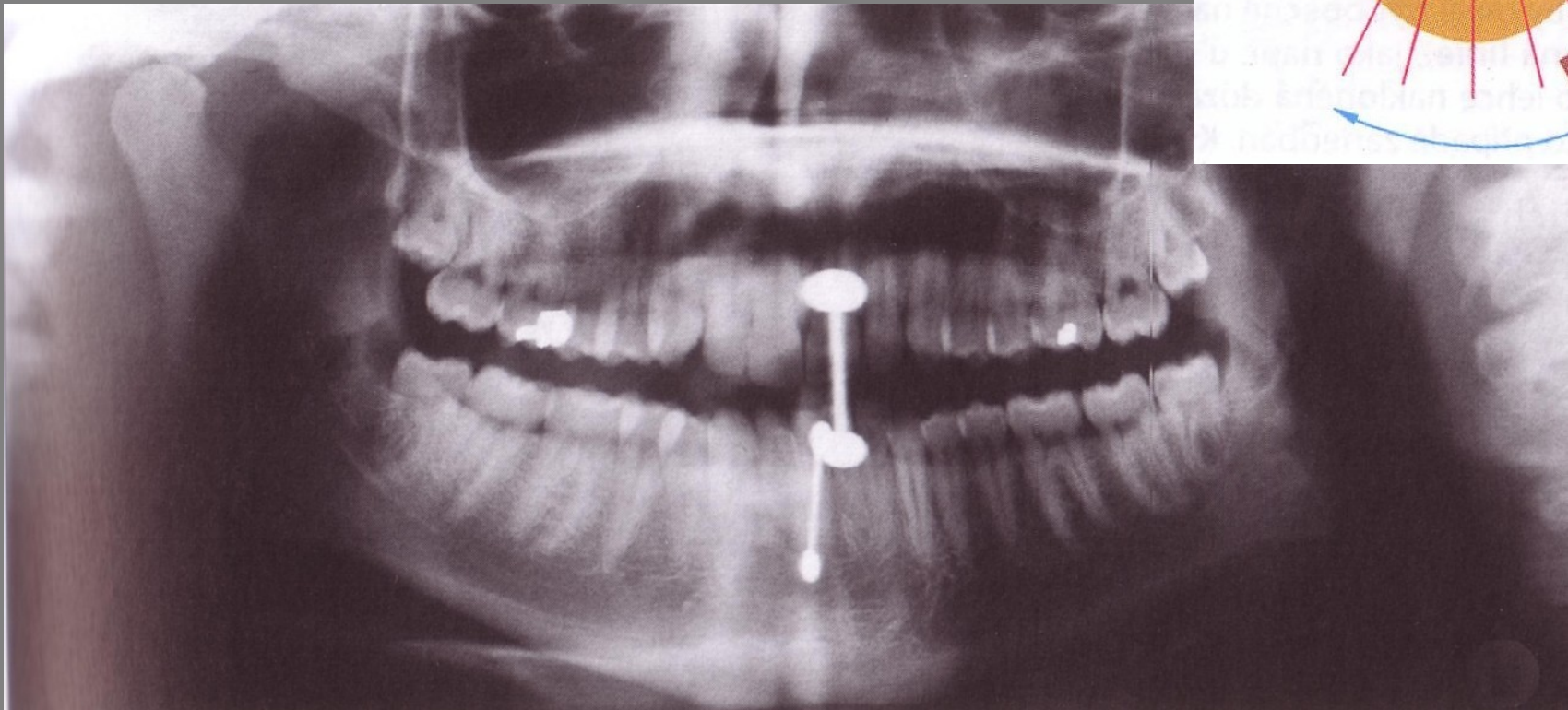
Asymetrie snímku

O
r
t
o
p
a
n
t
o
m
o
g
r
a
f
i
e



Zobrazovaná vrstva

piercing na jazyku



rtu

OPG - chyby

- Dojde-li ke sklonění hlavy dolů, kořeny dolních řezáků se vychýlí z roviny zobrazení a na snímku jsou zobrazeny neostře.



OPG - chyby

- Při záklonu hlavy se kořeny horních frontálních zubů se vychýlí z roviny zobrazení a na snímku jsou zobrazeny neostře.



OPG - chyby

- Je-li hlava příliš blízko u rentgenového filmu, zuby se v obou čelistech jeví menší a nejsou zobrazeny ostře. Kromě toho se těla krčních obratlů mohou projikovat do větví mandibuly.



OPG - chyby

- Umístí-li se hlava dále od filmu, horní i dolní zuby jsou zobrazeny neostře a jeví se větší. Často nejsou na snímku patrné kloubní výběžky dolní čelisti.

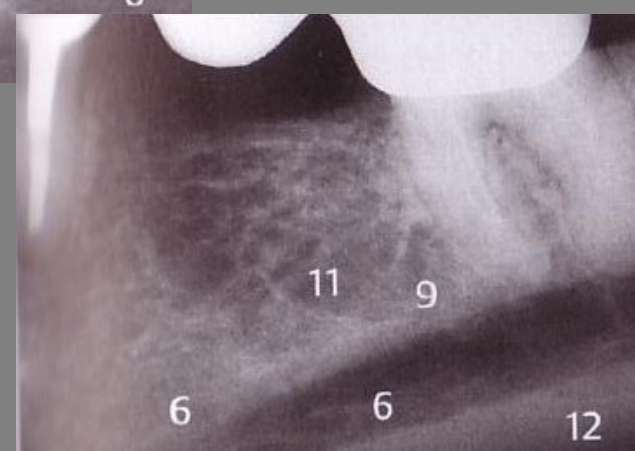
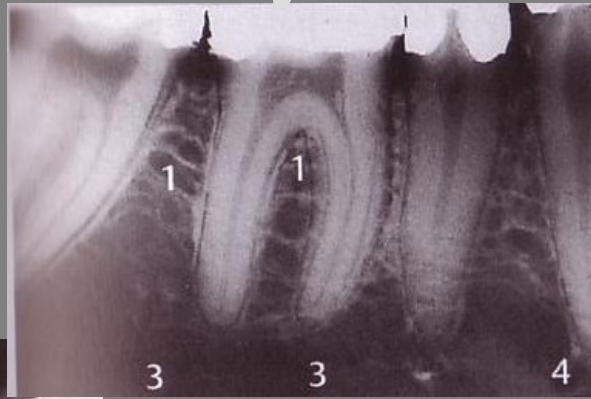


OPG - chyby

- asymetrické postavení hlavy
- chybné umístění střední sagitální roviny
 - v rovině frontální
 - v rovině transverzální

Premoláry a moláry

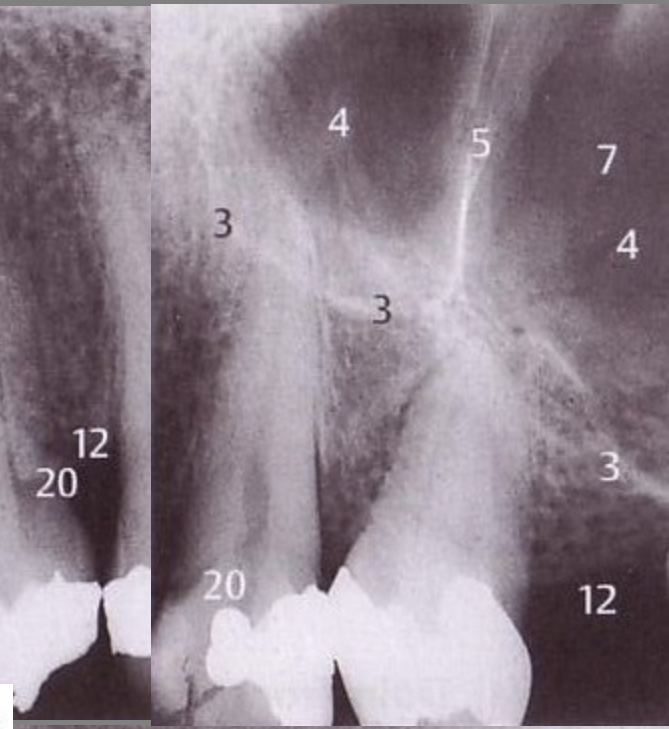
A
n
a
t
o
m
i
e



- 1 Typická trámčitá struktura alveolárního výběžku dolní čelisti
- 2 Projasnění – subtrakční efekt fovea submandibularis
- 3 Typická trámčina corpus mandibulae
- 4 Foramen mentale
- 5 Taurodontismus
- 6 Canalis mandibulae
- 7 Linea obliqua interna (pokračování crista temporalis ramus mandibulae)
- 8 Linea obliqua externa (margo anterior ramus mandibulae)
- 9 Linea mylohyoidea
- 10 Trigonum retromolare (crus mediale a crus laterale)
- 11 Ohraničená struktura kosti po extrakci
- 12 Bazální kompakta dolní čelisti
- 13 Aproximální nánosy zubního kamene

Moláry, premoláry, oblast tuberu

Anatomie

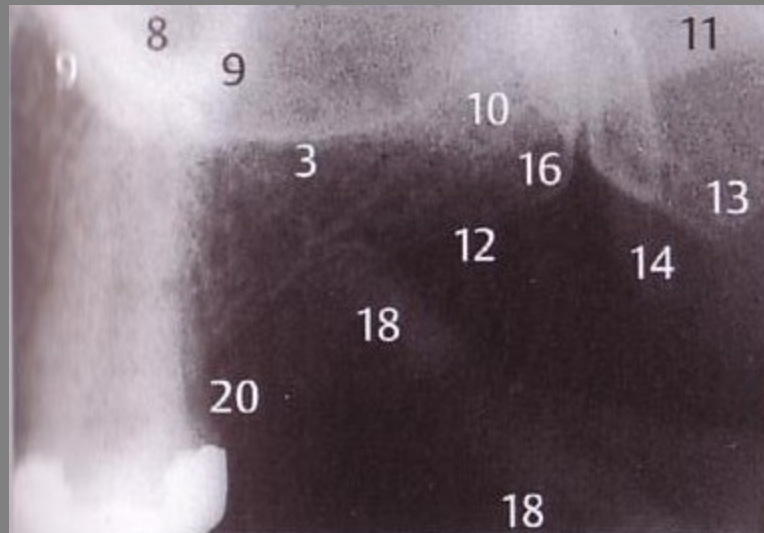
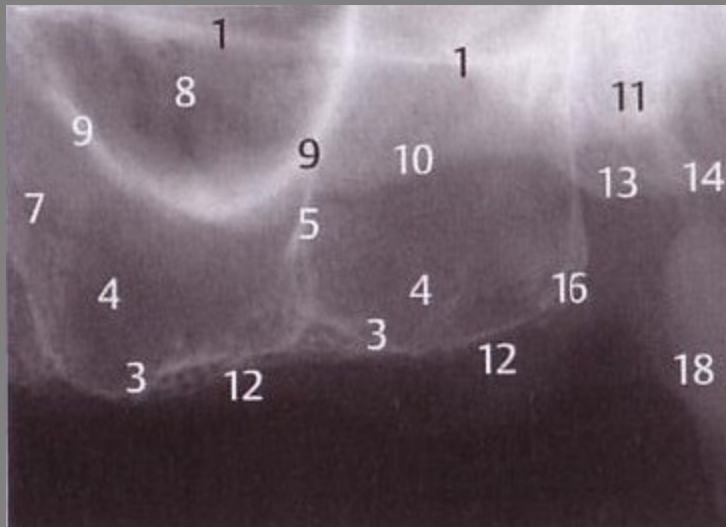


- 1 Laterobazální ohraničení nosní dutiny
- 2 Spodina nosní dutiny
- 3 Laterobazální ohraničení čelistní dutiny
- 4 Spodina (dno) čelistní dutiny
- 5 Septum sinuum
- 6 Anteriorní výběžek čelistní dutiny
- 7 Alveolární výběžek čelistní dutiny
- 8 Recessus zygomaticus čelistní dutiny
- 9 Processus zygomaticus čelistní dutiny
- 10 Corpus ossis zygomatici
- 11 Arcus zygomaticus
- 12 Alveolární hřeben

- 13 Lamina lateralis processus pterygoideus
- 14 Hamulus laminae medialis processus pterygoideus
- 15 Processus pyramidalis ossis palatini
- 16 Tuber maxillae
- 17 Sutura zygomaticomaxillaris
- 18 Processus coronoideus (muscularis)
- 19 Hroty kořenů 1. horního premoláru, delší kořen je palatinální
- 20 „Burn-out effect“
- 21 Sekundární kaz

Moláry, premoláry, oblast tuberu

Anatomie



- 1 Laterobazální ohraničení nosní dutiny
- 2 Spodina nosní dutiny
- 3 Laterobazální ohraničení čelistní dutiny
- 4 Spodina (dno) čelistní dutiny
- 5 Septum sinuum
- 6 Anteriorní výběžek čelistní dutiny
- 7 Alveolární výběžek čelistní dutiny
- 8 Recessus zygomaticus čelistní dutiny
- 9 Processus zygomaticus čelistní dutiny
- 10 Corpus ossis zygomatici
- 11 Arcus zygomaticus
- 12 Alveolární hřeben

- 13 Lamina lateralis processus pterygoideus
- 14 Hamulus laminae medialis processus pterygoideus
- 15 Processus pyramidalis ossis palatini
- 16 Tuber maxillae
- 17 Sutura zygomaticomaxillaris
- 18 Processus coronoideus (muscularis)
- 19 Hroty kořenů 1. horního premoláru, delší kořen je palatinální
- 20 „Burn-out effect“
- 21 Sekundární kaz

Patologie

Zubní kámen



zubní kámen z mineralizovaného
zubního plaku + generaliz. ztráta kosti
při onem. parodontu



- vznik v oblasti ústí vývodů velkých slinných žláz
- kalcium fosfát
 - rtg kontrastní

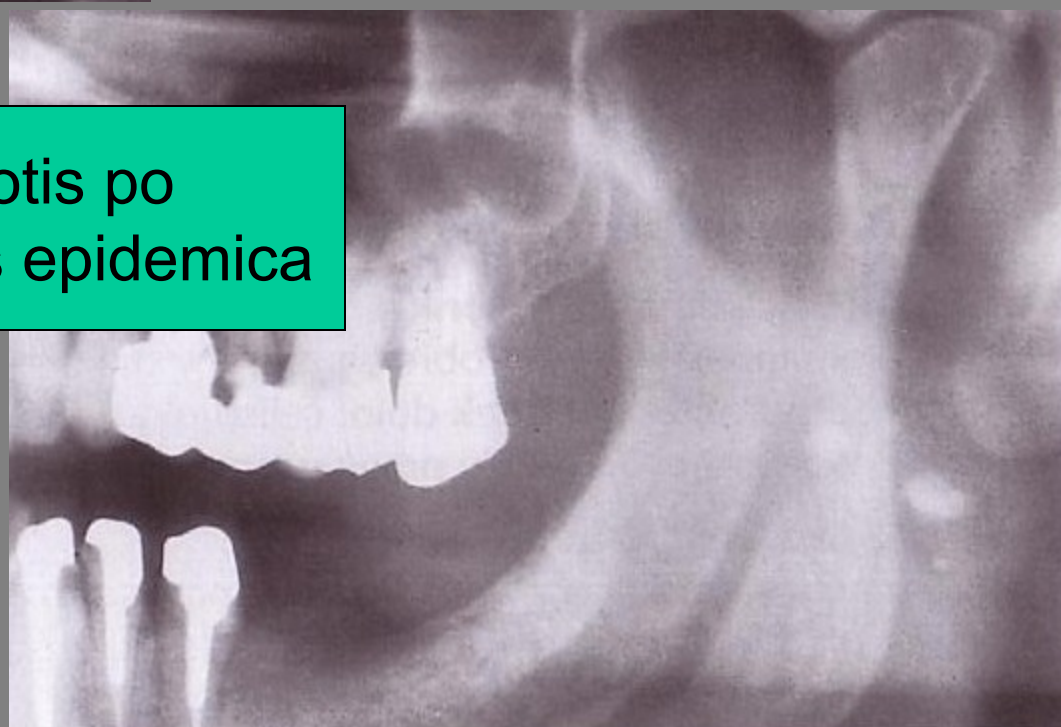
parodontitis marg. profunda
sublingvální zubní kámen

Konkrementy

zvápenatělé cervik. uzliny

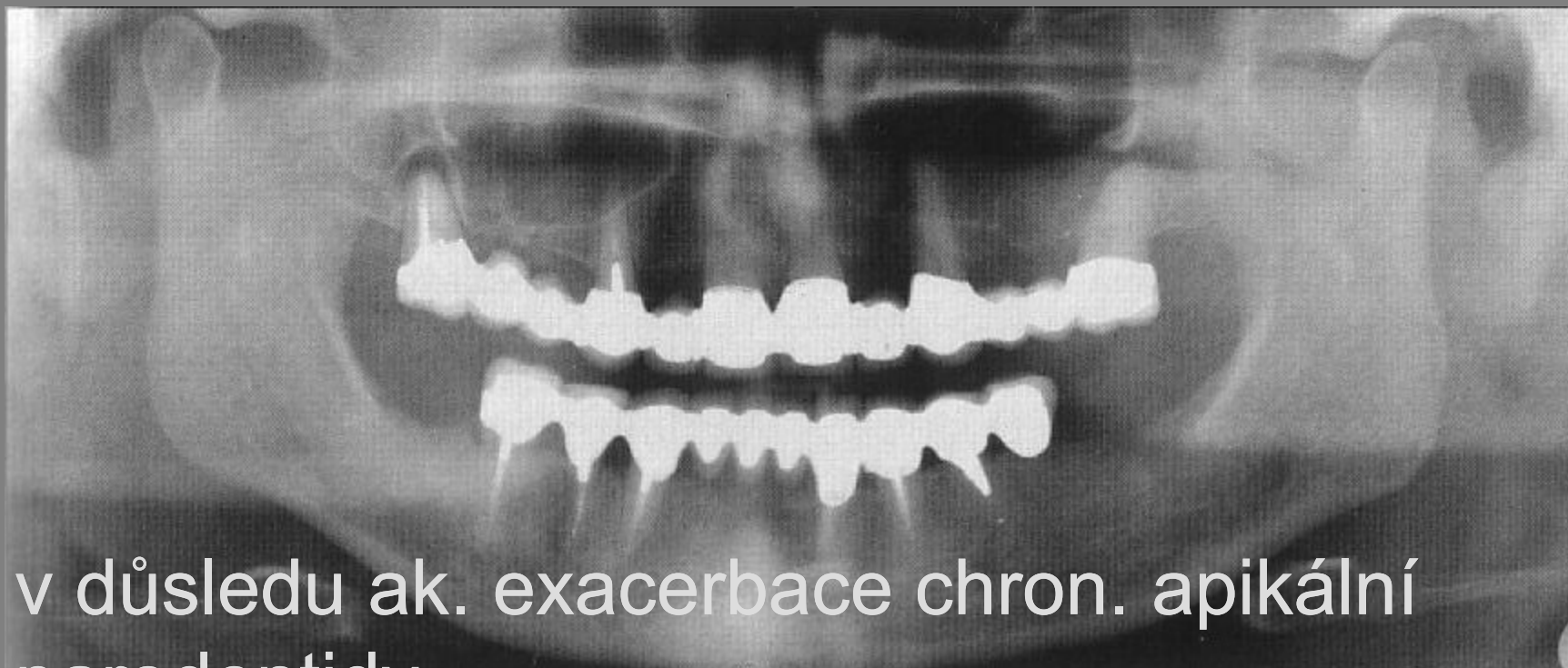
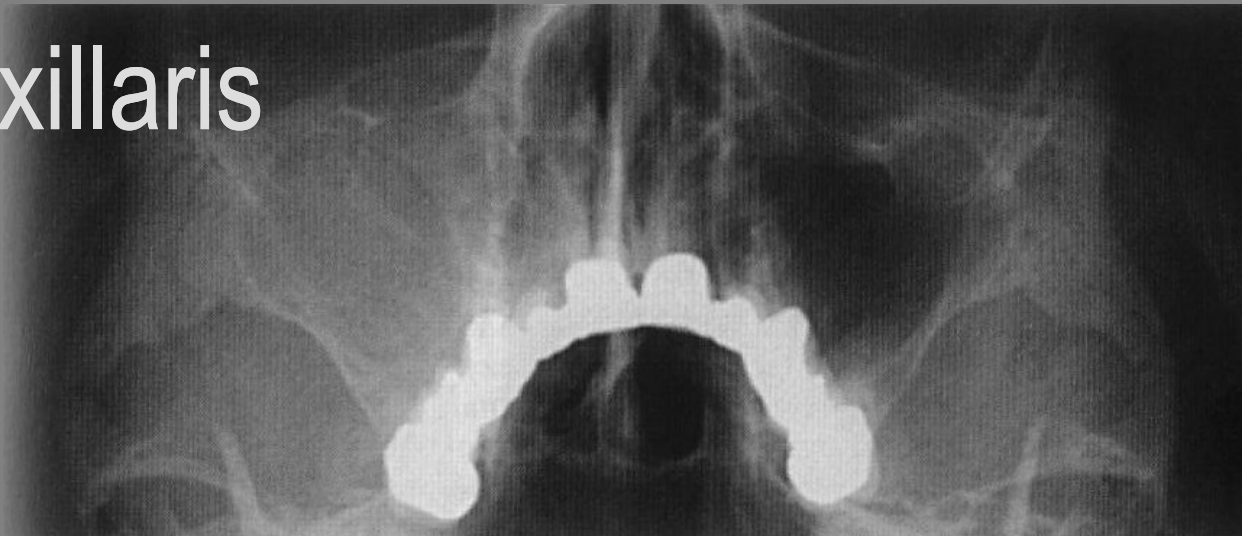


kalcifikace v laloku gl. parotis po
proběhlé juvenilní parotitis epidemica



Sinusitis maxillaris

žena, 57 let



- v důsledku ak. exacerbace chron. apikální parodontidy

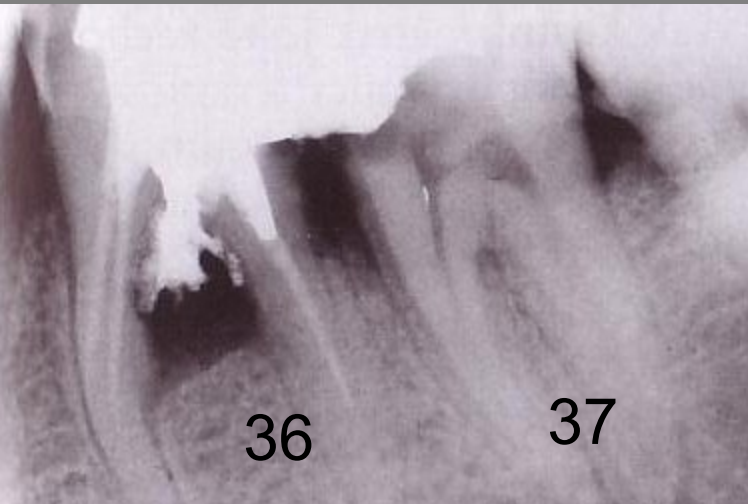
Sinusitis maxillaris

- žena, 17 let
- akutní katarální



Marginální parodontopatie

úbytek kosti mezi 35,37
v důsledku převisu amalgám. plomby
kazy 34,37,38



meziálně chobot
potraumaticky
centrální granulom

přebytek kořenové výplně
poškození desmodontu a mez. kořene zuba
příčina: via falsa při ošetření
= interradikulární ztráta kosti

Marginální parodontopatie

traumatická okluze

příčina: trojčlenná fixní zubní náhrada (kv.3)

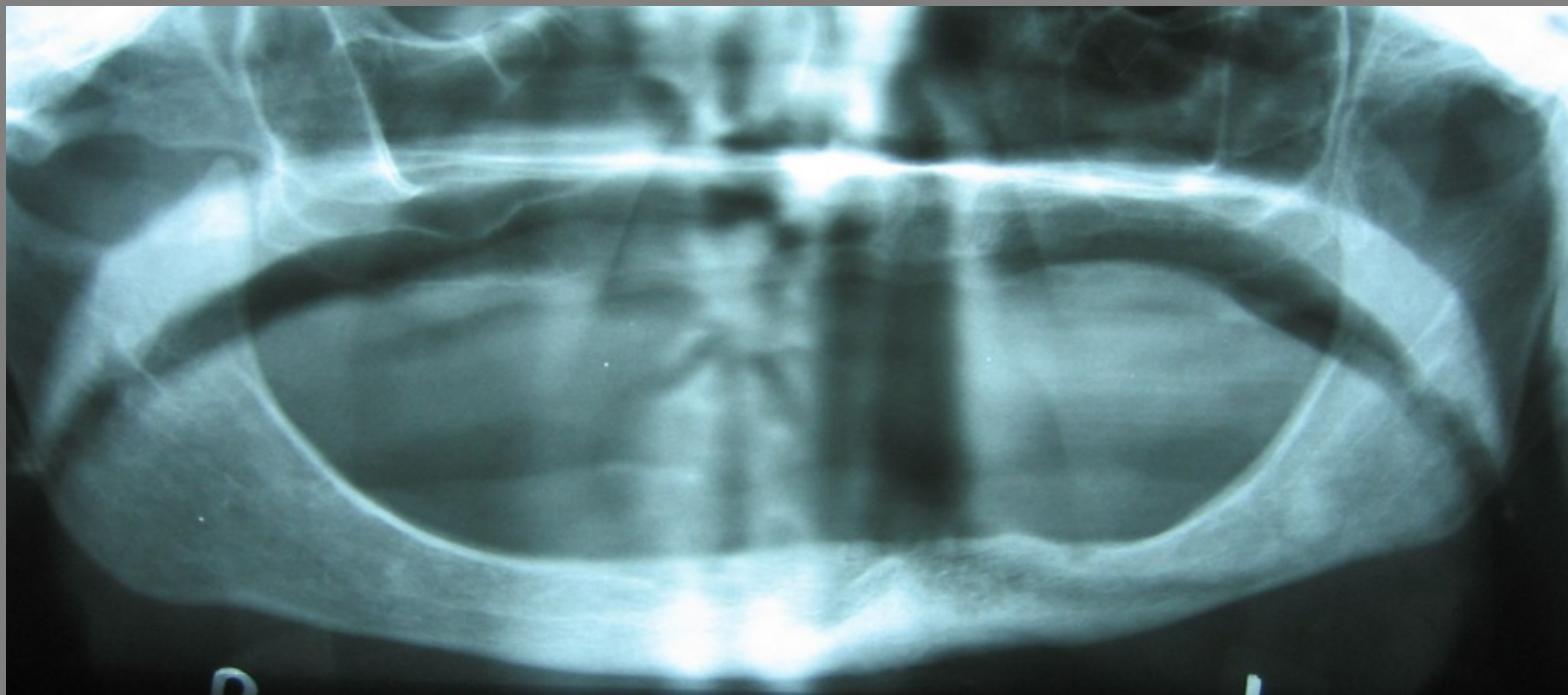
masívní úbytek kosti

sklerotizované reaktívny zóny apikálně 36, 37



Marginální parodontopatie

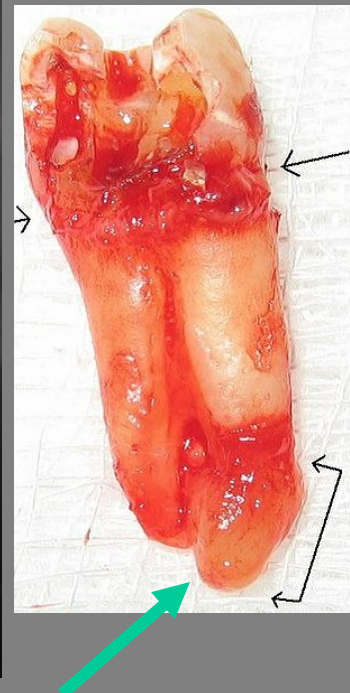
regrese alv. výběžků a těla mandibuly
stáří



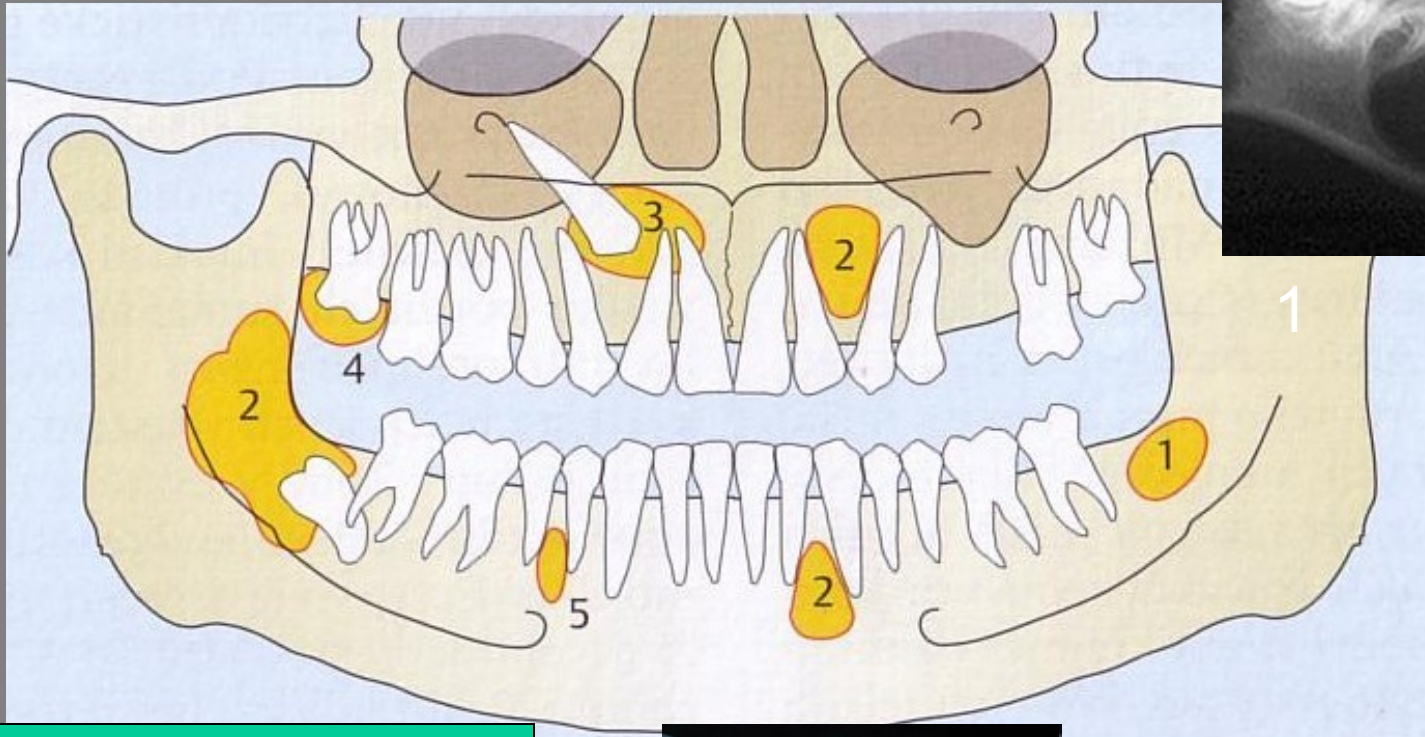
dříve „atrofie alveolárního hřebene“

Periapikální absces

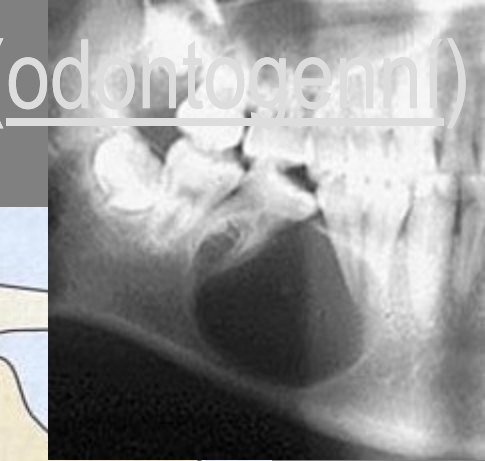
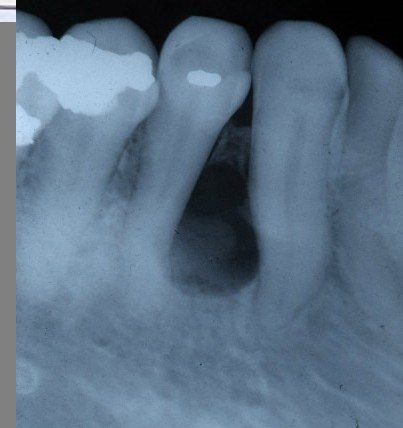
- následek chronické, lokalizované infekce
- v oblasti apexu nebo kořene



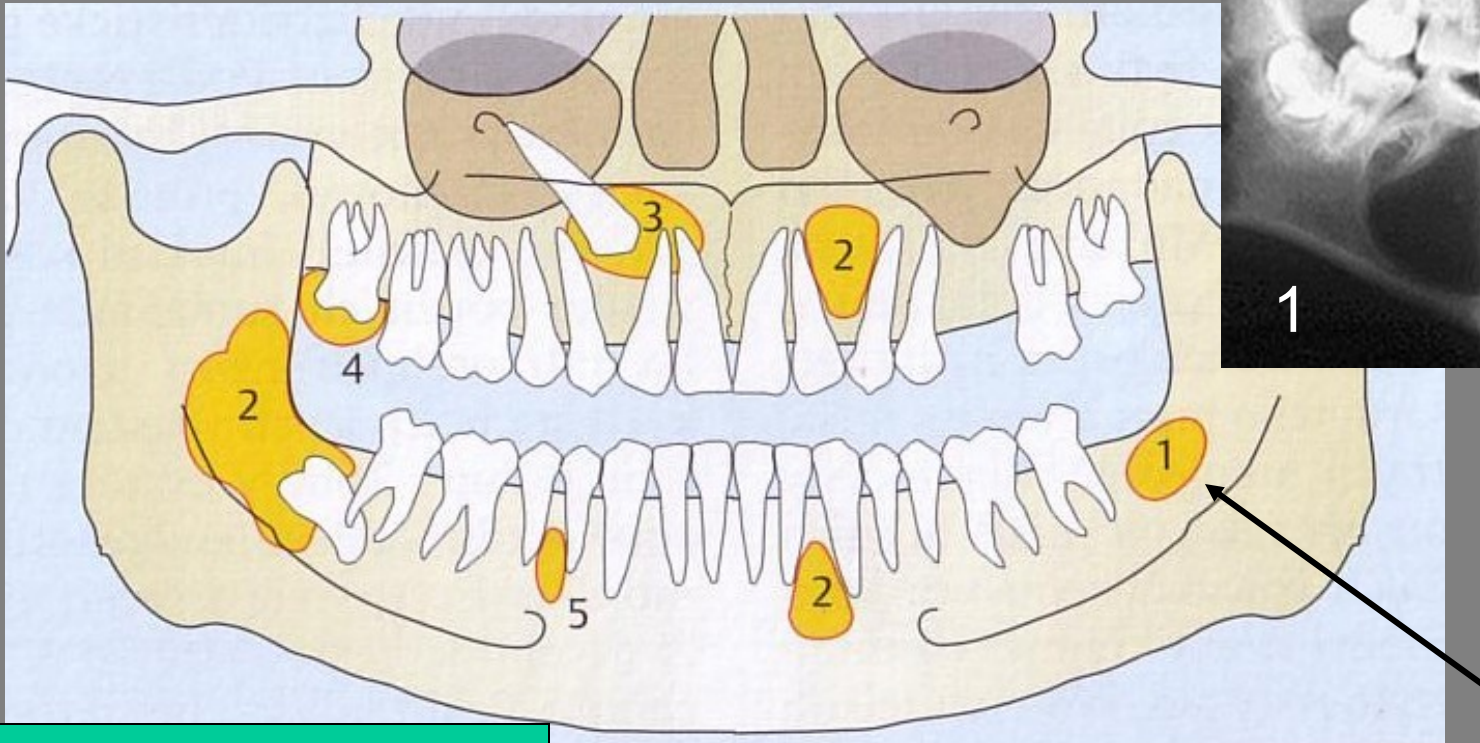
Cysty – vývojově podmíněné (odontogenní)



- 1. primordiální c.
- 2. keratocysta
- 3. folikulární c.
- 4. laterální parodontální c.



Cysty – vývojově podmíněné (odontogenní)

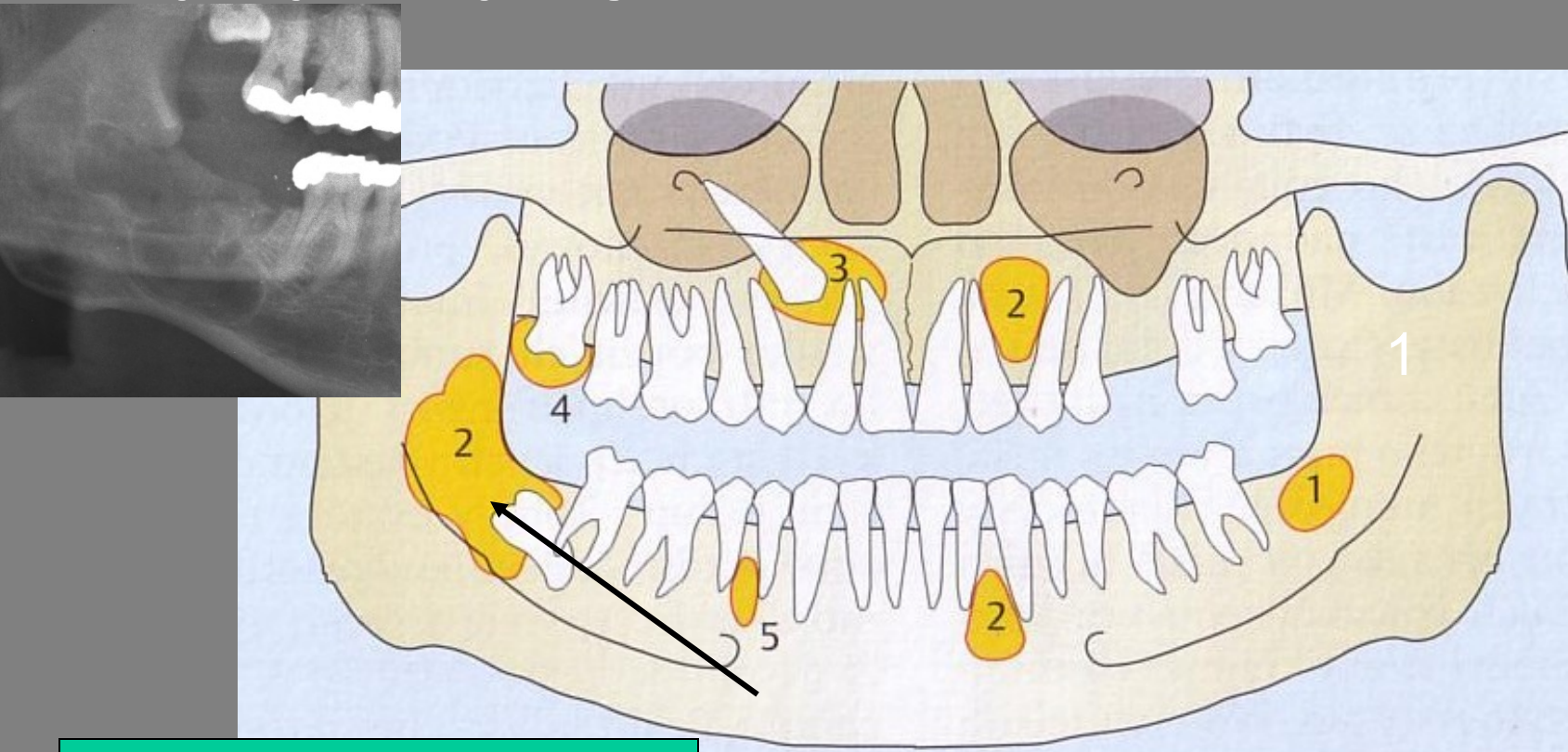


1. primordiální c.
2. keratocysta
3. folikulární c.
4. laterální parodontální c.

Primordiální cysta

- vývojová odontogenní cysta
- v oblasti, kde by se měl vyvíjet zub, ale chybí zde
- nejčastěji v místě molárů mandibuly

Cysty – vývojově podmíněné (odontogenní)

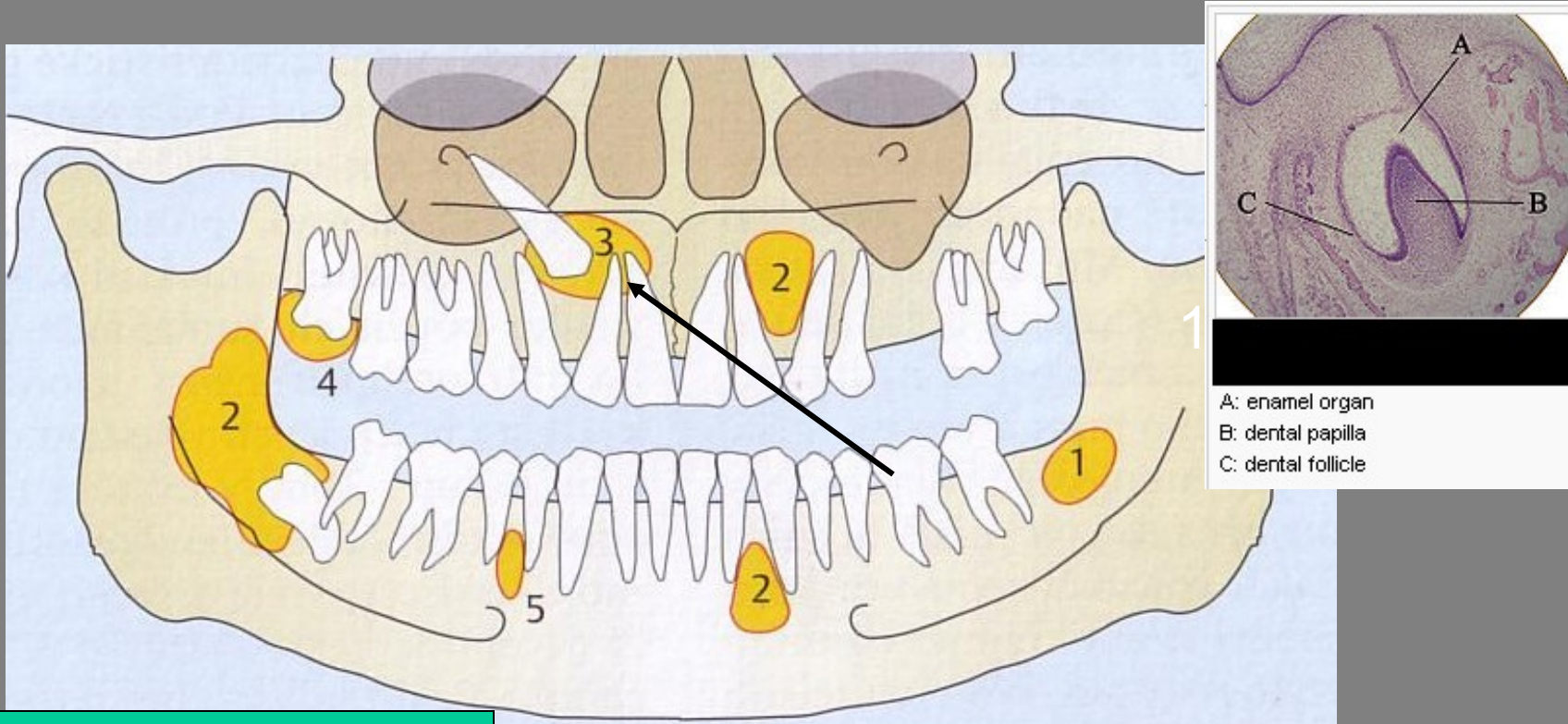


1. primordiální c.
2. keratocysta
3. folikulární c.
4. laterální parodontální c.

Keratocysta

-benigní, ale lokálně agresívní vývojová cysta
- nejčastěji dorzální porci mandibuly

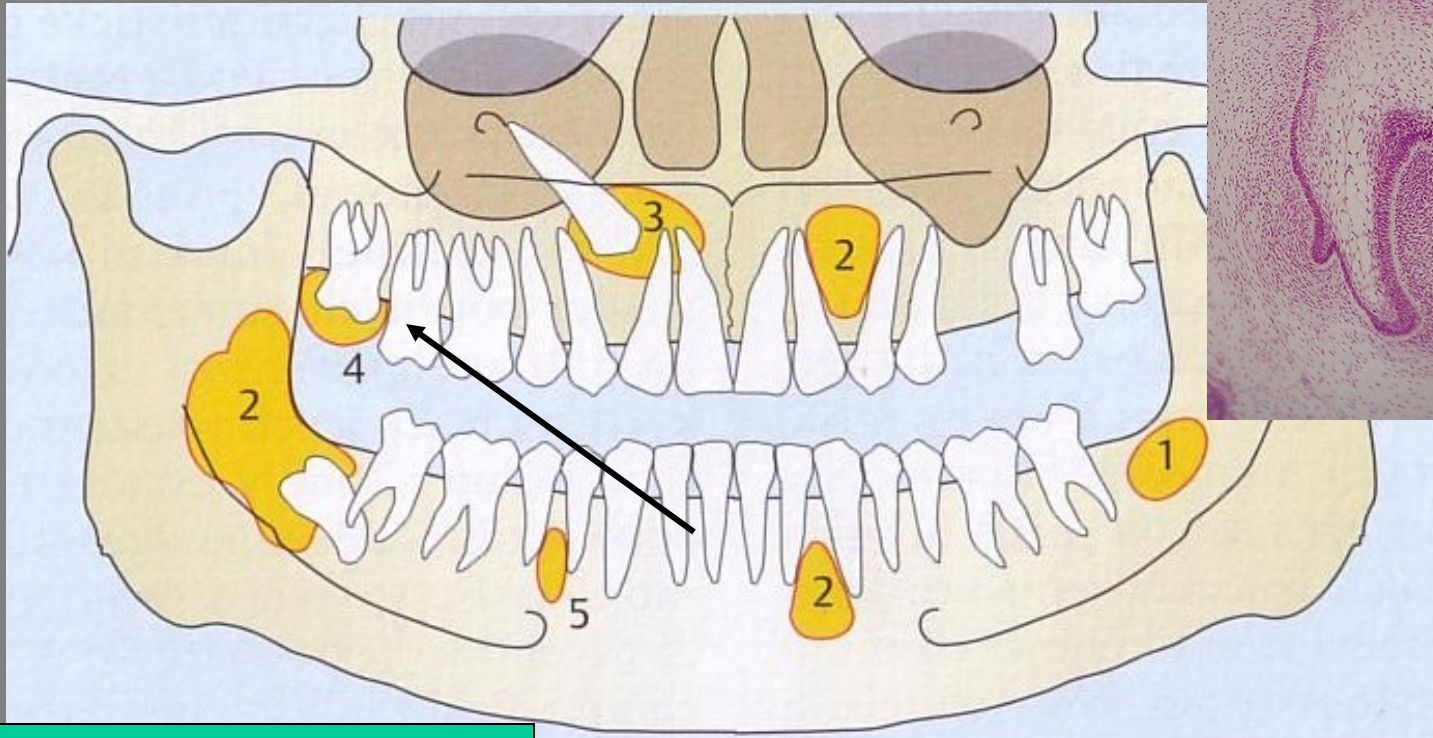
Cysty – vývojově podmíněné (odontogenní)



1. primordiální c.
2. keratocysta
3. folikulární c.
4. laterální parodontální c.

Folikulární cysta je cysta dentálního folikulu.

Cysty – vývojově podmíněné (odontogenní)

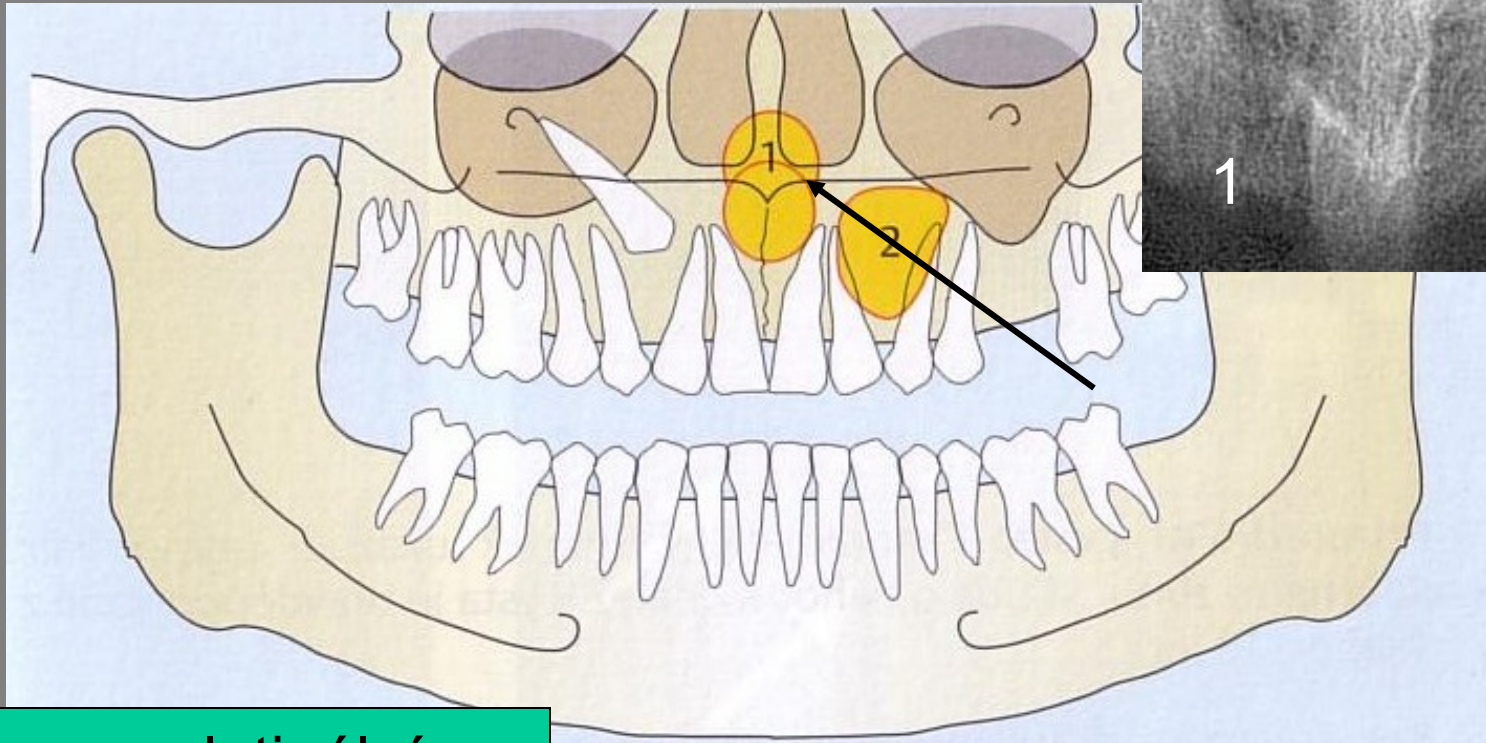


- primordiální c.
- keratocysta
- folikulární c.
- laterální parodontální c.

Lateralní periodontální cysta

- vychází z lamina dentalis
- nejčastěji u mužů středního věku
- obvykle neboli, v oblasti špičáků a premoláru

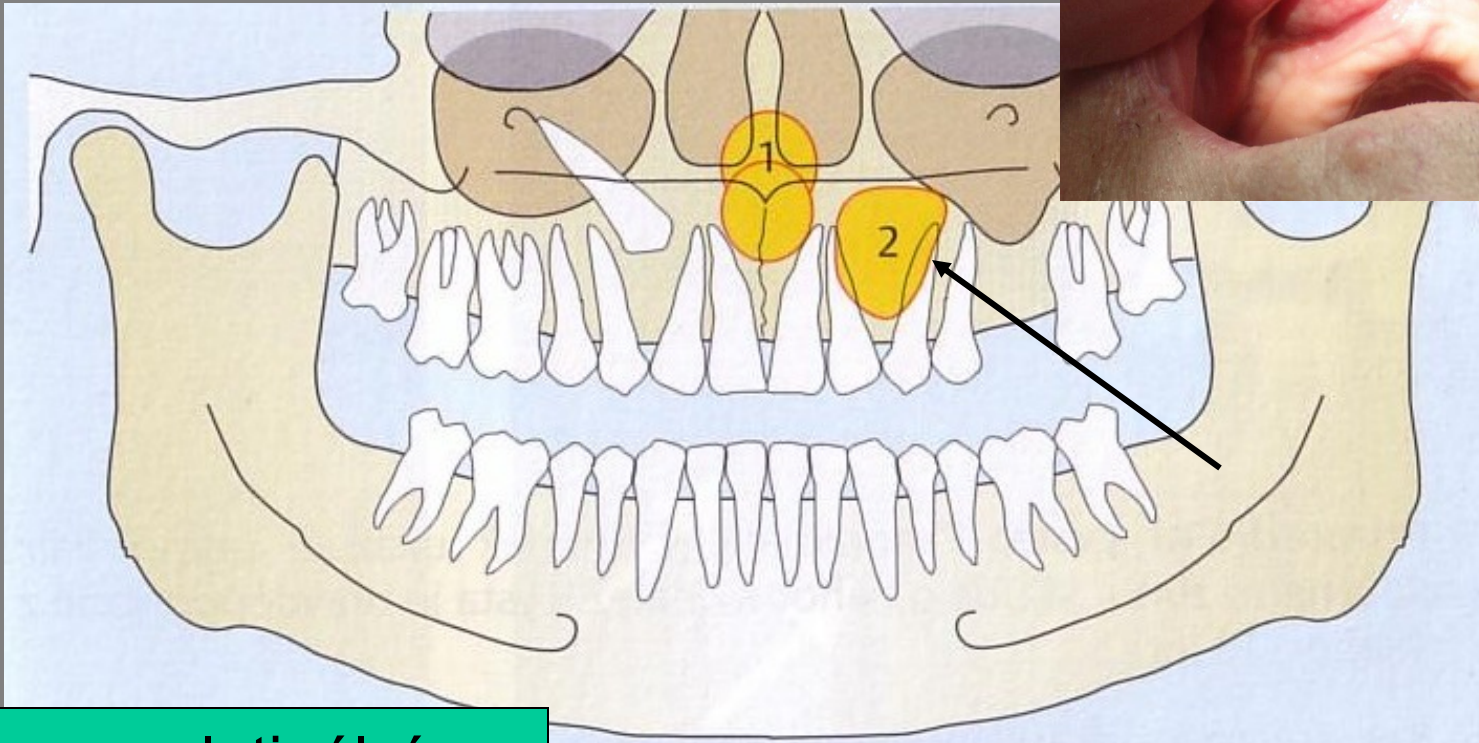
Cysty – vývojově podmíněné



- 1. nasopalatinální c.
- 2. nasolabiální c.

Nasopalatinální cysty jsou lokalizované v mediální části patra

Cysty – vývojově podmíněné (neodontogenní)



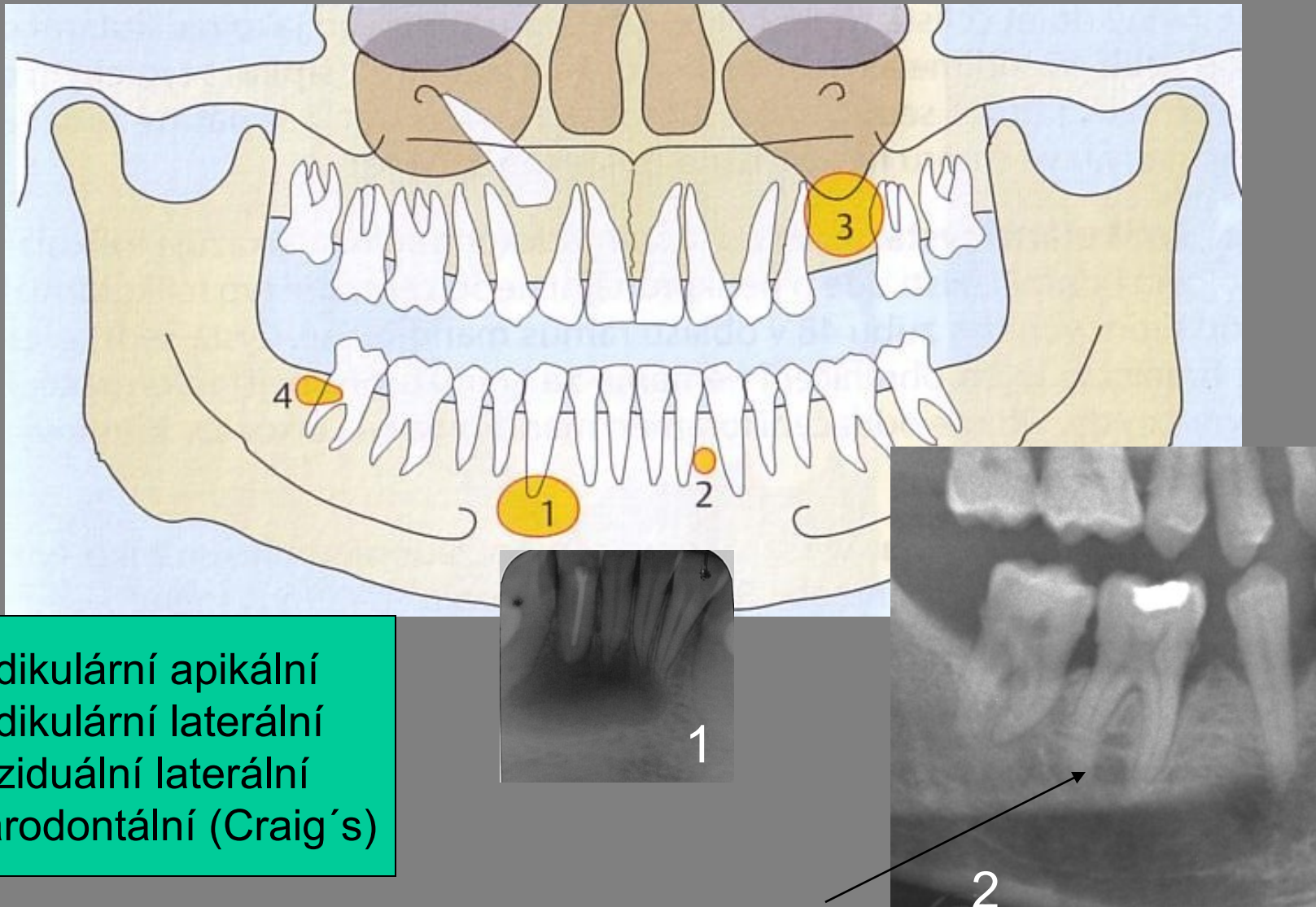
- 1. nasopalatinální c.
- 2. nasolabiální c.

Nasolabiální cysta

-lokalizovaná povrchově v měkkých tkáních horního rtu
- extraosseální cysta



Cysty - zánětlivé

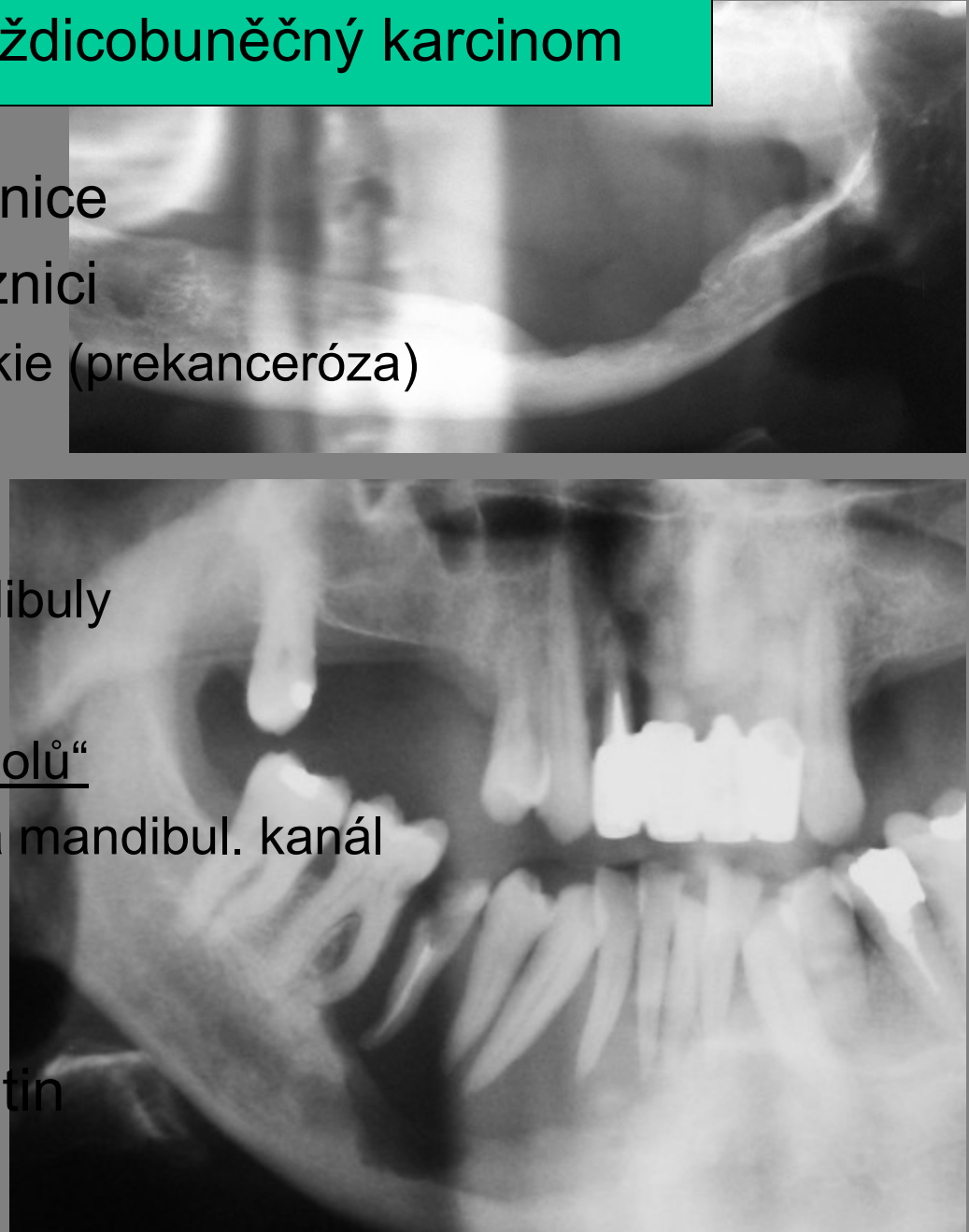


1. radikulární apikální
2. radikulární laterální
3. reziduální laterální
4. parodontální (Craig's)

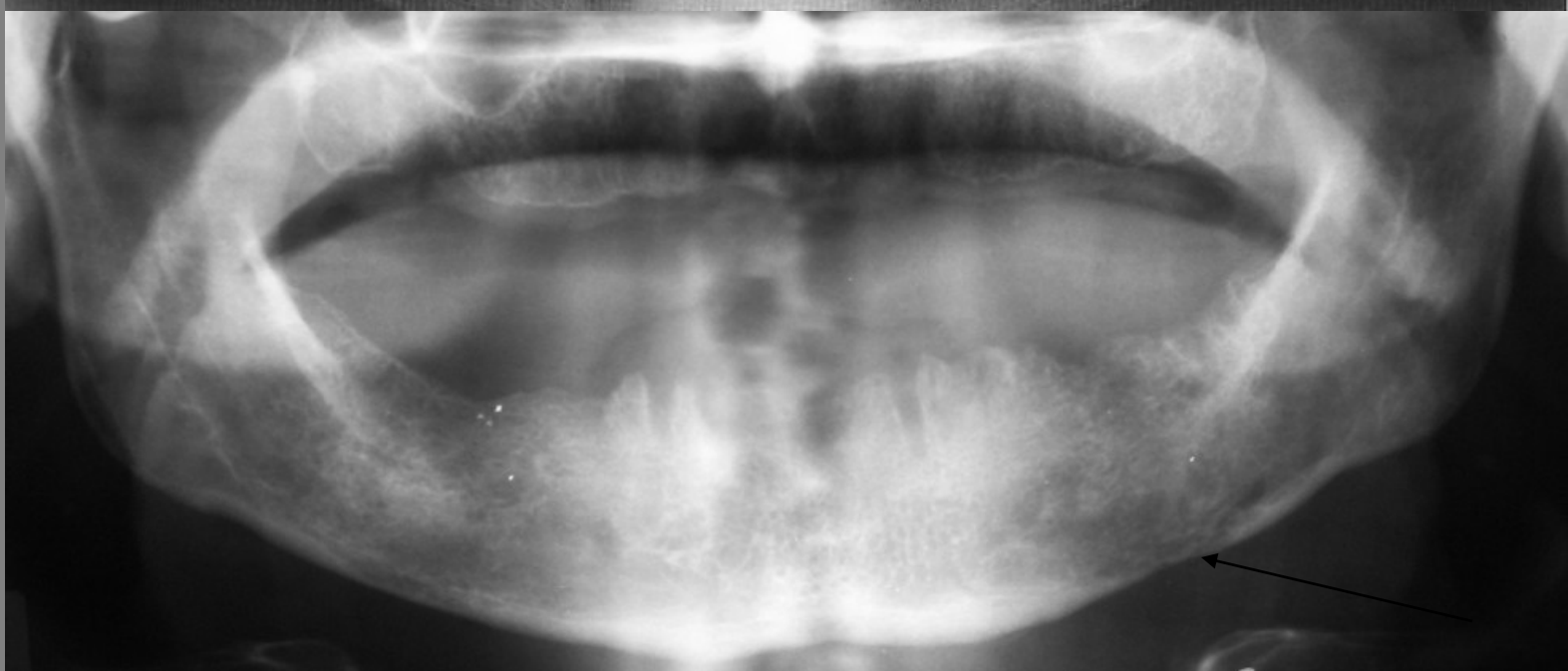
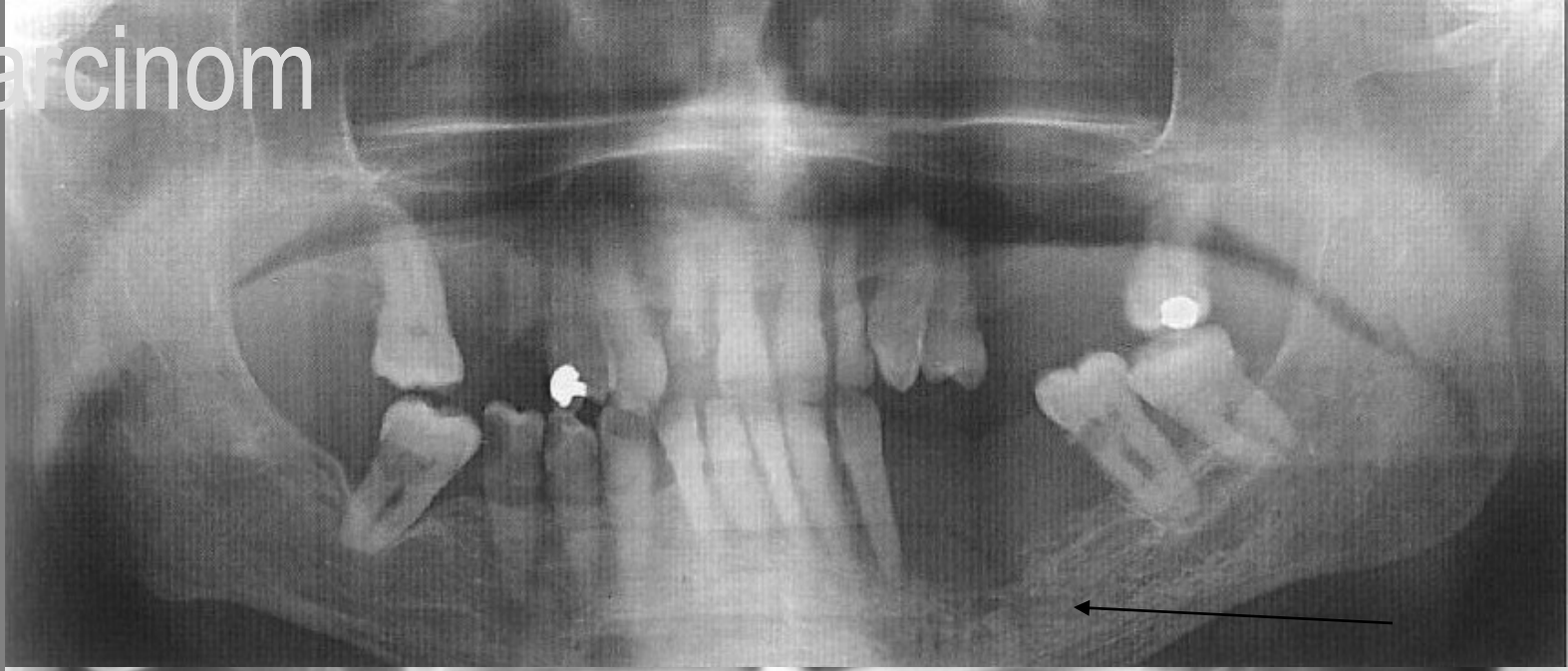
Karcinom

dlaždicobuněčný karcinom

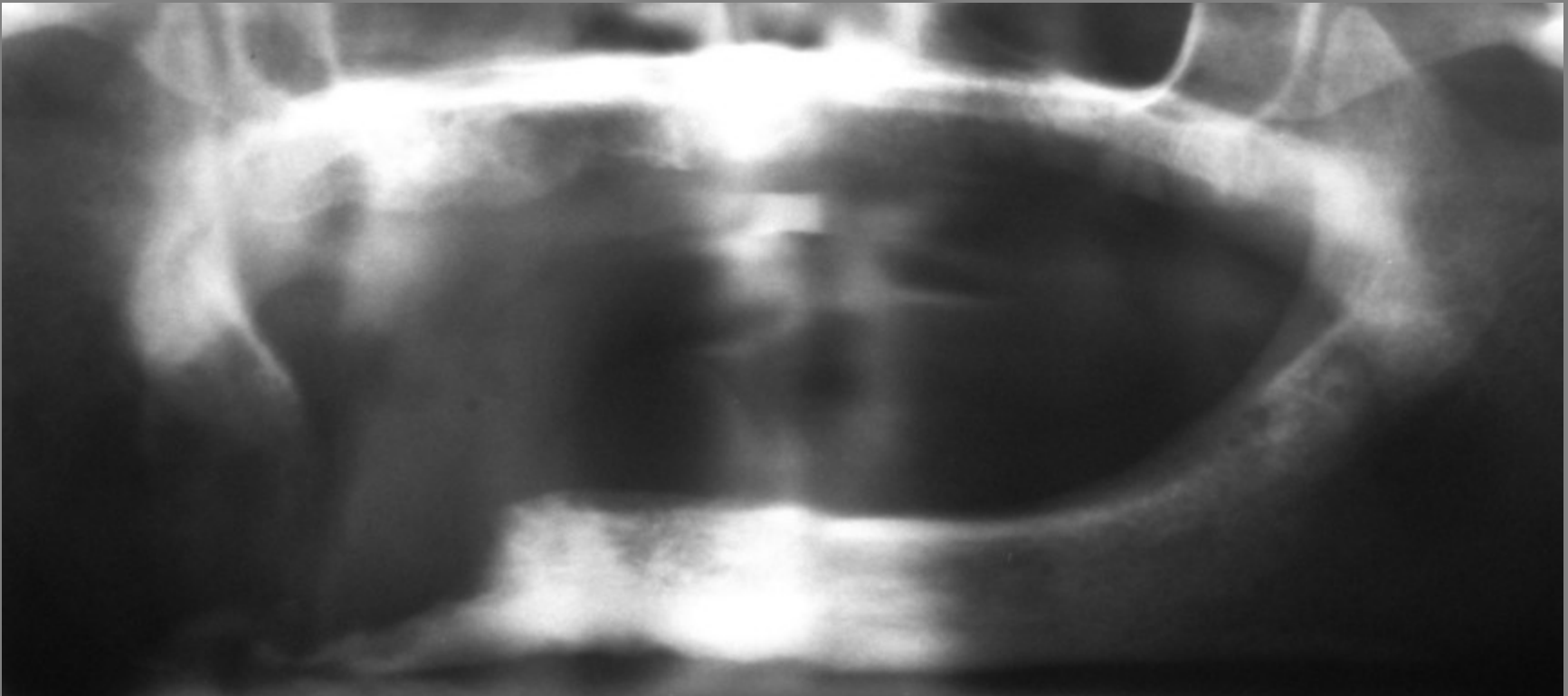
- Nejčastější ca ústní sliznice
- intraepiteliální ca ve sliznici
 - bělavá plochá leukoplakie (prekanceróza)
- infiltrace do:
 - okolních kostí
 - do lingvální stěny mandibuly
- osteolýza
 - jakoby „rozežrané od molů“
 - porušená lamina dura a mandibul. kanál
- parestezie
- kuřáci, vyšší věk
- ca sliznice čelistních dutin
 - pozdní příznaky
 - masívní klinické obtíže
 - proboření do dutiny ústní



Karzinom



Karcinom

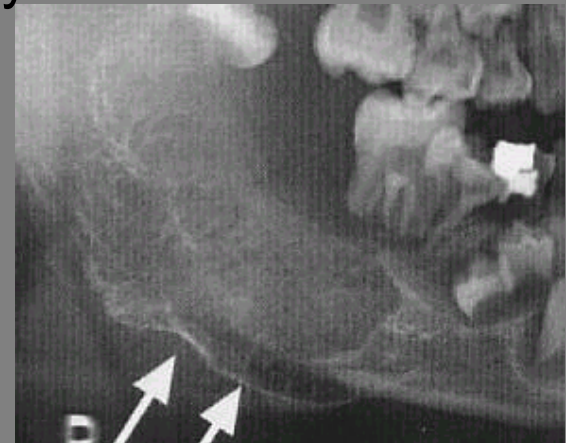


dlaždicobuněčný rohovějící

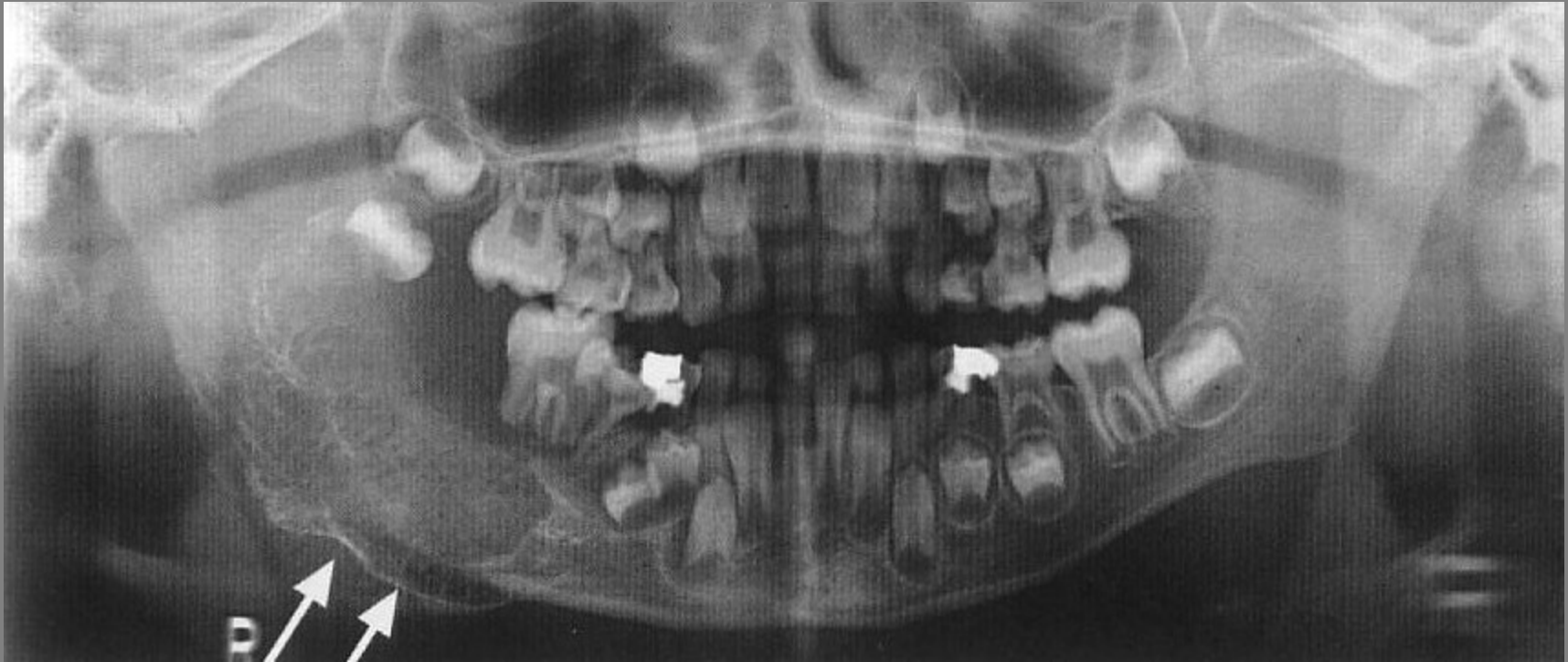
Ewingův sarkom

- děti 1. a 2. decenium
- vysoce maligní
- rychle rostoucí
- brzy metastazuje
- úhel mandibuly
- palpačně citlivý, působí bolest, vysoké teploty
- RTG
 - porušená kompakta struktura jako „plátky cibule“
 - tvorba spikul
 - efekt „slunečních paprsků“
- Dif.dg.
 - osteosarkom
 - nitrokostní hemangiom

metoda volby pro určení diagnózy
magnetická rezonance



Ewingův sarkom



chlapec, 7 let
nádor provázejí těžké klin. příznaky
čelist zbytnělá
zuby odtlačené
„sluneční paprsky“, reakce periostu

Osteosarkom

- 2. a 3. decenium
- mezenchymový nádor
- histologicky
 - osteoblasty
 - chondroblasty
 - fibroblasty
- RTG
 - osteoblastické + osteolytické změny
 - velmi pestrý obraz
 - periodontální štěrbiny narušené, rozšířené



u osteoblastických změn –
„efekt slunečních paprsků“
(spikulky)



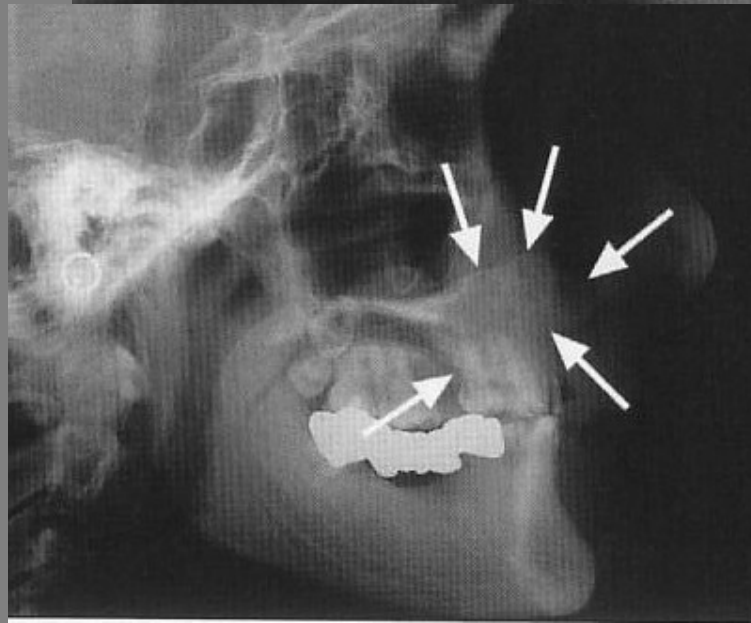
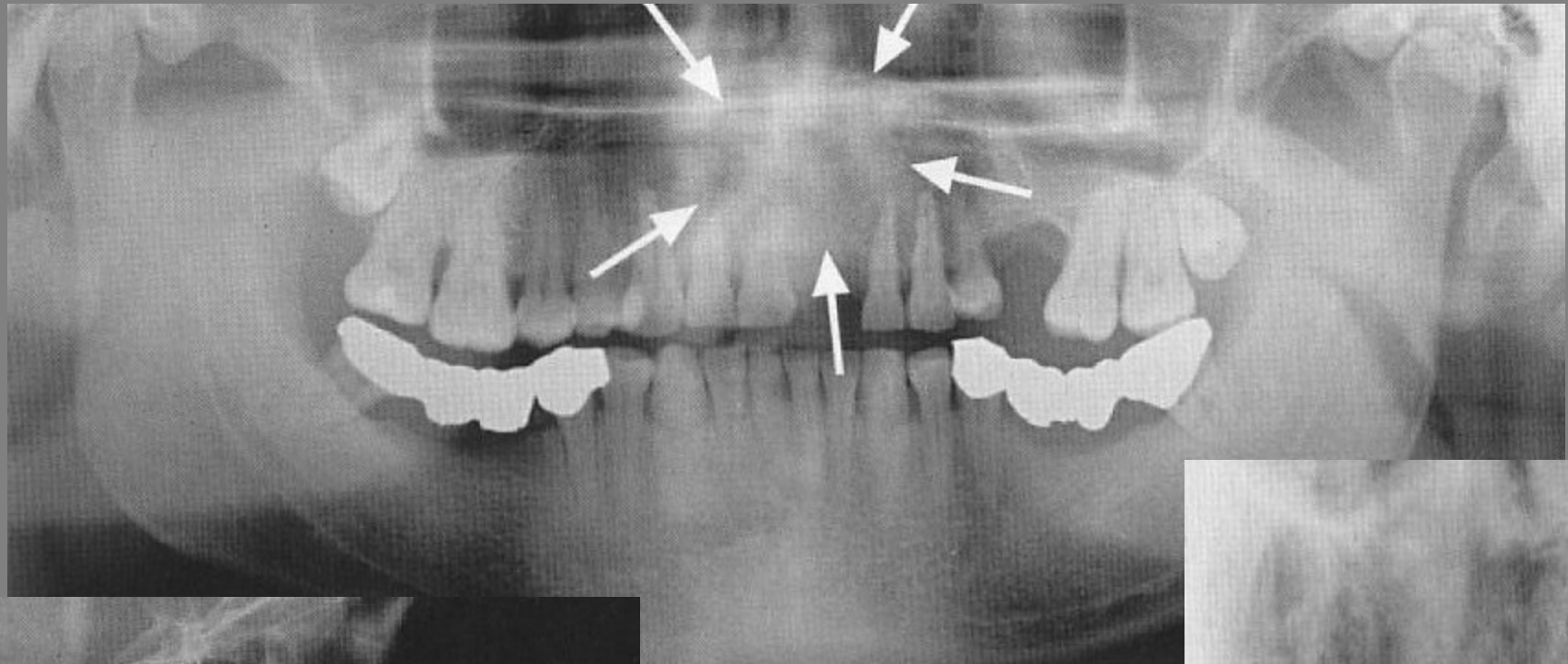
Osteosarkom



žena, 29 let

histologicky: tkáň osteoidní, chrupavčitá, fibroblastické zóny

Osteosarkom



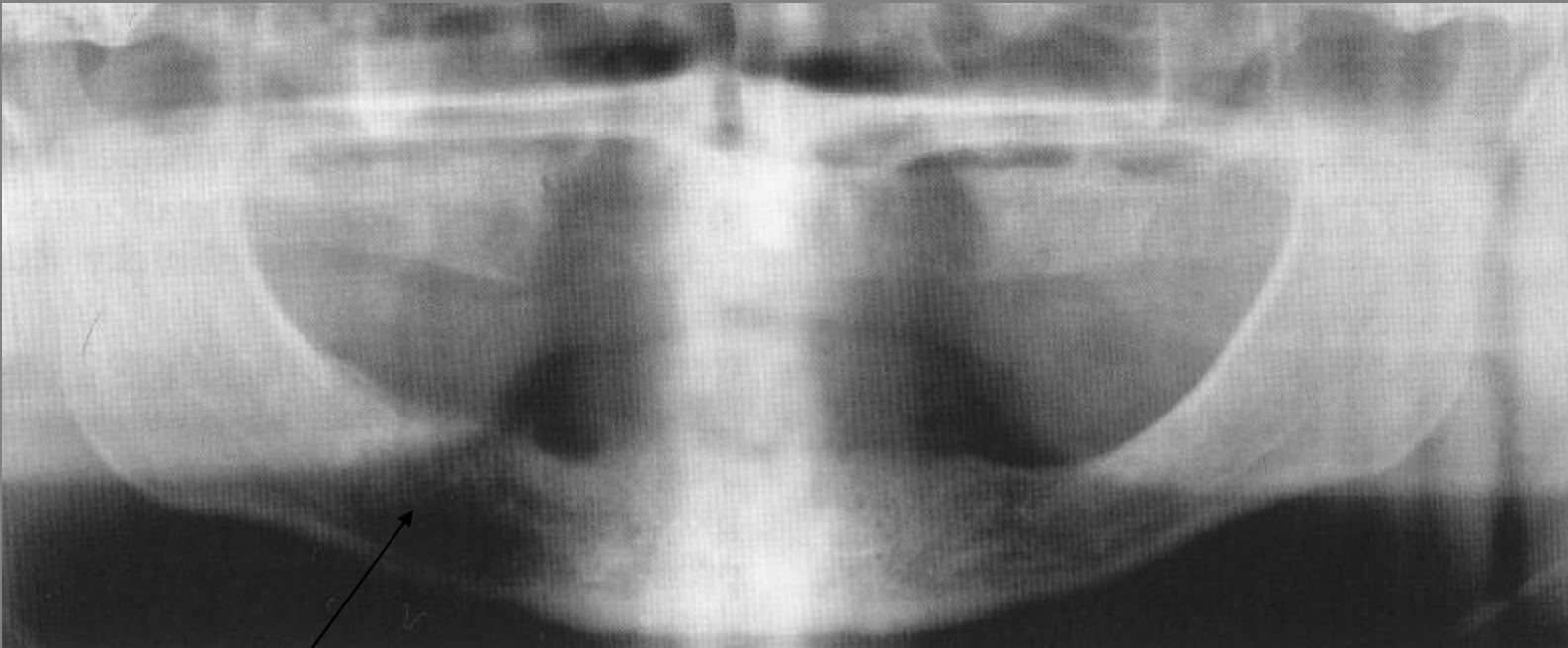
muž, 40 let



Metastázy

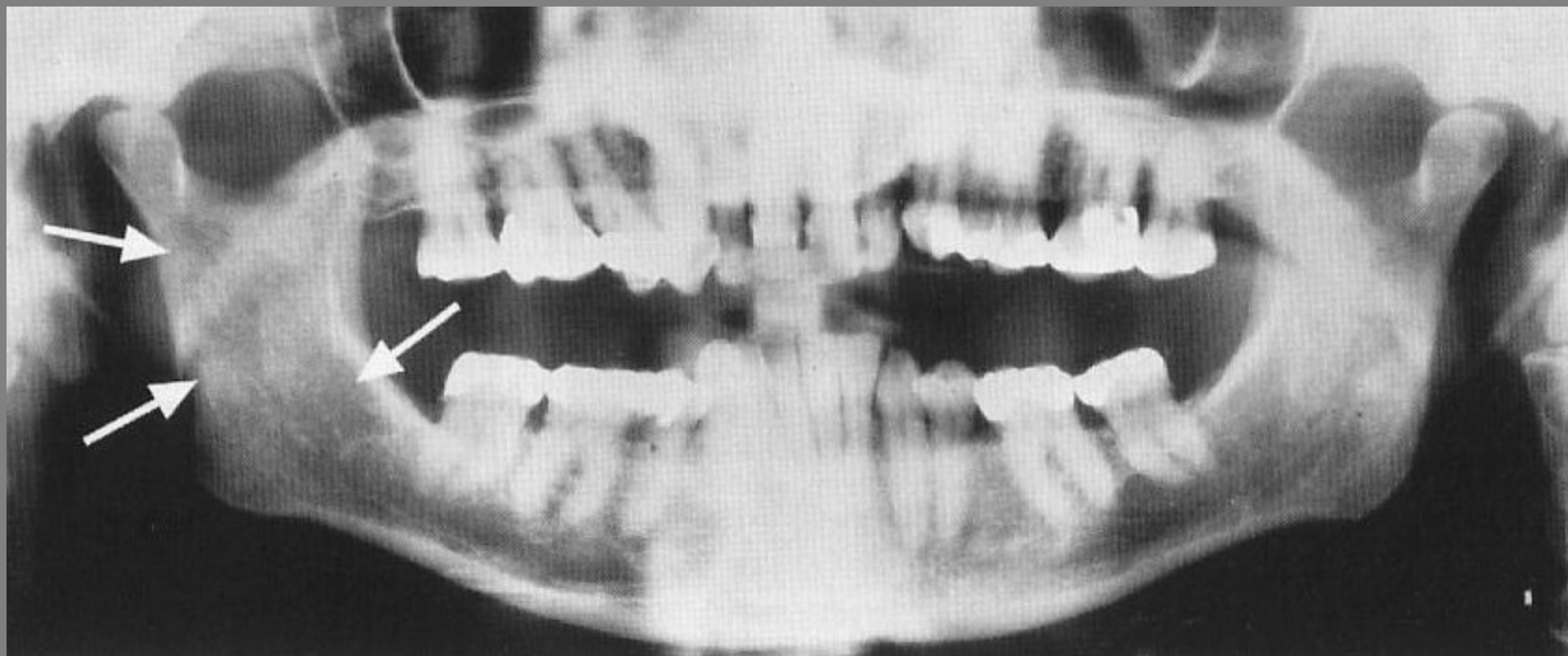
- nejdůležitější jsou karcinomy:
 - prsu
 - plic
 - štítnice
 - prostaty
- krevní cestou
- klinické příznaky:
 - bolest v kosti
 - uvolňování zubů (zdánlivě bez příčiny)
 - parestézie dolního rtu
 - patologická, spontánní fraktura
- při podezření = doplnit scintigrafii

Metastázy



- muž, 69 let
- ca prostaty
- projasnění,
- jakoby „prožrané od molů“

Metastázy



- ca střev
- skrvnité, neostré projasnění

Odontogenní myxom

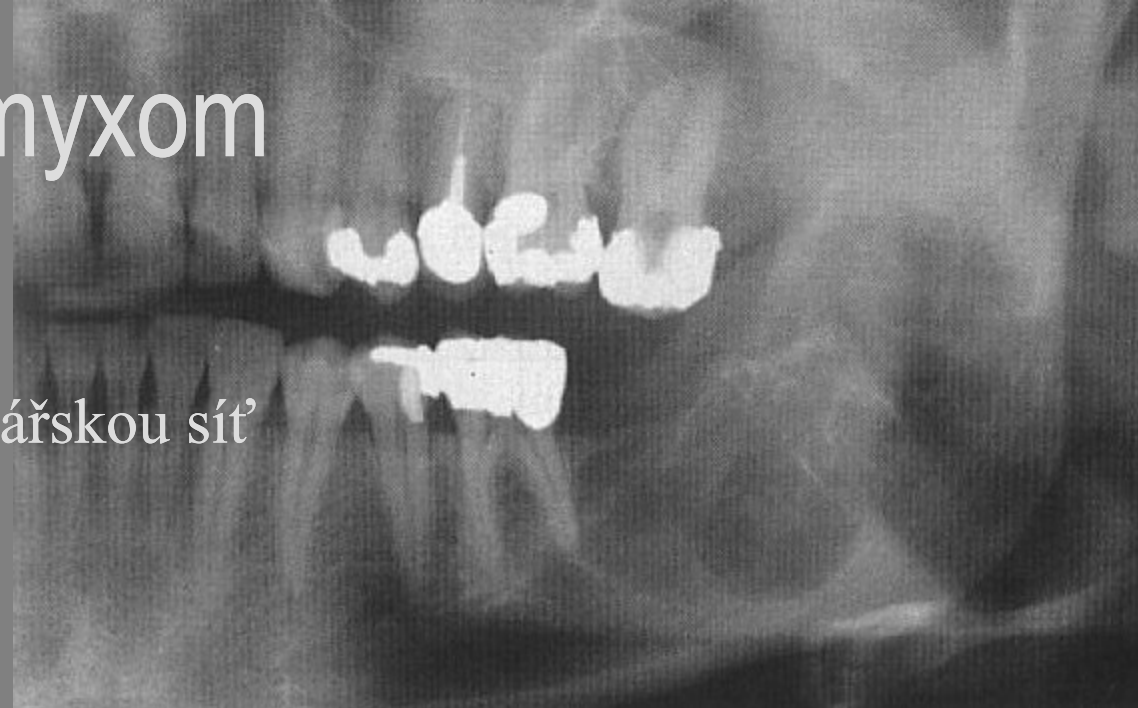
- věk 10-50 let
- bez preference pohlaví
- z ektomezenchymu
- v čelistech (pouze)
- častěji v dolní čelisti - caput mandibulae
- roste
 - rychle
 - nitrokostně
 - může infiltrovat svalovinu
- dobře ohraničené, nepravidelné projasnění s jakoby „spřádanými septy“
- časté recidivy



Odontogenní myxom

žena, 34 let

struktura připomíná rybářskou síť'



hustá, nepravidelná septa



Odontogenní myxom

rozštěp

26,27 se nemohou fyziologicky přoříznout

chlápec, 13 let
myxom v levé horní čelisti



Odontom

- Vývojově podmíněné anomálie zubní lišty podobné nádorům (hamartomy).
- vznik z malých zoubků nebo jsou konglomerátem různých zubních tkání
 - složený odontom
 - ✓ obsahuje různý počet plně vyvinutých zoubků nebo zubů
 - komplexní odontom
 - ✓ obsahuje základní zubní tkáně v amorfí mase (často v úhlu m., nebo tuberů)



složený

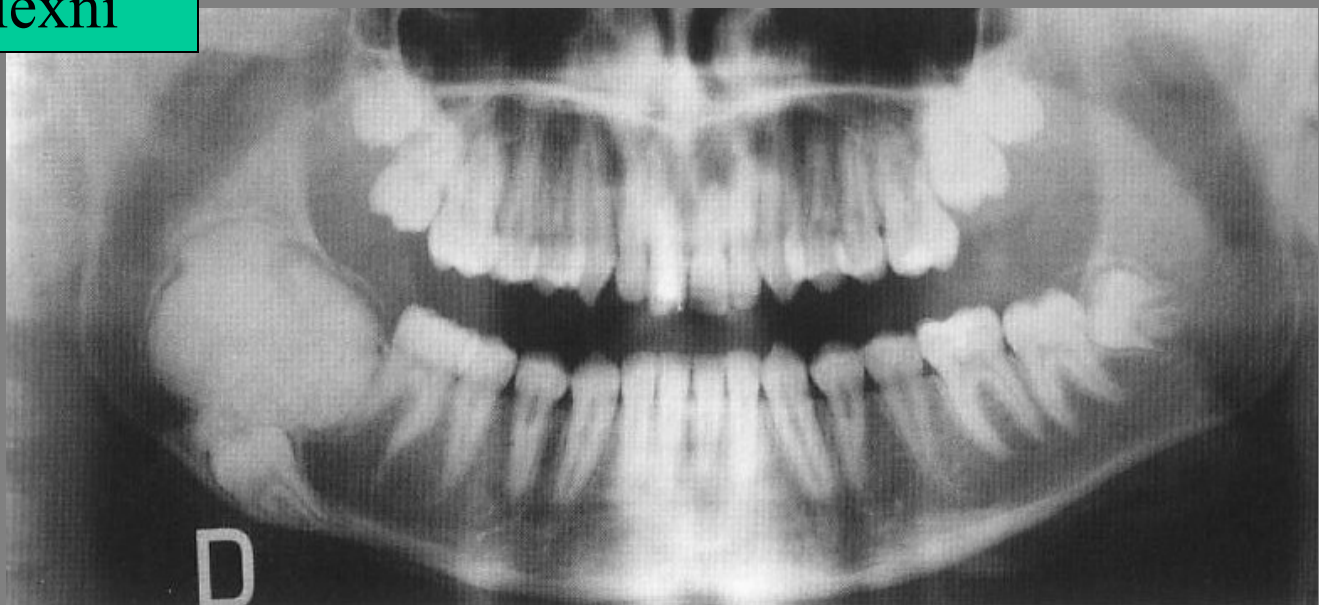


komplexní

Odontom



komplexní



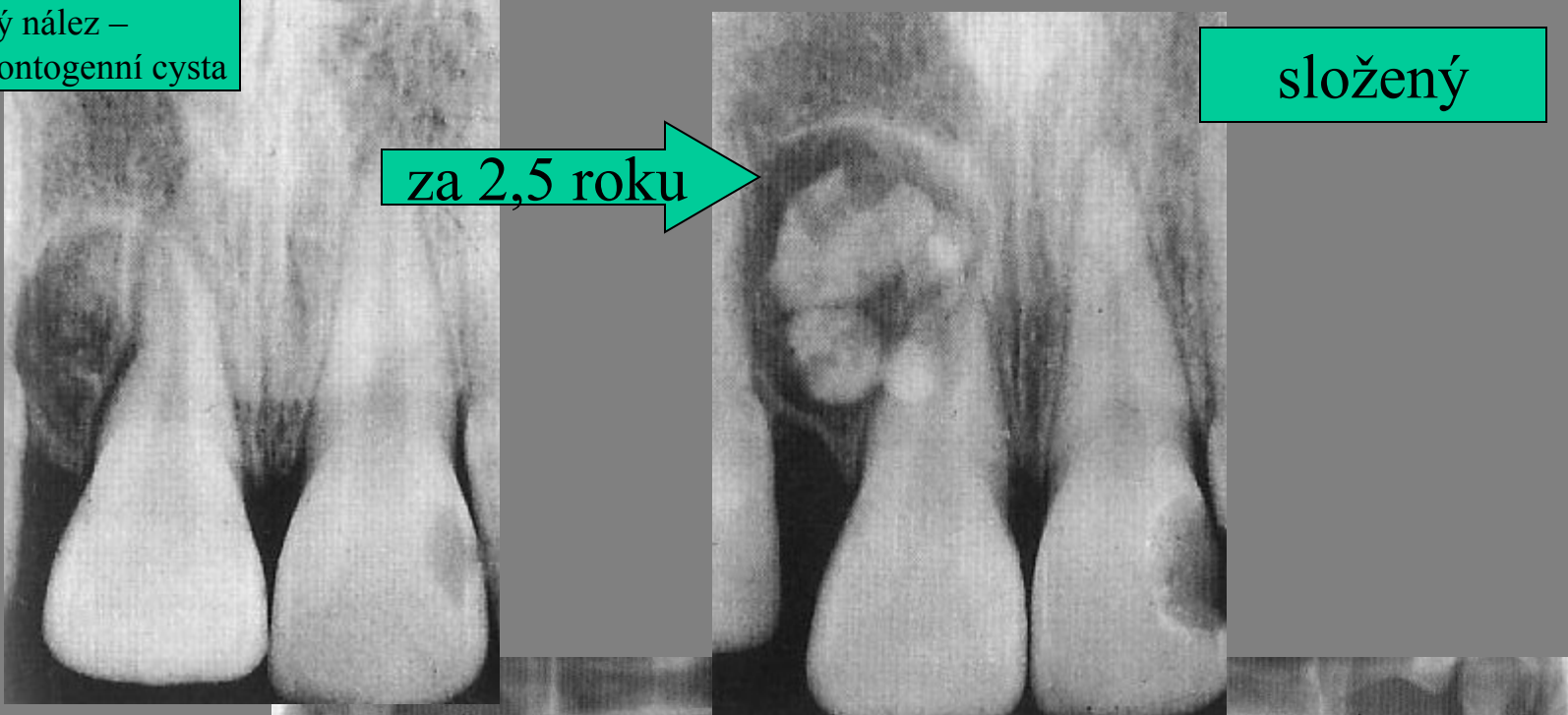
D

Odontom

náhodný nález –
susp. kalc. odontogenní cysta

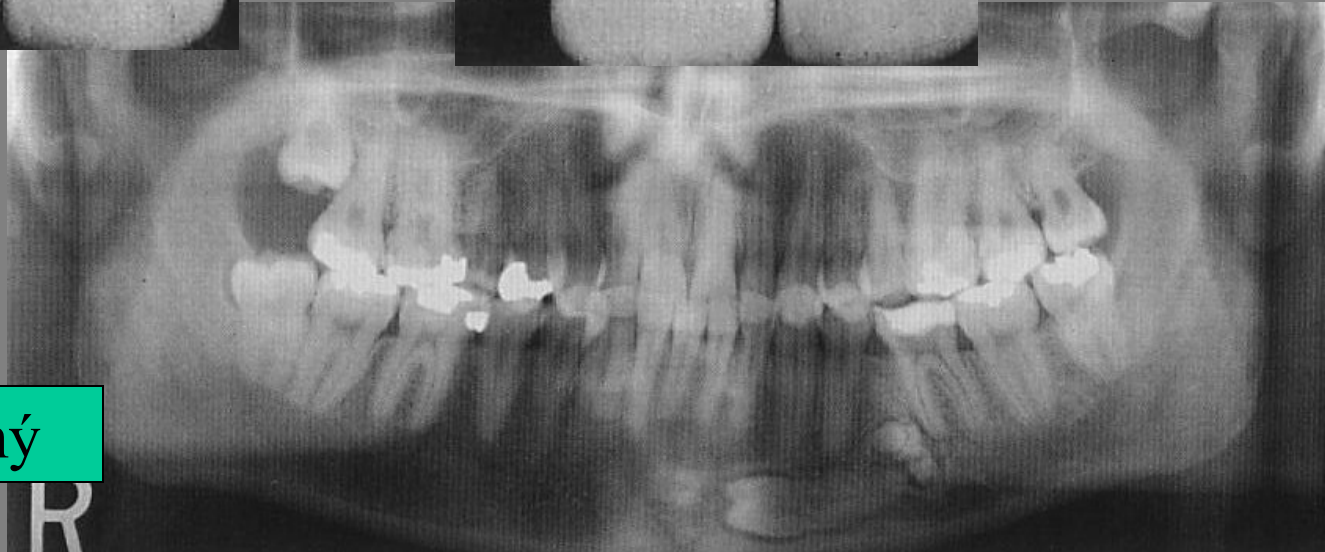
složený

za 2,5 roku



složený

R

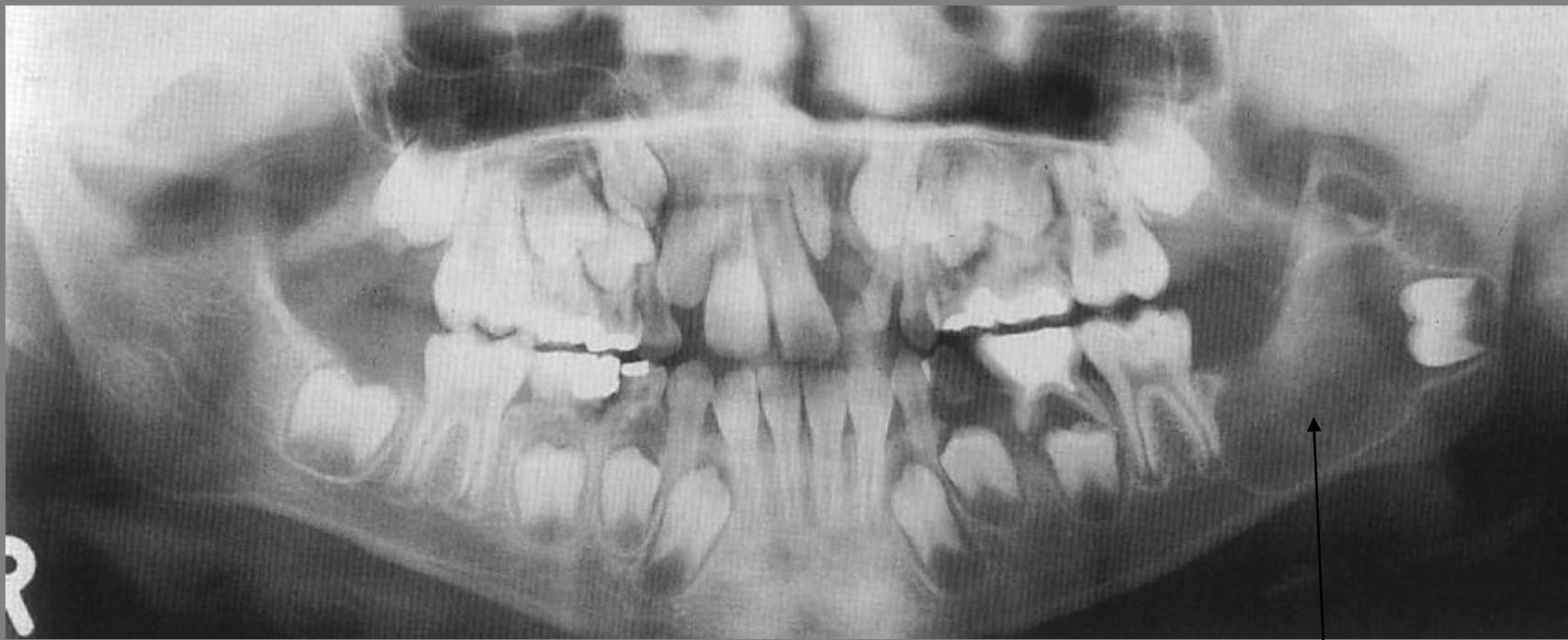


Ameloblastický fibrom

- 10-20 let, chlapci
- benigní
- nádor s odontogenním epitelem a ektomezenchymem
- v molárové krajině mandibuly
- dif.dg.
 - folikulární cysta
 - ameloblastom
- nerecidivuje

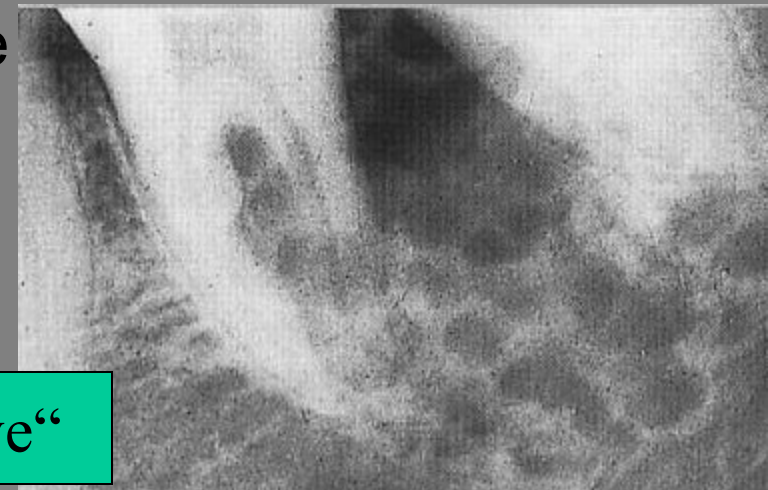


Ameloblastický fibrom



Ameloblastom

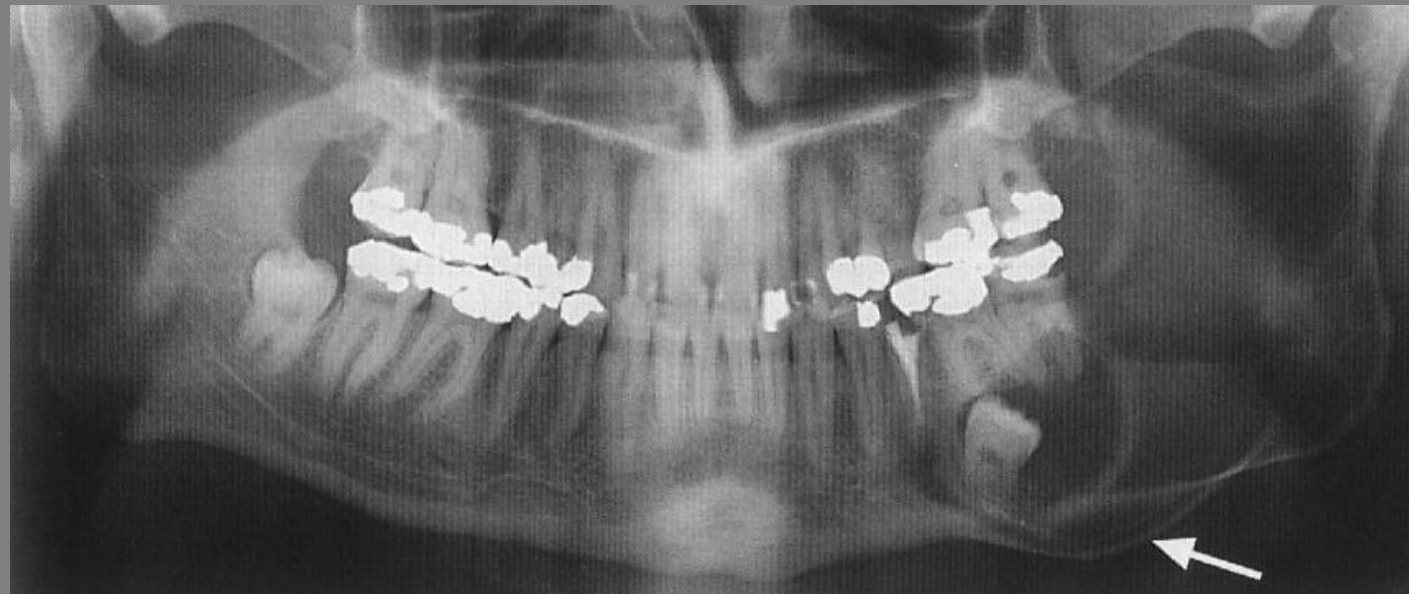
- muži/ženy postiženi stejně
- benigní; s dlouhodobou recidivou = radikální resekce
- v krajině dolních molárů (80%)
- bohatý histologický obraz – řada variant
- RTG
 - multilokulární nebo vícekomorový
 - multicystický
 - bublinaté projasnění obklopené
 - kompakta se ztenčuje
- rostou pomalu, bezbolestně
- zduření, obličejobvá asymtrie



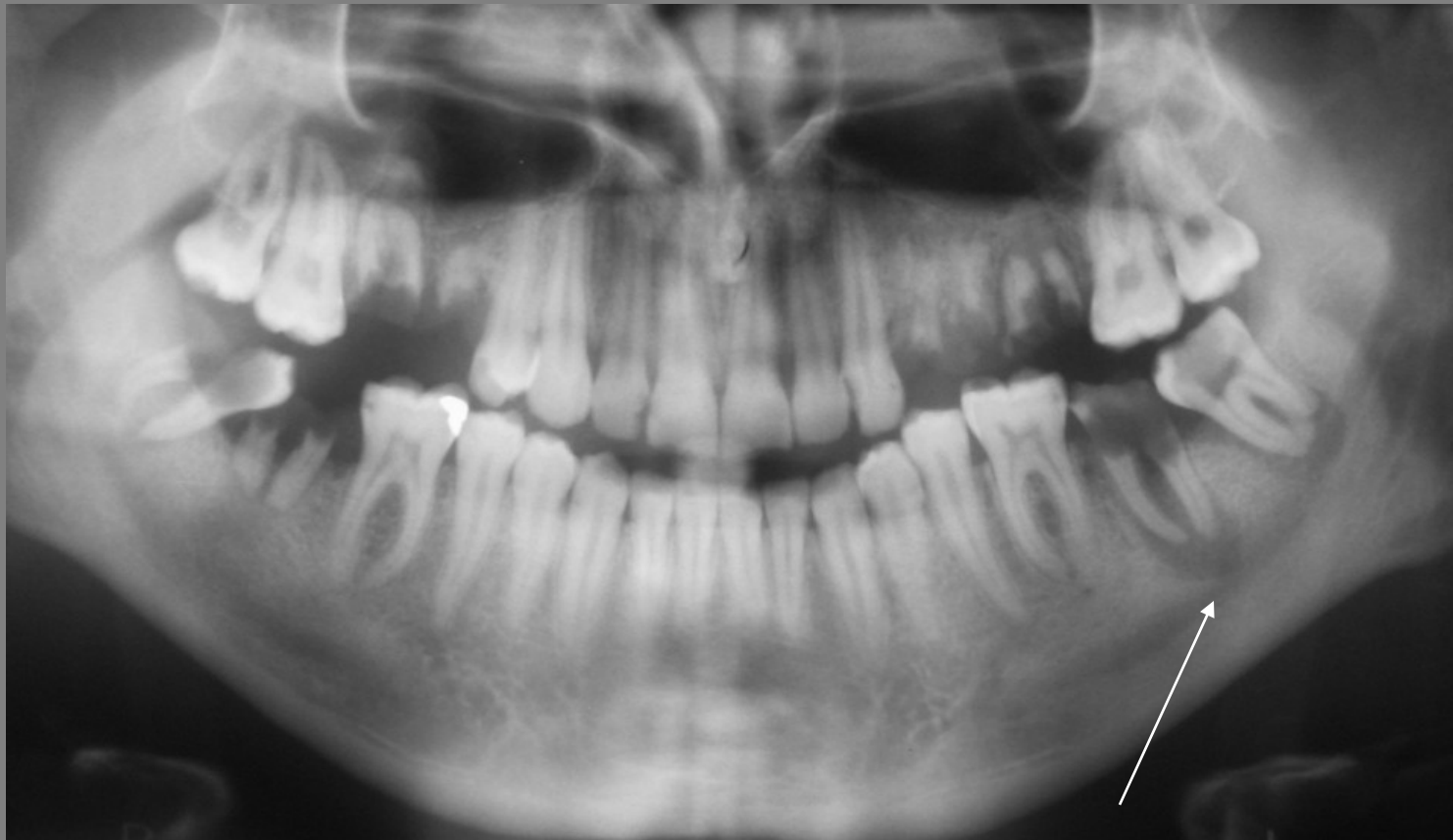
struktura „medové plástve“

Ameloblastom

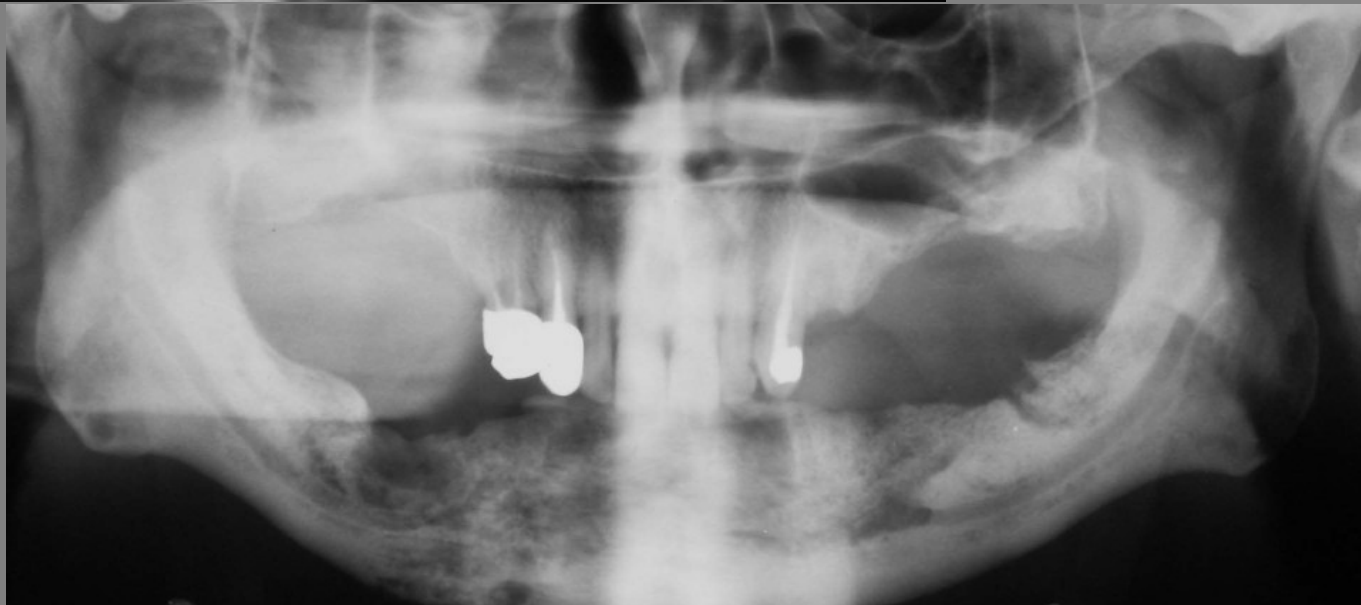
- dif.dg.
 - folikulární cysty
 - keratocysty
 - ameloblastický fibrom
 - odontogenní myxom
 - centrální eozinofilní granulom



Periapikální absces

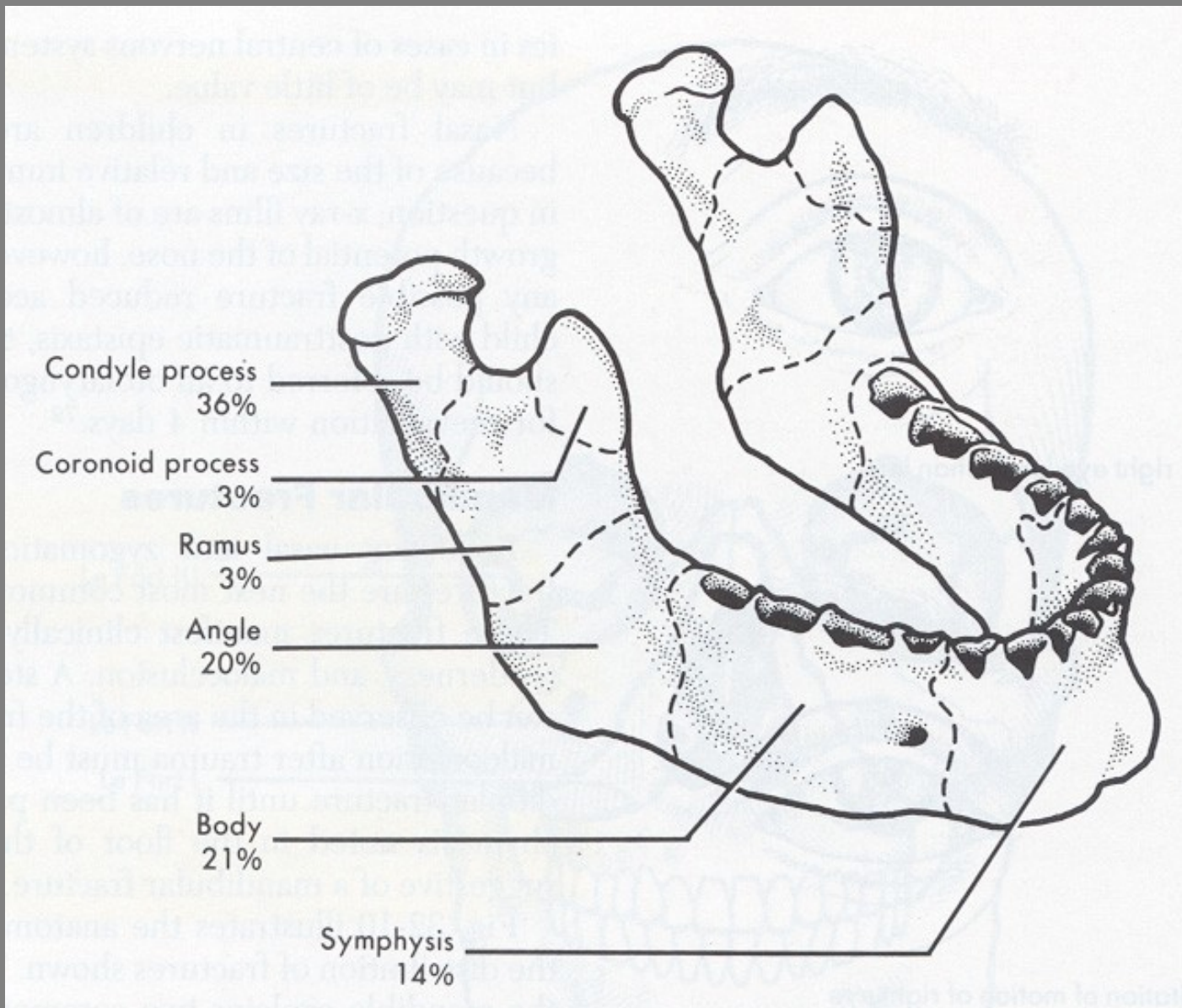


Mnohočetný myelom



Frakture mandibuly

Frakturny mandibuly - lokalizace



Sutura úhlu mandibuly



Frakturna těla mandibuly



Frakturna symfýzy mandibuly

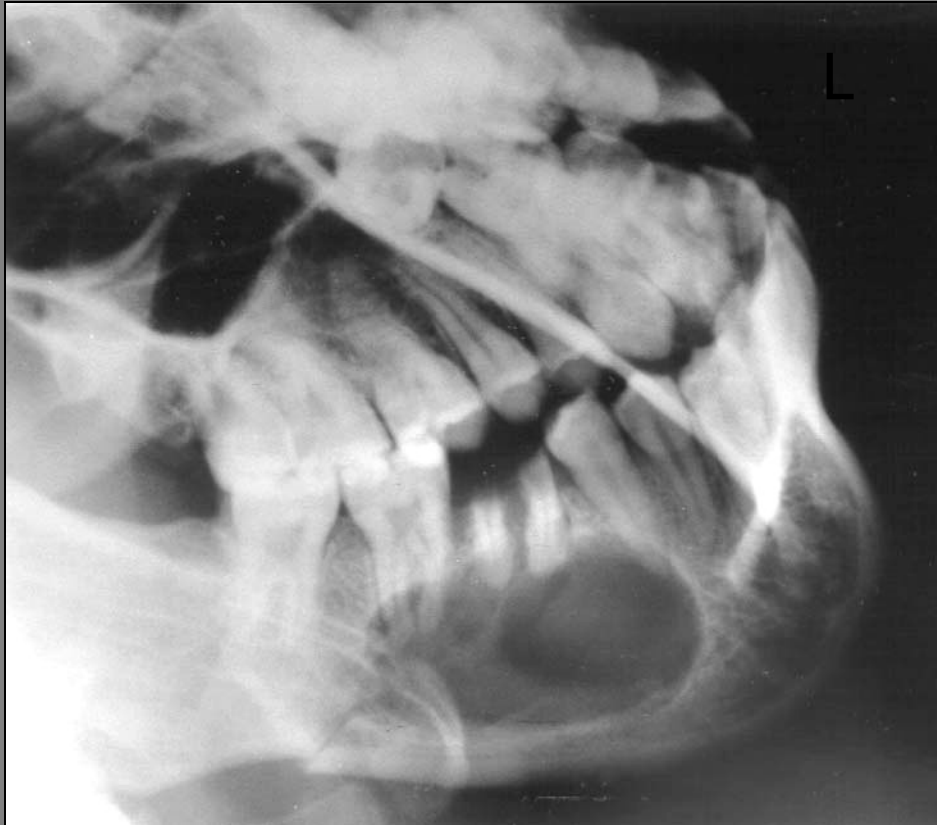




Fraktura způsobená projektilem

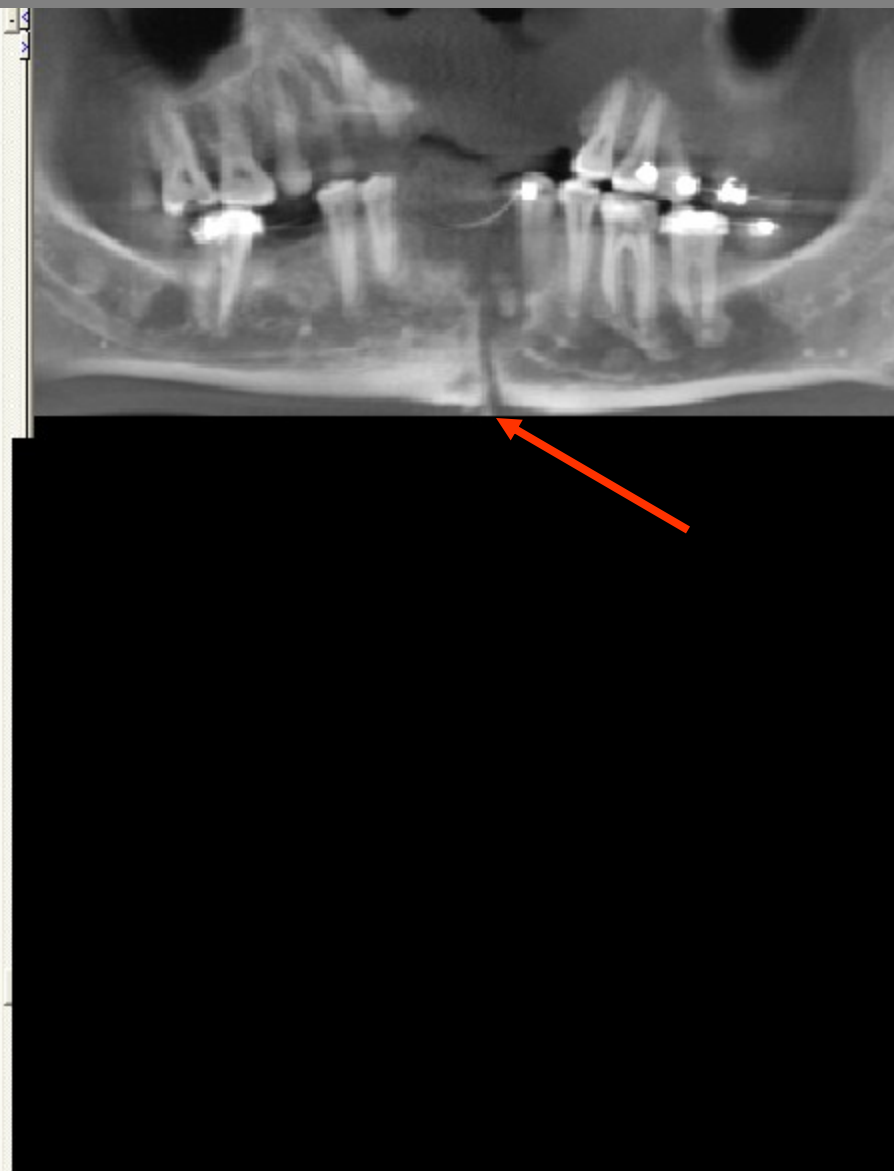
F
r
a
k
t
u
r
y

m
a
n
d
i
b
u
l
y



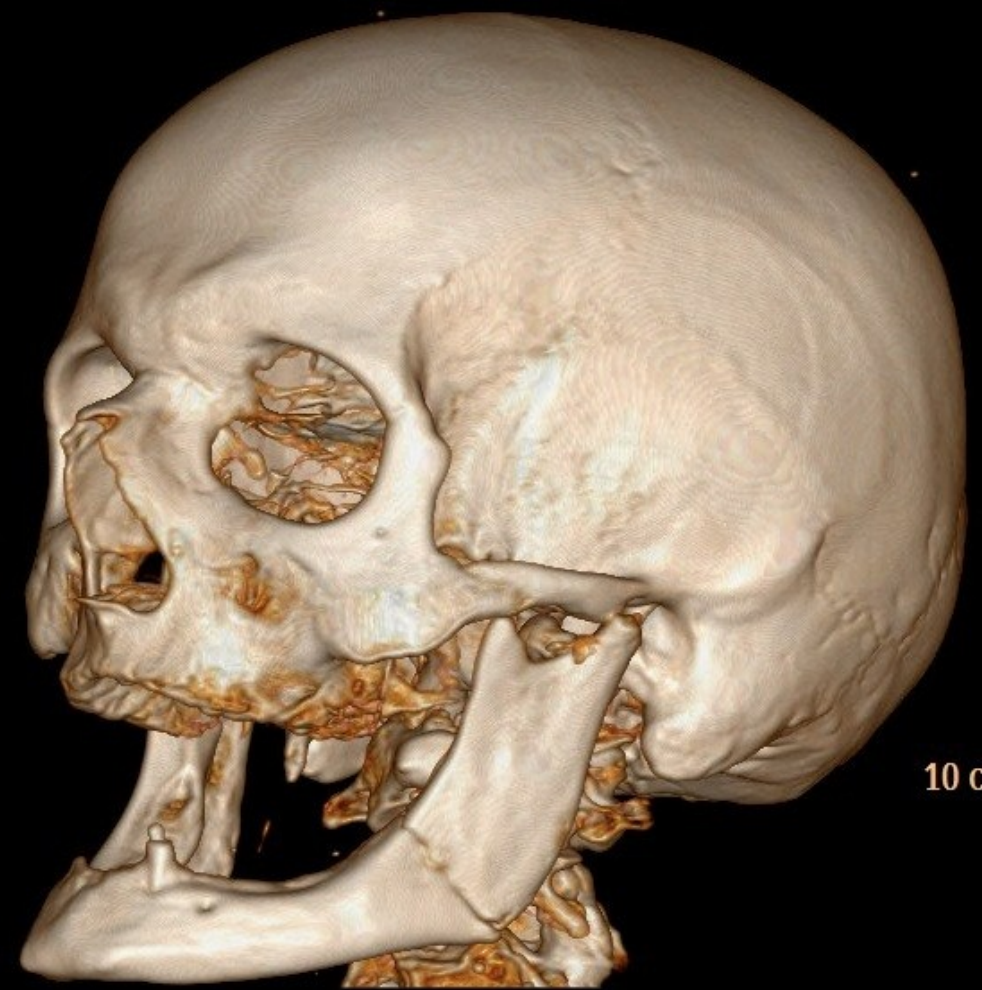
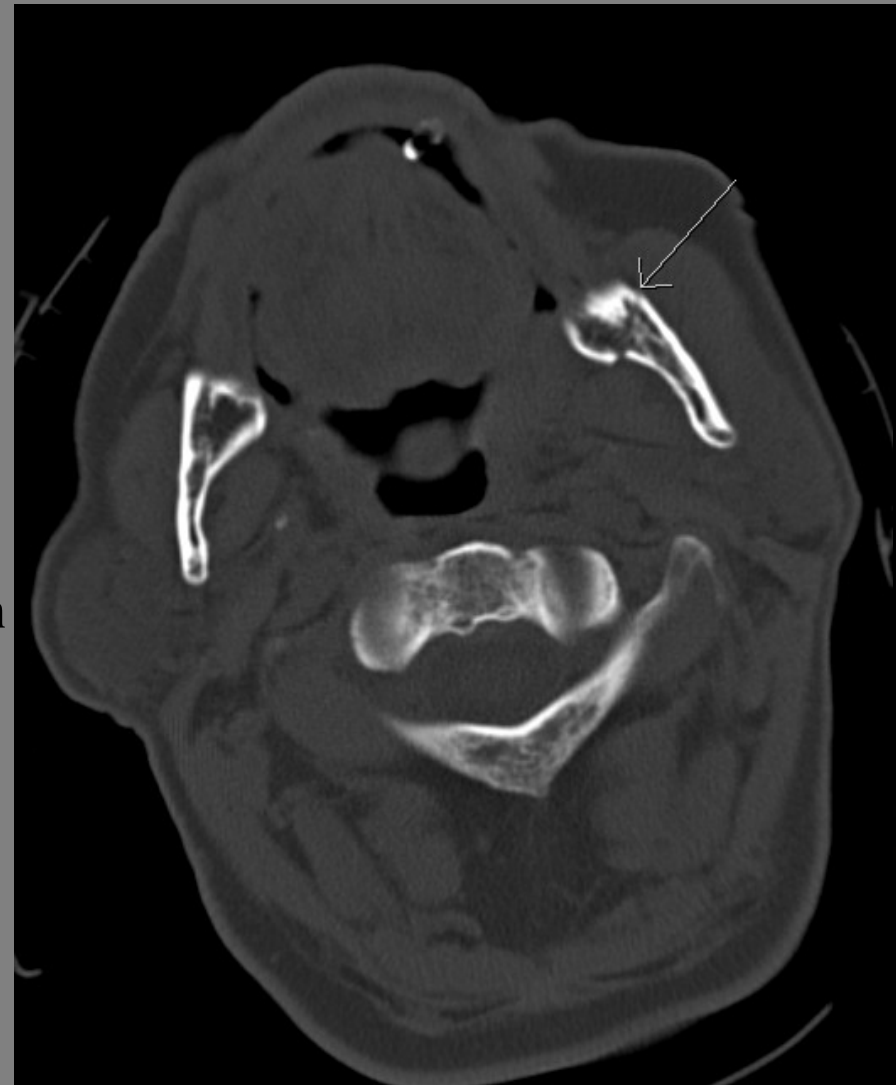
Patologická fraktura na podkladě rozlehlé
apikální cysty.

Fraktura mandibuly, CT



F
r
a
k
t
u
r
y
m
a
n
d
i
b
u
l
y

Fraktura mandibuly, CT

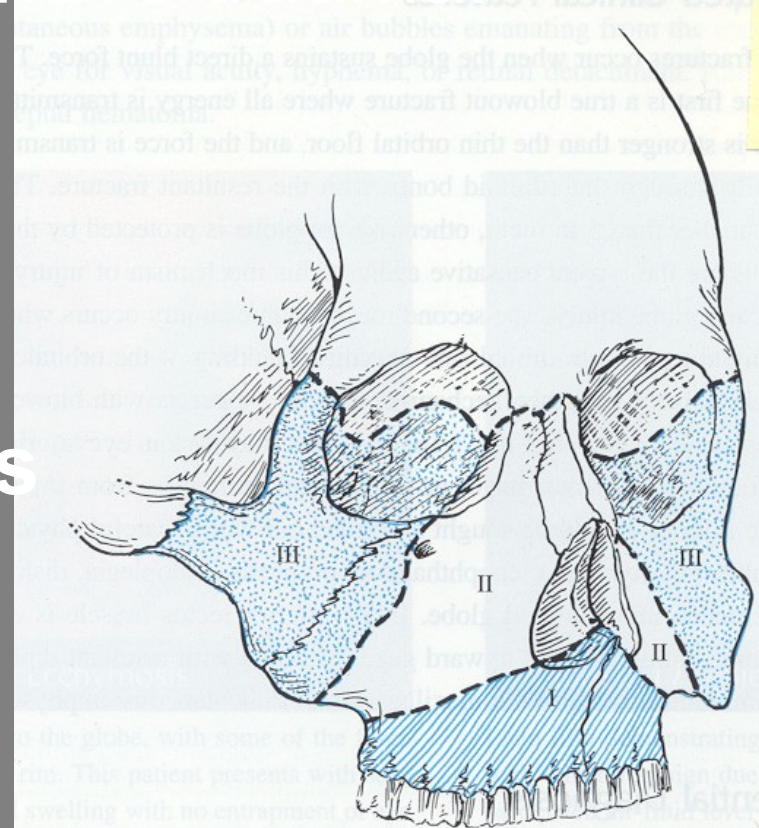


F
r
a
k
t
u
r
y
m
a
n
d
i
b
u
l
y

Fraktury maxily

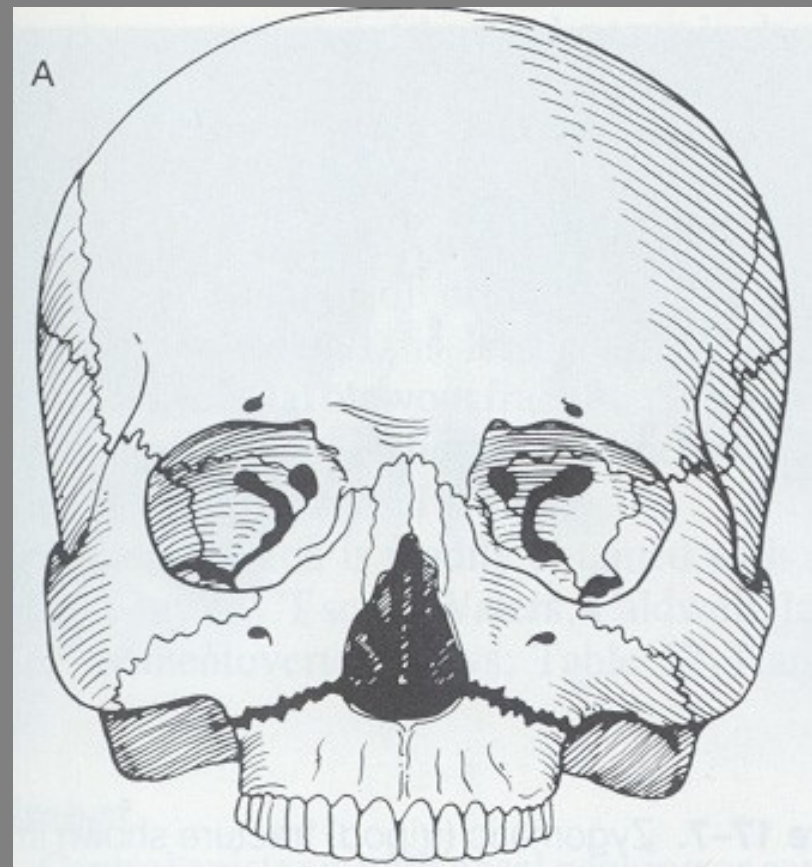
Frakturny maxily

- Vysokoenergetická poranění.
- Síla se rovná 100 násobku gravitace.
- Časté sloučené multiorgánové trauma.
- Klasifikace: **Le-Fort**
- **Všechny typy zlomenin Le-Forte postihují processus pterygoideus**



LeFort I

- Příčná fraktura maxily.
- Vzniká plovoucí patro.



LeFort I

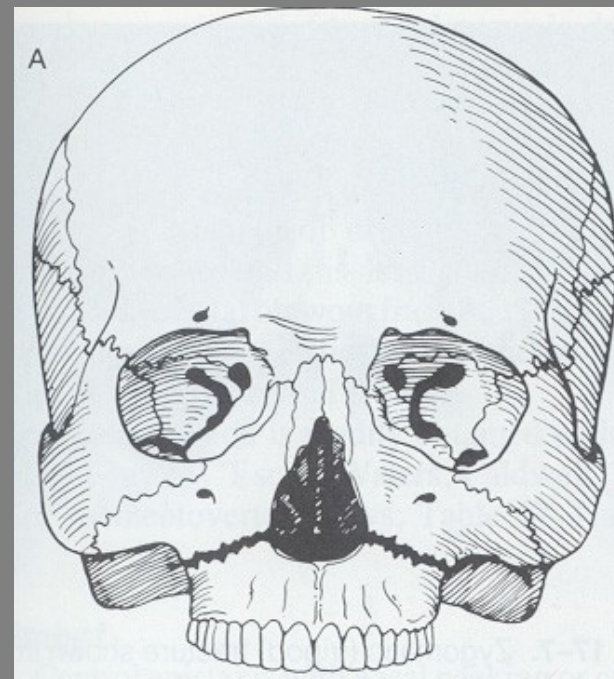
- Klinika:
 - Edém obličeje
 - Malokluze zubů
 - Pohyb maxily při stabilních strukturách nosu.

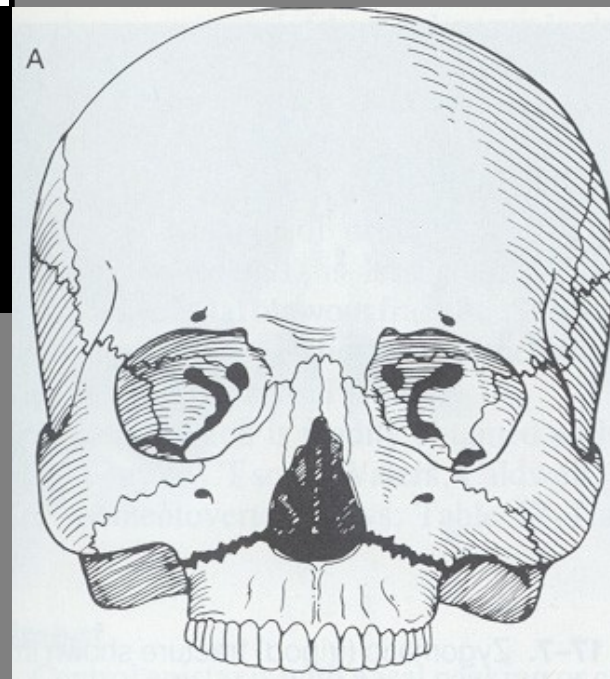
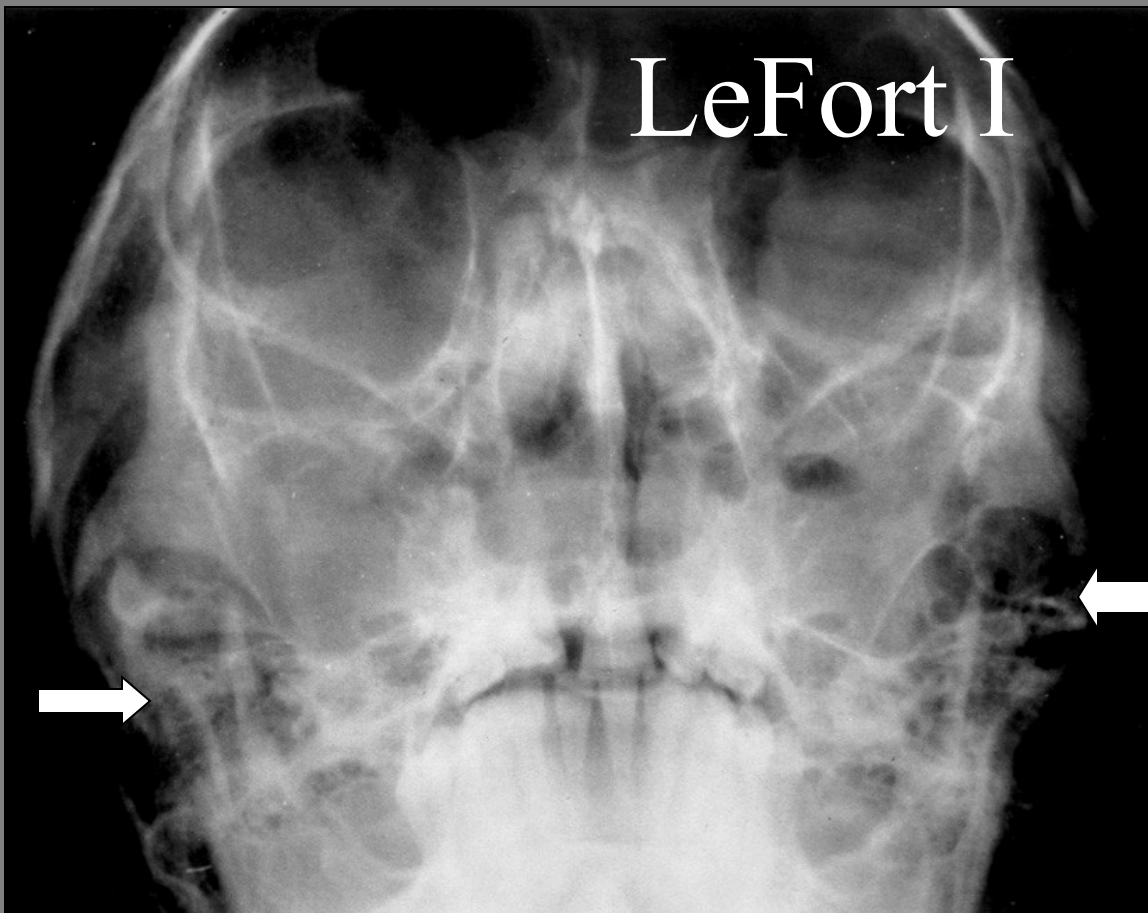


LeFort I

- F
r
a
k
t
u
r
y

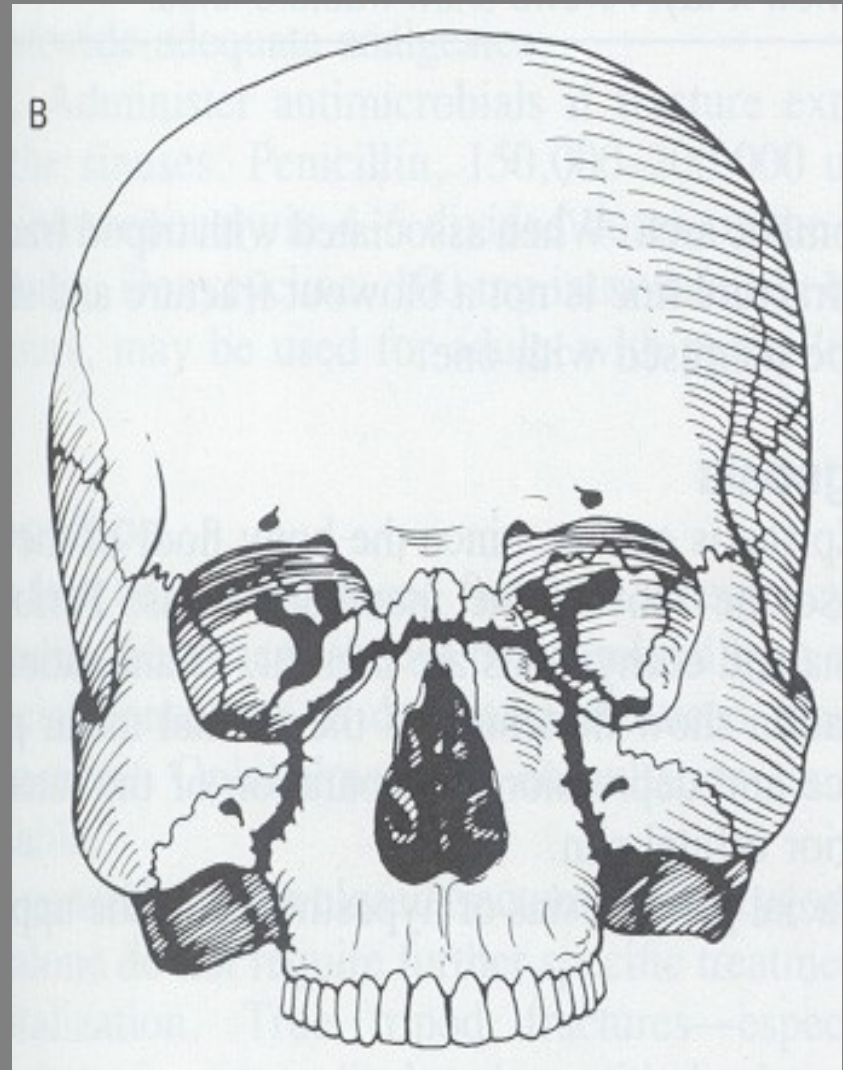
m
a
x
i
l
y
- Radiologický nález:
 - Linie fraktury zahrnuje:
 - ✓ Nazální apertura
 - ✓ Spodní část maxily.





LeFort II

- ✓ Maxilla
- ✓ Mediální porce orbit
- ✓ Nosní kůstky

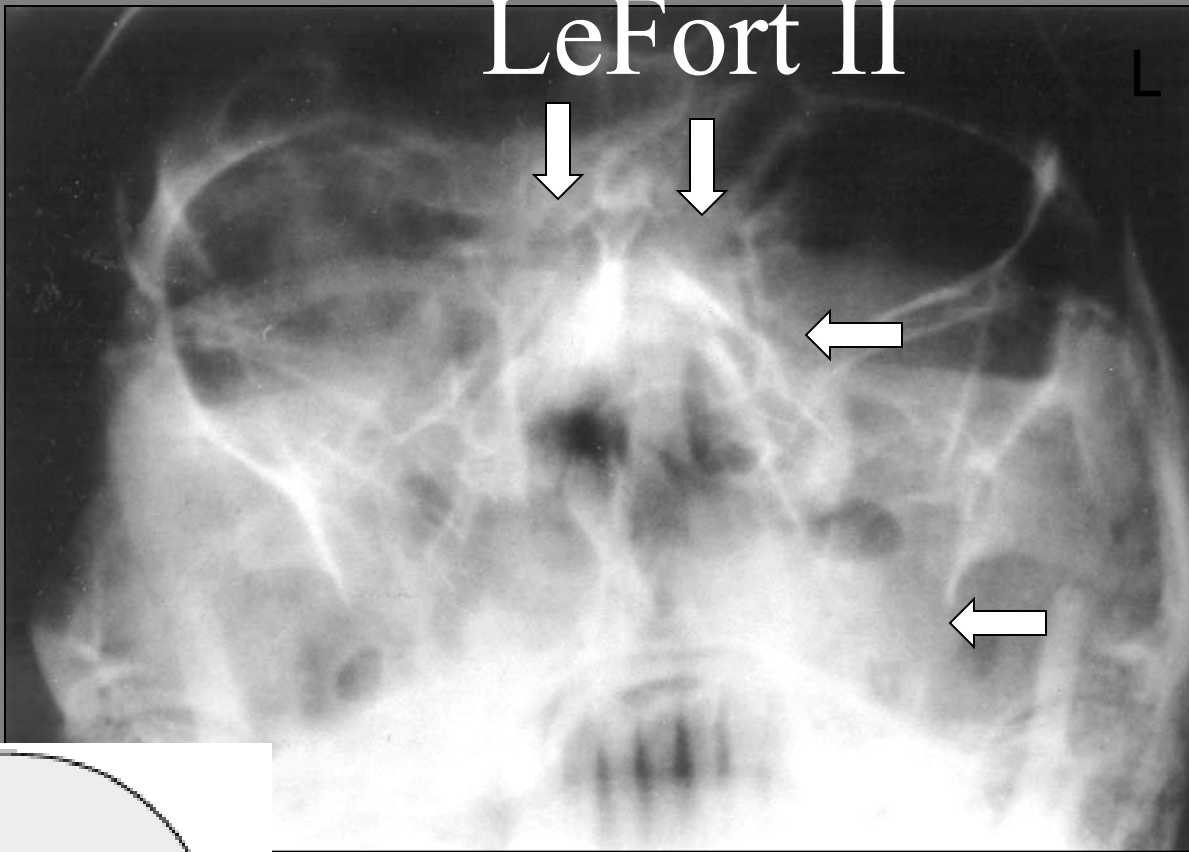


LeFort II

- Klinický nálež:
 - Edém obličeje
 - Oploštění nosu
 - Epistaxe nebo rhinorrhea cerebrospin. moku
 - Pohyb horní čelisti a nosu.

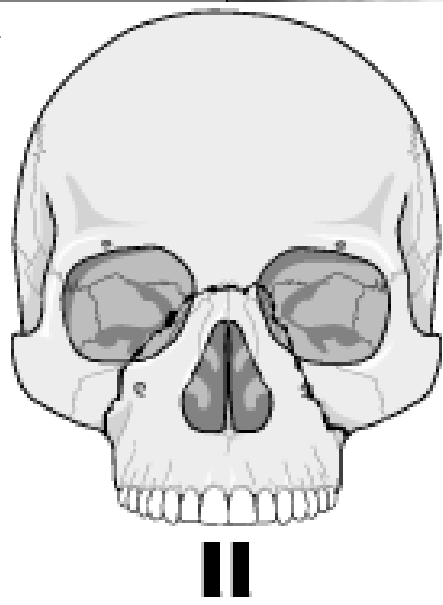


LeFort II



F
r
a
k
t
u
r
y

m
a
x
i
l
y

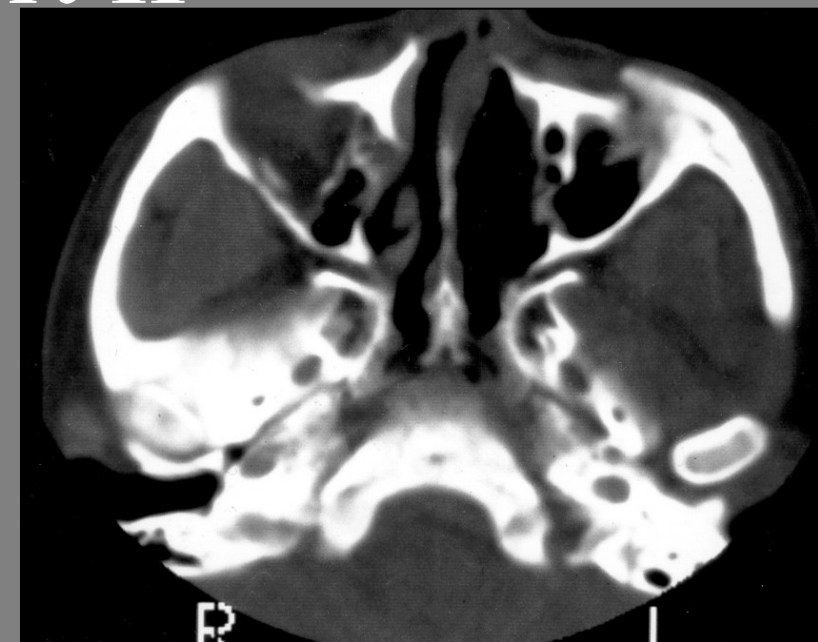


II

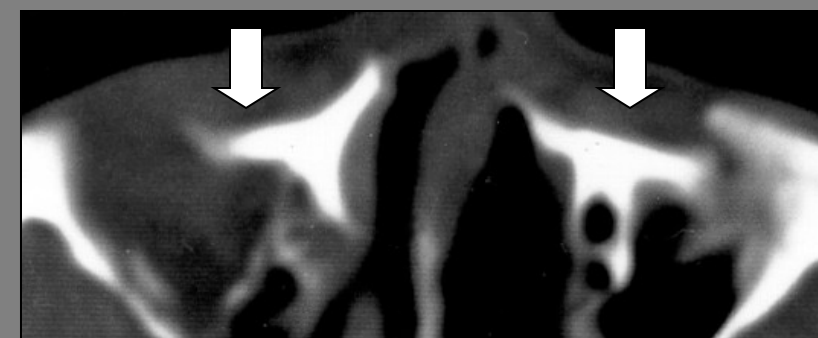
PA view



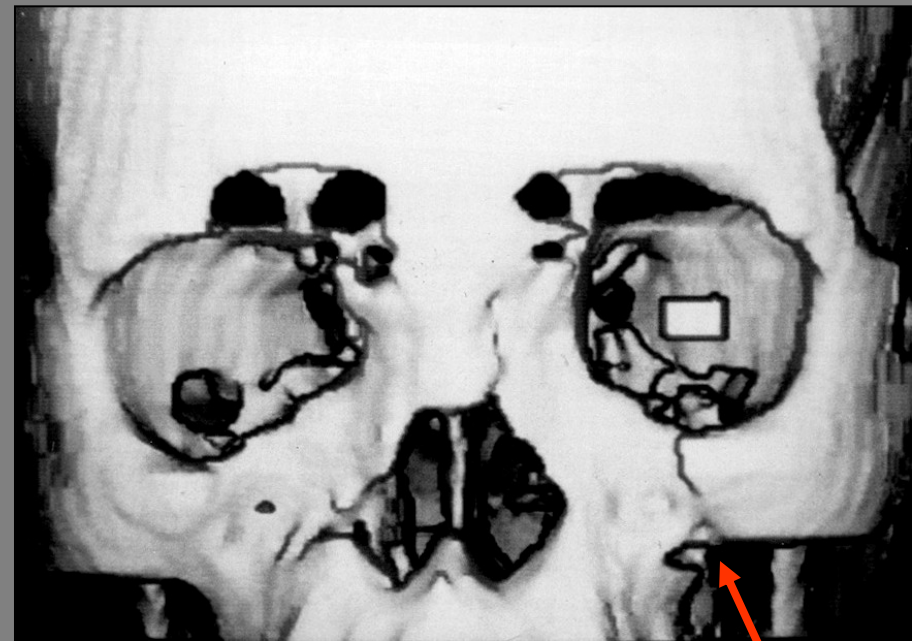
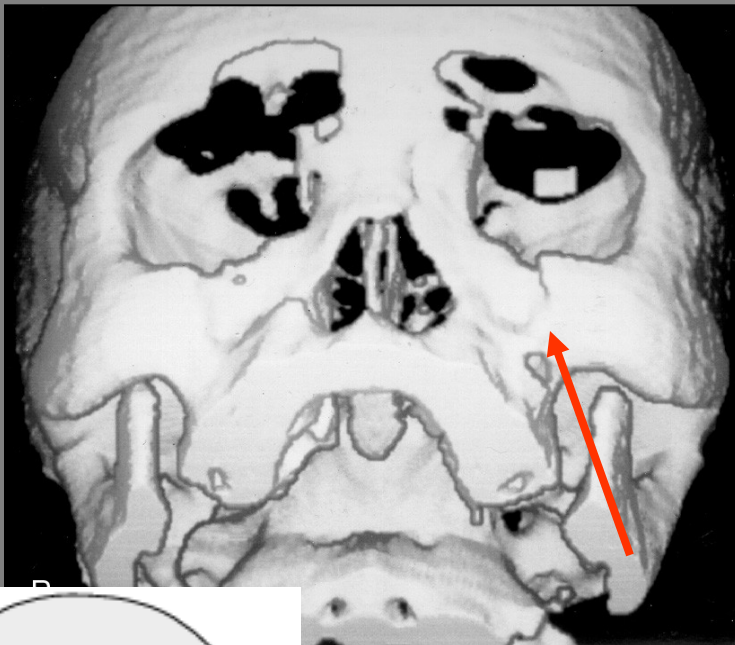
LeFort II



Axial CT



LeFort II



3-D rekonstrukce axiálních CT řezů.

F
r
a
k
t
u
r
y

m
a
x
i
l
y



LeFort II

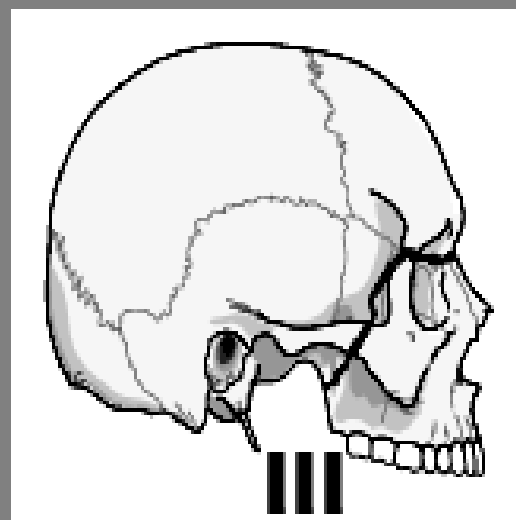
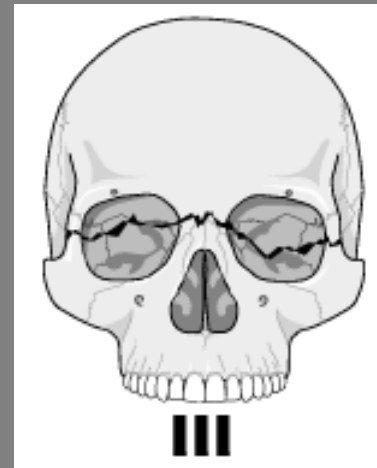


Špatná diferenciace
maxilárních sinů.



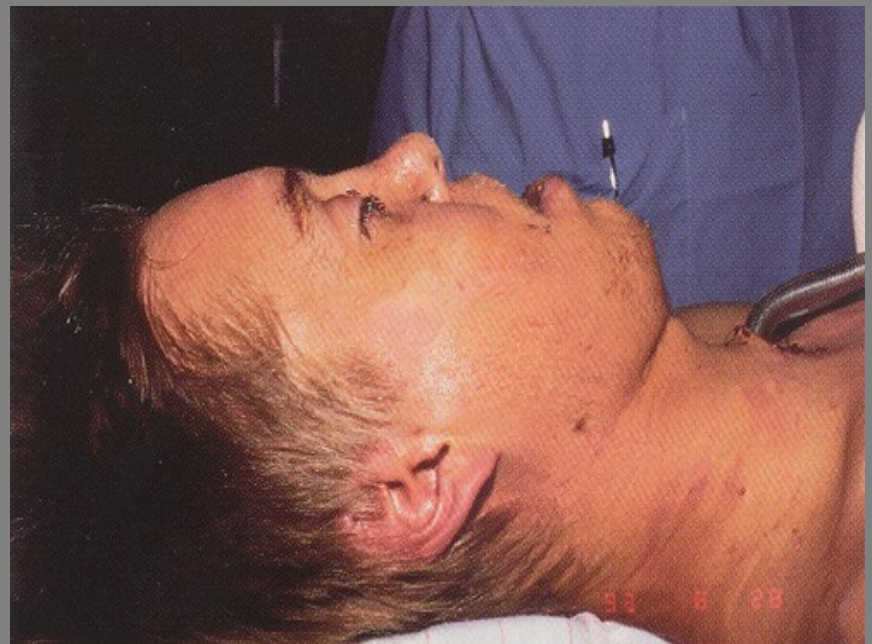
LeFort III

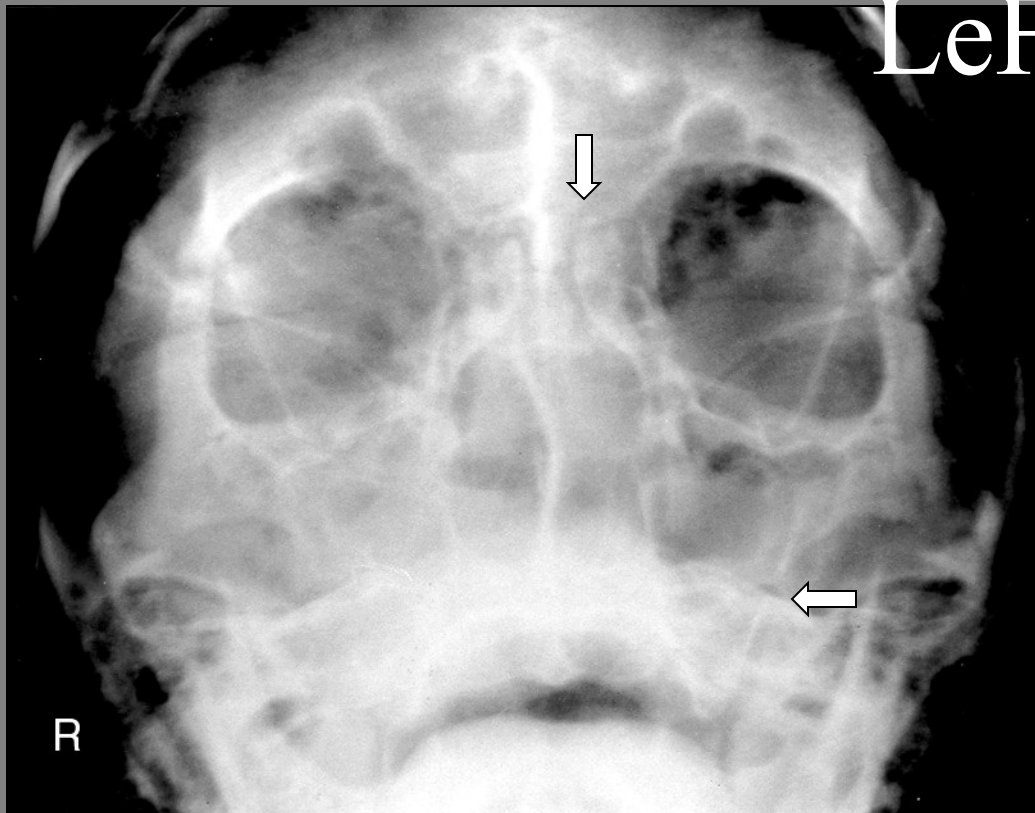
- Průběh fraktury:
- ✓ Maxilla
 - ✓ Zygomatický výběžek
 - ✓ Nosní kůstky
 - ✓ Os ethmoidale
 - ✓ Baze lebky



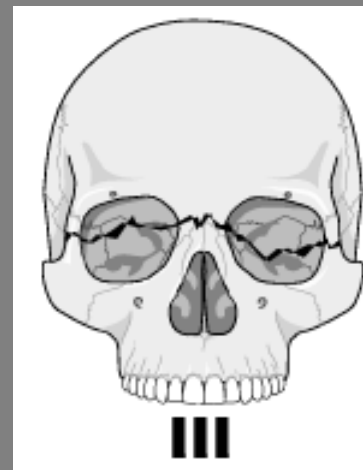
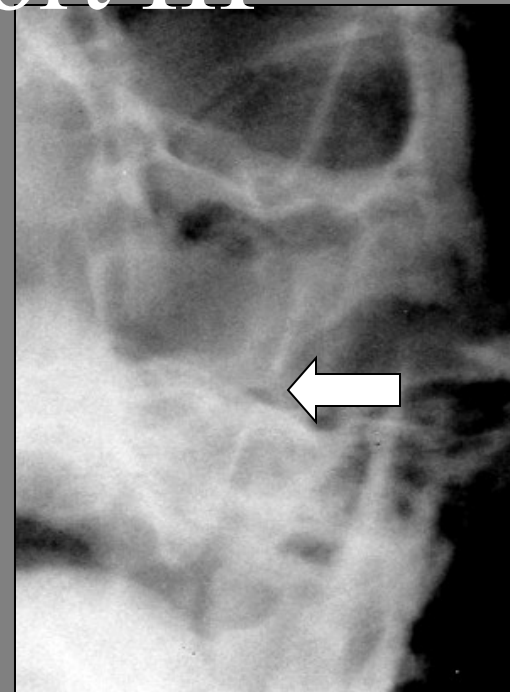
LeFort III

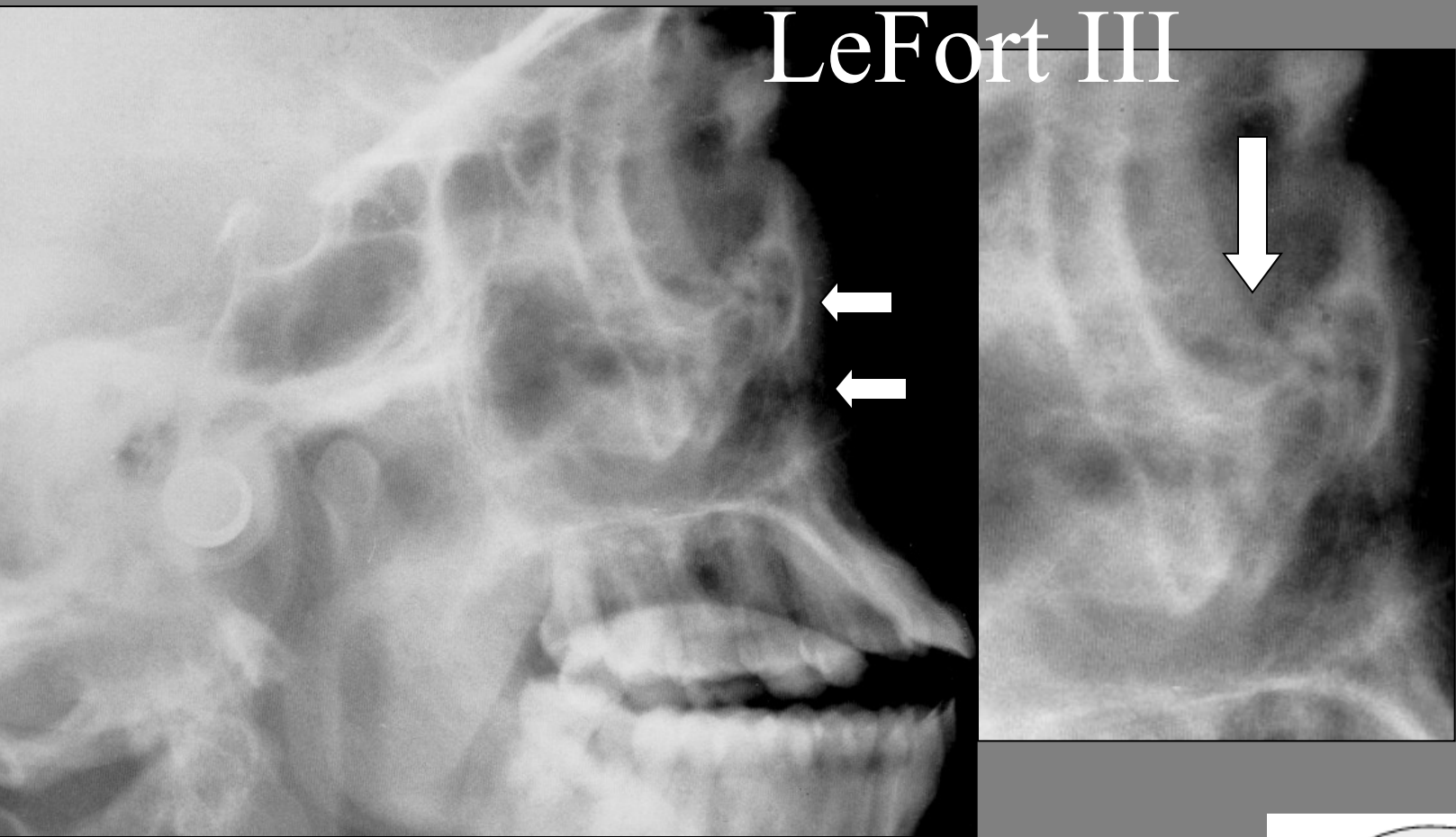
- Klinika:
 - Miskovitá deformace tváře
 - Epistaxe a rhinorrhea cerebromíšního m.
 - Pohyb maxily, nosních kůstek a zygomatiku
 - Naléhavá obstrukce dýchacích cest



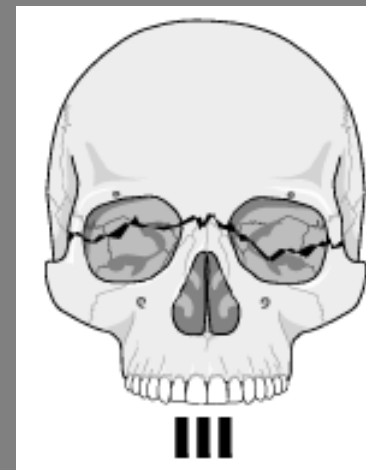


LeFort III





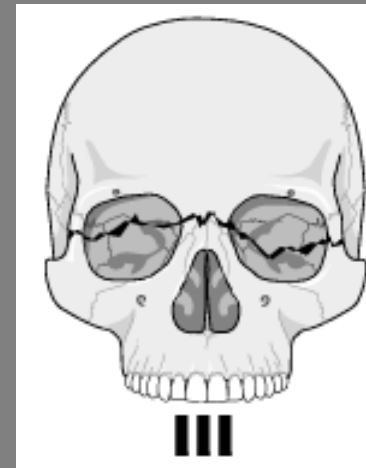
Nazoetmoidální oblast



LeFort III



Nazoetmoidální oblast a maxila.



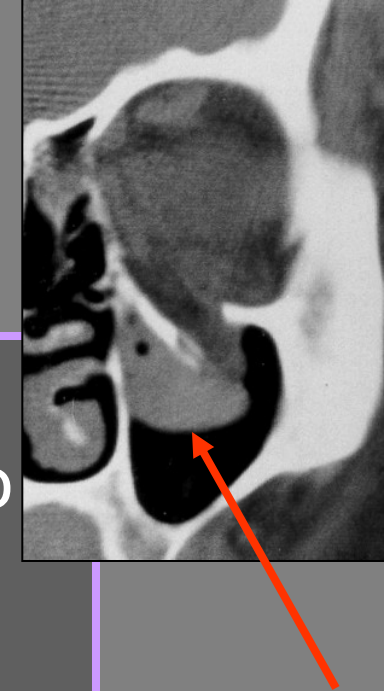
LeFort III



Fraktury očnice

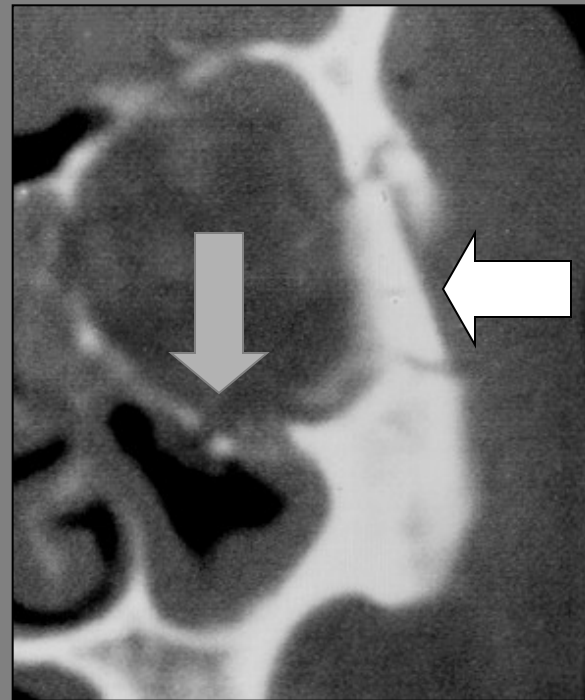
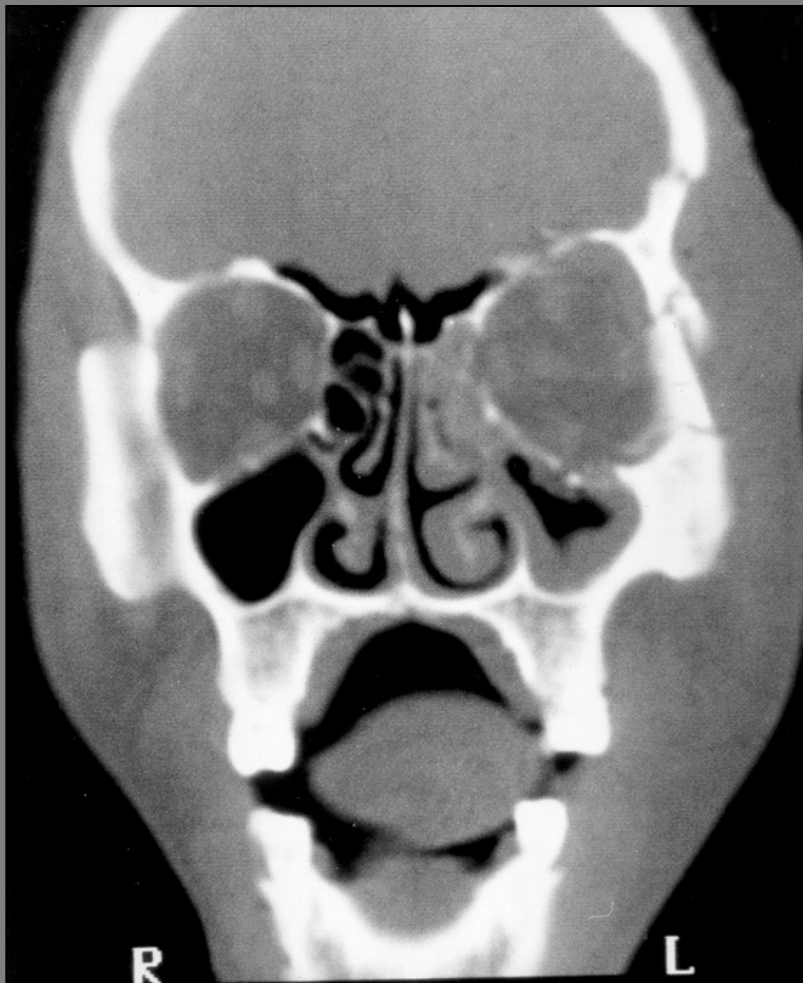
„Blow-out“ fraktura

- Síla se přenáší přes tenké dno orbity, kde dochází k fraktuře v blízkosti infraorbitálního kanálu.
- Měkké tkáně přesahují okraj orbity.
- Afekce maxilárního sinu.
- Dislokace dna orbity.
- Polypoidní denzita při horním okraji maxil. sinu při herniaci obsahu orbity.
- Parestezie tváře.

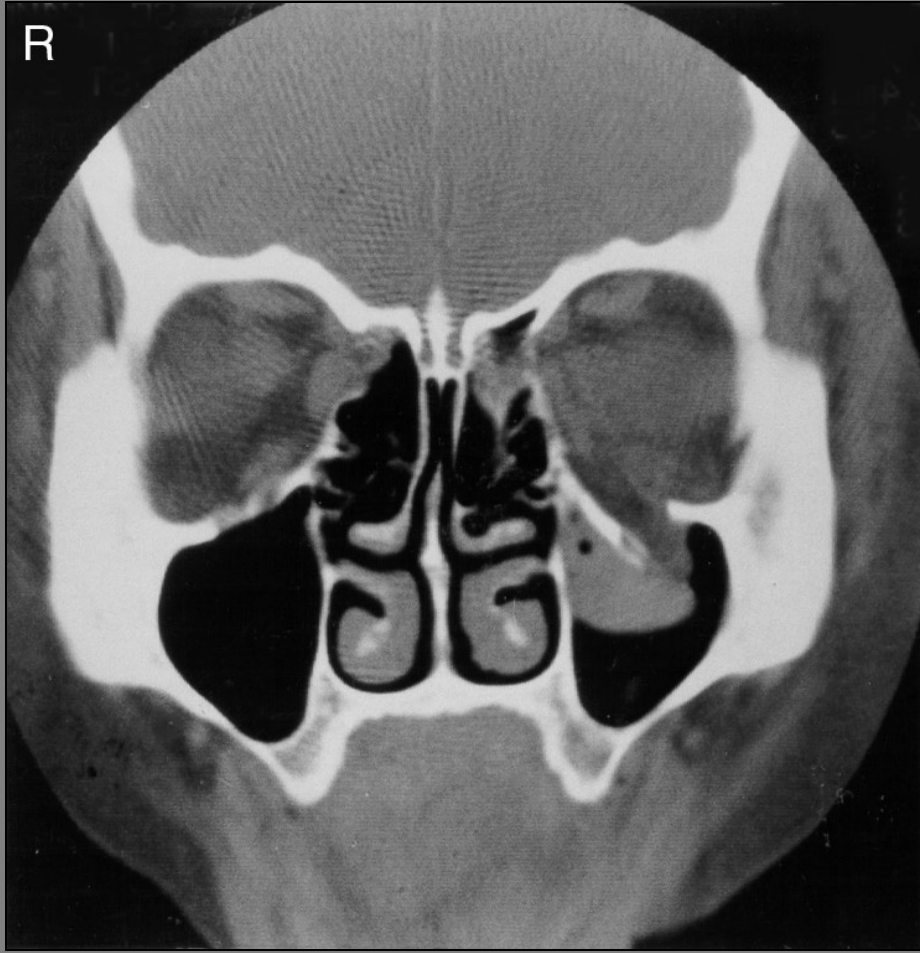


Orbita

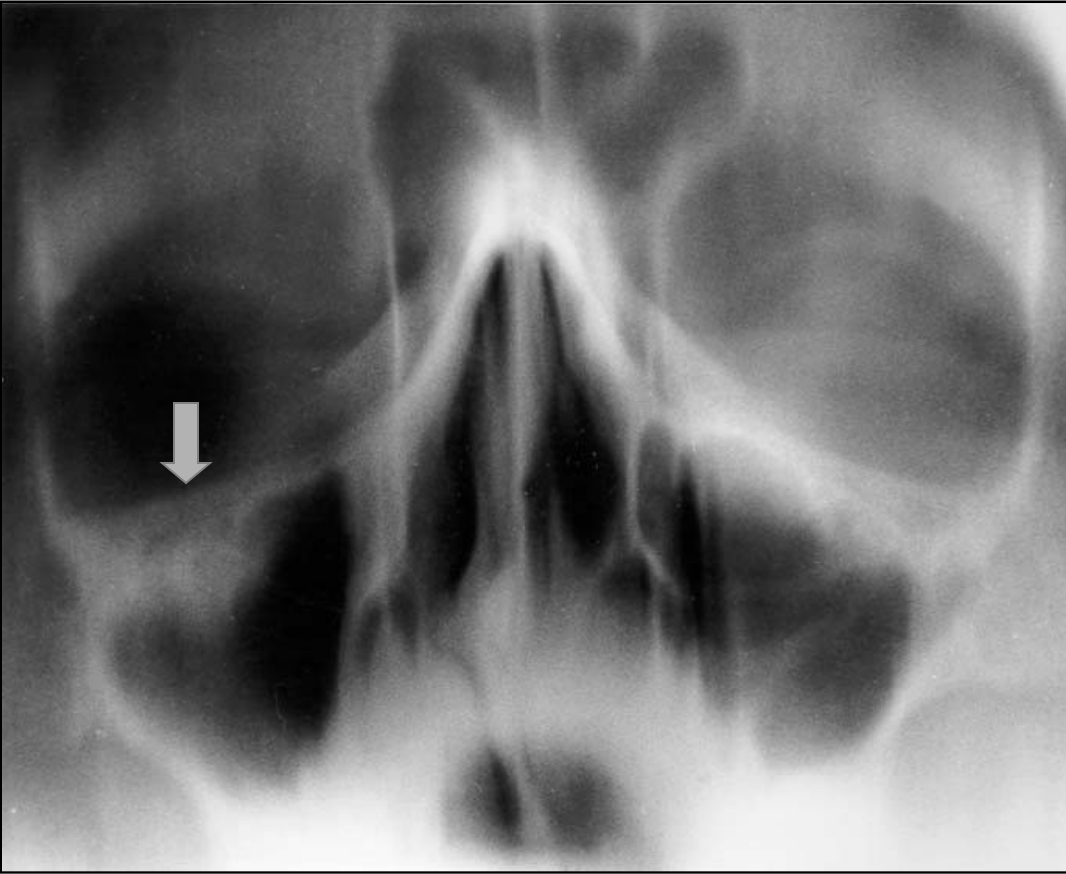




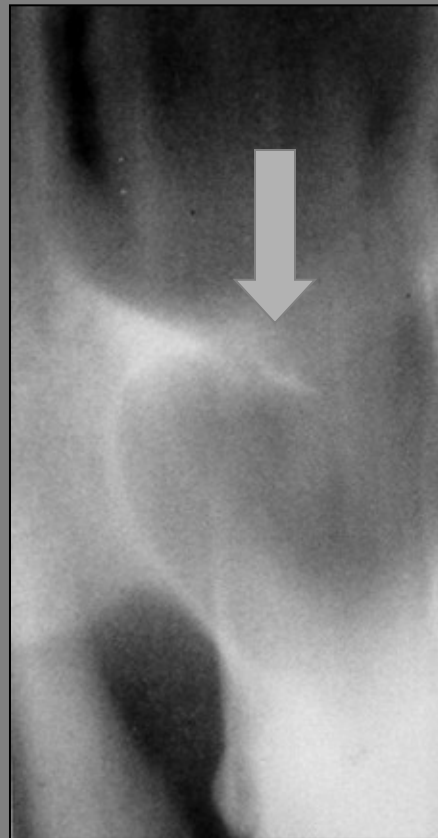
Fraktura proc. front. zyg. +
„blow-out“ fraktura levé orbity.
Koronární CT řezy.



„Blow-out“ fraktura dna levé orbity
a oblasti infraorbitalního kanálu.
Koronární CT řezy.



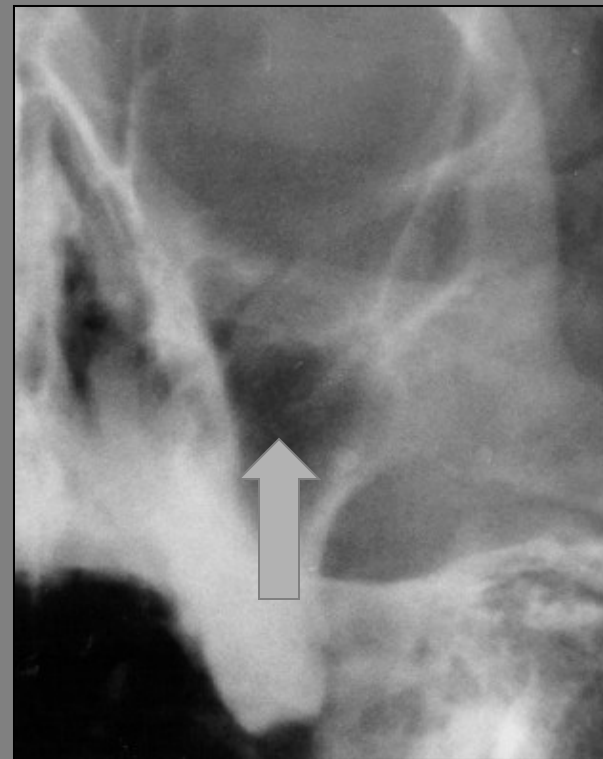
„Blow-out“ fraktura dna pravé orbity.
Rozšíření horní stěny maxil. sinu.
(předozadní tomografická projekce)



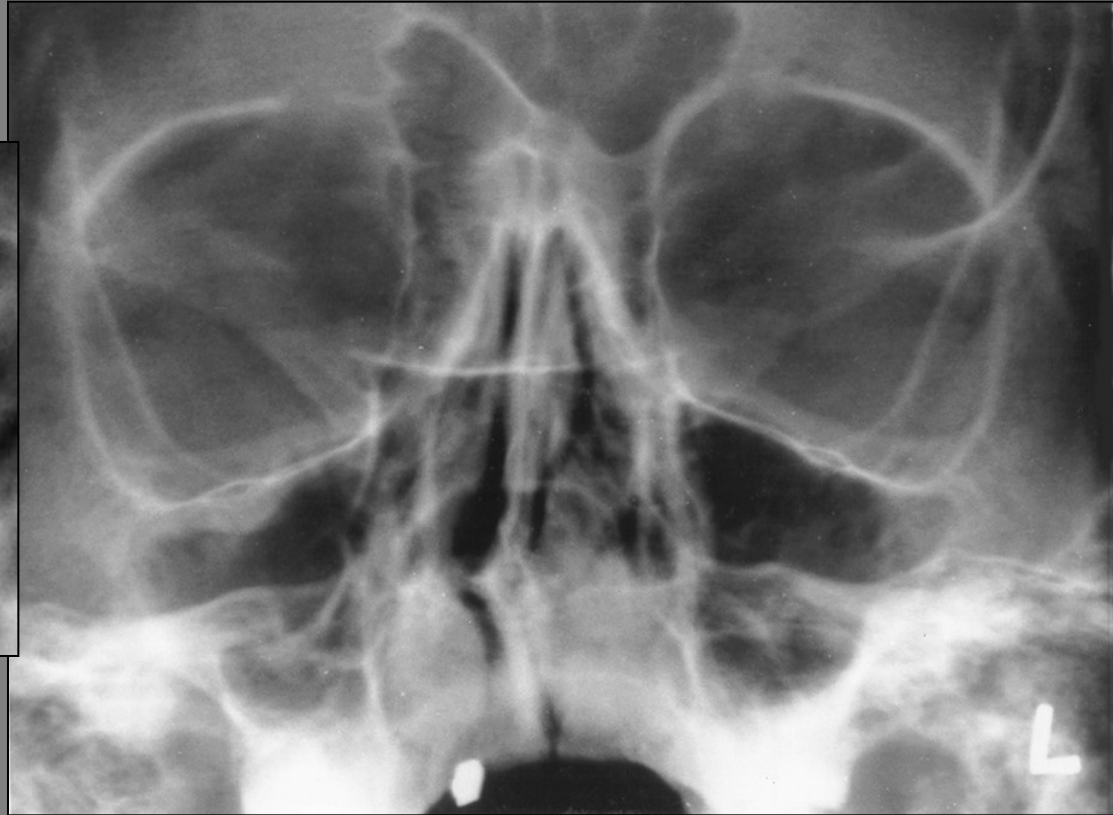
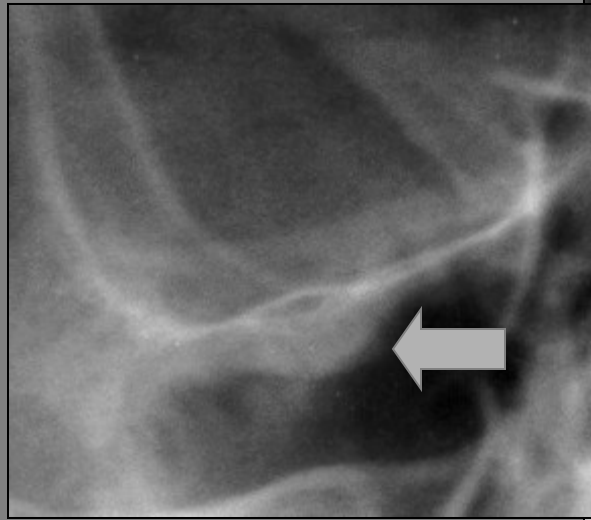
„Blow-out“ fraktura pravé orbity.
“trap door” sign. Snížení transparency v maxil.
sinu. Koronární tomogram.



„Blow-out“ fraktura
DNA levé orbity.



Watersova projekce.



„Blow-out“ fraktura dna pravé orbity zřídka indikovaná rozšířením lemu mukózy.

Literatura

- Pasler F.A., Visser H.: Stomatologická radiologie. Kapesní atlas. 2007. ISBN 978-80-247-1307-6.
- http://rtg.misto.cz/_MAIL_/index.html